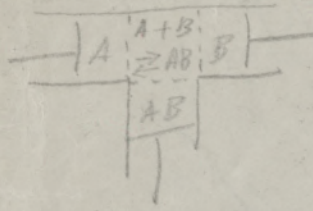


$$A - U = T \frac{dA}{dT} \quad | \begin{matrix} v_1 \\ v_2 \end{matrix} \quad A' - U' = T \frac{dA'}{dT} \quad | \begin{matrix} p_1 \\ p_2 \end{matrix}$$



$$A + B = AB, \quad A = RT \ln \frac{v_1'}{v_1} + RT \ln \frac{v_2'}{v_2} - RT + RT \ln \frac{v_1}{v_1'} - RT$$

$$A = RT \ln \frac{v_1' v_2'}{v_{12}'} - RT \ln \frac{v_1 v_2}{v_{12}} - RT$$

$$A = RT \ln K - RT$$

$$\frac{dA}{dT} \Big|_{v_2} = RT \frac{d \ln K}{dT} + R \ln K - R, \quad A - U = RT^2 \frac{d \ln K}{dT} + A$$

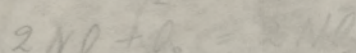
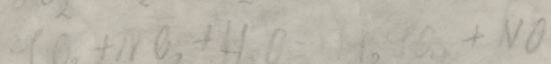
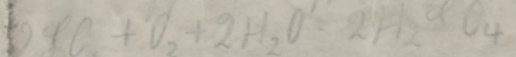
$$\frac{d \ln K_u}{dT} = - \frac{U}{RT^2} = - \frac{Q_u}{RT^2}$$

$$A = RT \ln K_p - RT, \quad A' = RT \ln K_p, \quad \frac{dA'}{dT} \Big|_{p_2} = R \cancel{T} \frac{d \ln K_p}{dT} + R \ln K_p$$

$$A' - U' = RT^2 \frac{d \ln K_p}{dT} + A', \quad \frac{d \ln K_p}{dT} = + \frac{U'}{RT^2}$$

FaktorDivision
Koeffizienten
Koeffizienten

Radiaktivität Radon
Radium, Wasserstoffspaltung



Sauer Ammonium Urea

Cocaine

Hugo Wolff

Mengen Wohl - Offenheit

Physiologie

Hausar: 94-91

6/6/91

Der Druckfanggriff. Reaktion auf äußere

Luftdurchfluss: kleinere Stoßfüße für einen Druckfanggriff mit $\frac{p'}{p} = \frac{2M_f}{s+RT}$

Kontaktreaktionen sind abgeschafft, da es Wand, Wandschichten bewegen

Die Wallreaktion: kleinere Stoßfüße liegen Vierkant P

mit einer kleinen Druckfront, Stoßfüße

abgesondert die das Kontaktreaktionen ersetzen bei Zuwachs

des Volumens (die man Kurbelzüge)

Wandreaktionen nicht mehr möglich (Gelenk)

Gaskontakt Fiktiv

Durchsetzungskräfte auf der

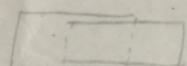
Kontaktreaktionen Wanda fiktive Flüssigkeit, Kontaktstück Loslösungskräfte

Stück - Kontaktstück \rightarrow Wirkungswandlung von A bis B zu leisten;

Gas + Kontaktreaktionen Wanda + Stück

$$V = V_1 + V_2$$

$$A = RTx_1 \ln \frac{V_2}{V_1} + RTx_2 \ln \frac{V_1}{V_2}$$



$$A = 0$$

Gasvolumen, Fiktiv, fiktive Paradoxie.

$$A = RT + RT \ln \frac{p_{BA}}{p_A} + RT \ln \frac{p_B}{p_{B'}} - RT + RT \ln \frac{p_{AB}}{p_{AB'}} = 0$$

$$\frac{p_A p_{B'}}{p_{AB}} = \frac{p_A' p_B}{p_{AB'}} = K_p \quad \frac{\Theta_A \Theta_B}{C_{AB}} = \frac{K_p}{RT} = K_C$$

$$A = RT \ln \frac{1}{p_A'} + RT \ln \frac{1}{p_B'} - RT + RT \ln \frac{p_{AB}}{p_{AB'}}$$

$$A = RT \ln \frac{p_{AB}}{p_A p_{B'}} - RT = -RT \ln K_p - RT \quad \frac{C_{n_A} C_{n_B}}{C_{n_A} + C_{n_B}}$$

$$A = RT \ln K_c - RT$$

$$\frac{dA}{dT} = R \ln K_c + RT \frac{d \ln K_c}{dT} - R$$

$$A - U = T \frac{dA}{dT}; U = T \frac{dA}{dT} - A$$

$$-U = RT \ln K_c + RT^2 \frac{d \ln K_c}{dT} - RT \ln K_c K_T - RT$$

$$U = Q_T$$

Vibria gijskruit d. Volareen

Vibraffäpat. n. Korey.

Zusätzliche Lösungen

davon, für konstante Temperatur, konstante Verdunstung
bedeutet Konstante Masse des Gas.

~~Gegeben~~, eine Mappe ist vorhanden, die zeigt
dass es nicht möglich ist, einen Wärmetauscher zu bauen, der das
ergebnis der Dampf-Durchgangsarbeit nicht mit zurückbringen kann.

Wärme in Arbeitsmaschine übertragen. Heißer Gas in Kondensator
bei konst. Temp. $-A = RT \ln \frac{V_2}{V_1} = RT \ln \frac{p_1}{p_2}$. In diesem

ist abhängig von Volumen $U_2 - U_1 = 0 = Q + A$, $-A = Q$. Nun ist
zwei Möglichkeiten $V_2 \neq V_1$. Kondensator bringt nicht ausreichend Arbeit
aus, deshalb muss der Gas auf konstante Temperatur und auf V_2 bringen.
Kondensator bringt Arbeit unmöglich. Gilt für adiabatische Betriebsweise.

Die Wärme, welche ausgetauscht wird, ist konstant, nur die Arbeit
Gesamt V_2 auf V_1 ($V_2 > V_1$) kann keinen Wert haben, da

dann, kein Gas verbleibt,

Nach weiterer, unvollständiger Betrachtung, ist es unmöglich, wenn man
zunächst den Zustand in einem bestimmten vor dem Kondensator, spricht.
Das Gesetz muss das Ergebnis des zweiten Hauptsatzes sein.
Zunächst: Wenn ein Gas auf konstantem Volumen durch
einen adiabatischen Prozess geleitet wird, kann es keine Arbeit, wenn
der Wärmetransport nicht ausreicht.

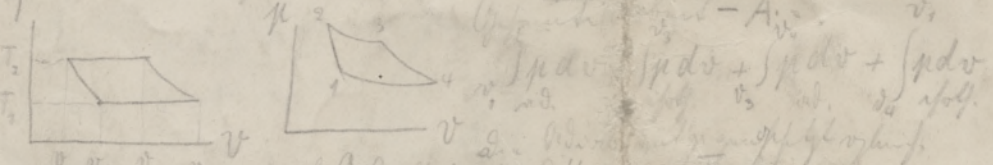
Wiederholung obige Betrachtung. Nach Konstante Wärme, es werden
drei Fälle untersucht: 1. Adiabatischer Prozess, 2. Prozess mit Wärmetransport
durch einen speziellen Prozess wie z.B. Verdunstung, 3. Prozess mit Wärmetransport
durch einen zufälligen Prozess wie z.B. Verdunstung, der nicht als Verdunstung
gesehen werden kann, sondern als zufälliges Ereignis, wie z.B. Konvektion, oder
Stromlinienströmung. Wenn alle drei Fälle, nur der dritte ist möglicherweise
möglich nach Prozess.

Drei Fälle müssen offenbar gegen Richtigkeit getestet werden:
1. Adiabatischer Prozess: Der Wärmetransport ist unbedeutend, also
keine Arbeit. Es gilt $A = 0$.

2. Verdunstung: Ein Gas wird verdunstet, es gibt keinen Arbeitsertrag.

3. Zufälliger Prozess: Ein Gas wird zufällig verdunstet, es gibt keinen Arbeitsertrag.

Kondensator hat T_1 und T_2 bei konst. $\mu = RT$, $V = T^{-k}$



$$-A = RT_2 \ln \frac{V_2}{V_1} + RT_1 \ln \frac{V_1}{V_2}, \quad V_2 = T_2^{1/k}, \quad V_1 = T_1^{1/k}$$

$$\text{Division of bl. } \frac{V_1}{V_2} = \frac{V_2}{V_1}, \text{ also ist } -A = -T_2(T_2 - T_1) \ln \frac{V_1}{V_2}$$

$$Q_1 = RT_1 \ln \frac{V_2}{V_1} = -RT_1 \ln \frac{V_1}{V_2}, \quad Q_2 = RT_2 \ln \frac{V_1}{V_2}$$

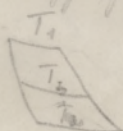
$$\text{D.h. } U_2 - U_1 = 0$$

Zusätzlich benötigt
Konstante Arbeitsergebnisse.
Nur dann ist dies erlaubt
Kann: Wärmetransport, d.h.
nicht Verdunstung. S. Rückkehr
in Wärmetransport durch alle
und dann folgen. Das Gesetz ist
folgt bestimmt durch Wärmetransport
oder Prozess. Wärmetransport ist
ad. Arbeitsergebnis.

Alle Fällen sind falsch
und daher nicht erlaubt.

Zu den zweiten Fällen ist es bei der so genannten Zweigleitung
 nicht mehr auf die Widerstände ankommt.
 Zweite Kondensatoren sind offen, also
 durchfließt in jedem Leiter ein Strom. Dies ist der von
 zwei Stromen, die zusammen mit $A = \frac{Q_1 + Q_2}{Q_2} = \frac{T_2 - T_1}{T_2}$ darstellen.
 Nach dem Gesetz des Ohms ist der Widerstand $\frac{Q_1}{T_1} = \frac{Q_2}{T_2}$
 und $T_1 = T_2$, da Q_1, Q_2 beliebig, dagegen A konstant ist.
 Q_2 , dann muß A ebenfalls beliebig sein.
 Große Vorsicht, daß T_1 kein beliebig.
 Mögliche Auswirkung der Differenz $\frac{Q_1}{Q_2} = -\frac{T_1}{T_2}, -\frac{Q_1}{Q_2} = \frac{T_1}{T_2}$
 verdeckt $T_1 > T_2$ dargestellt.
 Normierung $T_2 = 2^{\circ}\text{C}$ und $T_1 = T_{\text{K}} = 100^{\circ}\text{C}$
 Kupfer und Eisen haben eine ähnliche Temperaturabhängigkeit. Zwei
 mindestens, da die Differenz willkürlich gewählt
 zu sein scheint. Bei einem Eisen führt dies zu
 $\frac{|Q_1|}{|Q_2|} = f(\vartheta_1, \vartheta_2), \frac{|Q_2|}{|Q_1|} = f(\vartheta_1, \vartheta_2), \frac{|Q_3|}{|Q_2|} = f(\vartheta_2, \vartheta_3)$
 $f(\vartheta_1, \vartheta_2) = \frac{f(\vartheta_1, \vartheta_2)}{f(\vartheta_1, \vartheta_2)} = \frac{f(\vartheta_2)}{f(\vartheta_1, \vartheta_2)} =$

Doppelprozeß



p

v

Abweichungen
 Häufig vorkommend

9. Wärme

Wärmedampfungskurve

(Druck und adiabat Gas)

$$U_0 - U_\mu = \lambda - p(v_0 - v_\mu), \lambda = U_0 - U_\mu + p(v_0 - v_\mu)$$

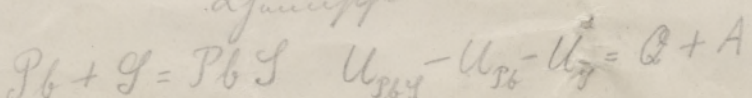
$$\left(\frac{d\lambda}{dT} \right)_{p=p_0} = \left(\frac{\partial U_0}{\partial T} \right) + \left(\frac{d(p(v_0))}{dT} \right)_{p=p_0} - \left(\frac{\partial U_\mu}{\partial T} \right) - \left(\frac{d(p(v_\mu))}{dT} \right)_{p=p_0}$$

$$\rightarrow \frac{\partial U_0}{\partial T} = \frac{dU}{dT} = C_v, pV_0 = RT \quad \frac{\partial U_\mu}{\partial T} = \frac{dU_\mu}{dT} = C_\mu$$

$$\left(\frac{d\lambda}{dT} \right)_{p=p_0} = C_v + R - C_\mu = C_p - C_{p,\text{ad}}$$

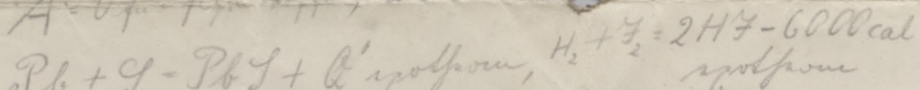
Abhängigkeit von Druck und Temperatur.

Dampfungskurve



Grundannahme

$$A = Q' \text{ für } f \neq 0, \quad Q' = Q \text{ für } f = 0$$



$$Q' = 18400 \text{ cal} \quad \text{Aggregatzustand?}$$

Falls Gas ein bilden $A \neq 0$, bei konstantem Druck je falls nicht Volumen konstant und monophasige Lösung
gehalten wird (Großteilheitlich homogen)

$$U_2 - U_1 = Q + A = Q - p(V_2 - V_1)$$

$$Q = (U_2 + pV_2) - (U_1 + pV_1) \quad \text{d.f. konst. Druck und monophasig}$$

$U + pV$ Zustandsgleichung, Wärmefunktion nach Hf

$$U + pV = U_1 + pV_1 + \int_{V_1}^{V_2} (U_2 - U_1 + pV_2 - pV_1) dV = U_2 - U_1 + p(V_2 - V_1)$$

$$\text{für isotherm } Q = U_2 - U_1 + pV_2 - pV_1 = U_2 - U_1 + nRT,$$

für isochor $Q = nRT$

$$nR = 2H_f, \quad f_2 = 2f, \quad V = 1$$

$$H_2 + f_2 = 2H_f, \quad f_2 = 2f, \quad V = 1$$

Grundgesetz der Dampfungskurve $\zeta = 1840$, Wärmeträger

neue Reaktion wird abhängig vom Wärme

$$\frac{dQ}{dT} = \frac{dU_2}{dT} - \frac{dU_1}{dT} = \sum C_{p_2}^* - \sum C_{p_1}^*$$

Vergleichswert

$$\frac{dQ'}{dT} = \sum C_{p_2} - \sum C_{p_1}$$

Wärmefluss durchg. Wärmeleitungsgesetz, Wärmeträger ζ
wirkt hierauf

Physikalische Chemie.

§1. Umfang und Arbeitsgebiet der physikalischen Chemie.

Die physikalische Chemie umfasst die Anwendung physikalischer Methoden auf die für die Chemie wichtige Fragen, den Einfluss physikalischer Zustände (Druck, Temperatur usw.) auf chemische Vorgänge und die Untersuchung der allgemeinen Eigenschaften der Stoffe, sowie der allgemeinen Gesetzmässigkeiten, die den Ablauf chemischer Vorgänge beherrschen. Daraus auch die Bezeichnungen "Allgemeine Chemie" oder "Theoretische Chemie".

§ 2. Einteilung.

Die in der physikalischen Chemie behandelten Stoffsysteme teilen wir folgendermassen ein:

I. Einstoffsysteme.

a) Einphasige Systeme

1. Gase.

2. feste Stoffe

3. Flüssigkeiten.

b) Mehrphasige Systeme

1. Gase und feste Stoffe.

2. Gase und Flüssigkeiten

3. feste Stoffe und Flüssigkeiten.

II. Mehrstoffsysteme.

a) Einphasige Systeme.

1. Gasgemische

2. Lösungen

b) Mehrphasige Systeme.

I. Abschnitt, Stoffsysteme.

a) Einphasige Systeme.

§ 3. Der Temperaturbegriff.

~~Alle Systeme befinden sich unter dem Einfluss von äusseren (physikalischen) Zuständen (Druck, Temperatur, elektrische und magnetische Fehler usw.)~~ Von diesen spielen Druck und Temperatur die Hauptrolle, denn ihr Einfluss lässt sich niemals völlig ausschalten, sondern nur verlieren. Insbesondere die Temperatur beeinflusst alle physikalischen und chemischen Vorgänge; sie ist daher ein für die ganze physikalische Chemie fundamentaler Begriff.

Definition der Temperatur.

Eine Grösse definieren heisst eine Vorschrift angeben, nach welcher man eine Zahl gewinnt, die als Mass der betreffenden Grösse gelten kann, d.h. die man mit anderen auf entsprechende Weise gewonnenen Zahlen in entsprechenden Zusammenhang bringen kann. Diese Vorschrift ist zunächst willkürlich, doch wird diese Willkür dadurch eingeschränkt, dass die gewonnenen Zahl eindeutig bestimmt sein muss und dass die resultierenden Gesetze möglichst einfach sein müssen.

Massmethoden für die Temperatur.

Das Volumen jedes Körpers ist von der Temperatur abhängig. Da die Volumenmessung von Flüssigkeiten und Gasen einfach auszuführen ist, eignet sie sich als Temperaturnessmethode. Man hat somit die

Flüssigkeitsthermometer.

Das Volumen einer Flüssigkeit wird durch den Stand in einer Kapillare gemessen, als Fixpunkte werden der Schnellpunkt und der normale Siedepunkt des Wassers benutzt und mit 0° bzw. 100° bezeichnet. Die Volumenzunahme (Stand in der Kapillare) zwischen 0° und 100° wird in 100 gleiche Stufen (Centigrade) geteilt.

Hat man zwei mit verschiedenen Flüssigkeiten gefüllte Thermometer, deren Abstand bei 0° und 100° übereinstimmt, so stimmt er in der Regel bei einer dazwischen liegenden Temperatur nicht mehr überein. Jedes Flüssigkeitsthermometer ergibt somit seine eigene Definition der Temperatur und daher kann man die Ausdehnung einer Flüssigkeit nicht als zweckmäßige Temperaturdefinition betrachten.

a. Gase.

1. Ideale Gase.

§ 4. Das Gesetz von Gay-Lussac und die Gasthermometer.

Bei genügend geringen Drucken ("ideale" Gase) zeigen alle Gasthermometer die gleiche Temperatur an, sie ergeben somit eine zweckmäßige Temperaturdefinition. Auf Grund dieser Definition ergibt sich das Gesetz von Gay-Lussac.

$$(1) \text{XXXXX}_0\text{XXXXXX} v_t = v_0 (1 + \alpha t)$$

oder: das Volumen eines ("idealen") Gases ändert sich proportional der Temperatur.

α ist der Ausdehnungskoeffizient. Er ist für alle idealen Gasse gleich und beträgt $1/273$ des Volumens bei 0° . Man kann das Gay - Lussac'sche Gesetz daher auch schreiben:

$$(2) v_t = v_0 \left(1 + \frac{1}{273} t\right) = \frac{v_0}{273} (273 + t) = \frac{v_0}{273} \cdot T, T = 273 + t$$

Man bezeichnet die Summe $273 + t = T$ als absolute Temperatur. Wie Gleichung (2) zeigt, würden die Gase bei der Temperatur $t = -273^\circ$ bzw. $T = 0$ das Volumen 0 haben, wenn unter diesen Umständen das Gasgesetz noch gültig wäre. Man bezeichnet die Temperatur $t = -273^\circ$ daher auch als absoluten Nullpunkt der Temperatur. In Wirklichkeit gilt das Gay-Lussac'sche Gesetz jedoch bei sehr tiefen Temperaturen nicht mehr, außerdem sind die Gase in der Nähe des abs. Nullpunktes auch schon all kondensiert.

Anmerkung: Ein Quecksilberthermometer aus "Normalglas" hat zwischen 0 und 100° eine mit dem Gasthermometer praktisch übereinstimmende Skala.

Andere Temperaturmessinstrumente sind
Thermoelement, Widerstandsthermometer, Dampfdruckthermometer,
Strahlungspyrometer.

§ 5, Das Boyle-Mariottesche Gesetz.

Experimentell ergibt sich, dass bei konstanter Temperatur, das Volumen eines Gases dem Druck umgekehrt proportional ist, d.h.

(3) $p \cdot v = \text{konst.} = p_0 \cdot v_0$ bei konstanter Temperatur
Um die Abhängigkeit des Druckes von der Temperatur zu gewinnen, erwärmen wir das Gas zunächst bei konstantem Druck p_0 . Dann dehnt es sich von Volumen v auf v^1 aus, und es ist

$$v^1 = v_0 (1 + \alpha t)$$

Jetzt komprimieren wir das Gas bei konstanter Temperatur wieder auf das Volumen v_0 , dann ist

$$p_0 \cdot v^1 = p \cdot v_0$$

Durch Einsetzen von v^1 erhält man

$$p_0 \cdot v_0 (1 + \alpha t) = p \cdot v_0 \quad \text{oder}$$

(4) $p = p_0 \cdot (1 + \alpha t)$ (bei konstantem Volumen)

Aendert man Druck und Temperatur gleichzeitig, so darf man (1), (3) und (4) nicht anwenden, da sie ja nur bei konstantem Druck bzw. konstantem Volumen gelten. Man denkt sich in diesem Falle die Aenderungen nacheinander vorgenommen, d.h. erst die Druckänderung bei konstanter Temperatur und dann die Temperaturänderung bei konstantem Druck. Wir gehen aus von Volumen v_0 beim Druck p_0 und erhöhen die Temperatur um Δt und den Druck auf p . Erhöhen wir zunächst nur die Temperatur bei konstantem Druck, so gilt (1) und wir erhalten

$$p' = p_0 \cdot (1 + \alpha t) \quad \text{ferner gilt für die Druckänderung}$$
$$p_0 \cdot v' = p \cdot v \quad \text{bei konstanter Temperatur, also}$$
$$(5) \quad p \cdot v = p_0 \cdot v_0 \cdot (1 + \alpha t) \quad \text{für gleichzeitige Druck- und}$$

Temperaturänderung. Setzt man $\alpha = 1/273$ und $273+t = T$ so erhält man

$$(5a) \quad p \cdot v = \frac{p_0 \cdot v_0}{273} \cdot T$$

Vergleicht man chemisch äquivalente Mengen verschiedener Gase, so zeigt es sich, dass ihre Volumen entweder gleich sind oder im Verhältnis kleiner ganzer Zahlen stehen. Man definiert nun als 1 Mol eines Gases diejenige Menge, die bei gleichem Druck und bei gleicher Temperatur, dasselbe Volumen hat wie 32 gr. Sauerstoff. Daß das Normalvolumen v_0 eines Mols für alle Gase definitionsgemäß 22400 cm³ beträgt, nimmt der Faktor $\frac{p_0 \cdot v_0}{273}$ in Gleichung (5a) für alle Gase den gleichen Wert an. Man bezeichnet ihn als universelle Gaskonstante (R) und schreibt Gleichung (5a) in der Form

$$(5b) \quad p \cdot v = R \cdot T.$$

Der Begriff des Mols ist zunächst unabhängig von jeder Molekulartheorie und lässt sich aus der chemischen Erfahrung (Gesetz der multiplen Proportionen und Gasreaktionsgesetz) ableiten.

§ 6. Dimension und Zahlenwert der Gaskonstante.

Schreiben wir $R = \frac{p \cdot v}{T}$, so ergibt sich, da $p \cdot v = \frac{\text{KRAFT}}{L^2} \cdot L^3 = \text{Kraft} \times L = \text{Energie}$ ist, für R die Dimension

$$R = \frac{\text{Energie}}{\text{Grad} \cdot \text{Mol}}$$

Der Zahlenwert von R ist vom Massystem abhängig. Benutzen wir das absolute Massystem, so erhalten wir, da

$$p_0 = 1 \text{ Atm.} = 76 \text{ cm Hg} = 1,033 \text{ Kg/cm}^2 = 1033 \cdot 981 \text{ Dyn/cm}^2$$

$$v_0 = 22400 \text{ cm}^3$$

$$R = \frac{p_0 \cdot v_0}{273} = \frac{22400 \cdot 1033 \cdot 981}{273} = 8,316 \cdot 10^7 \text{ Erg/ Grad}$$

$$\text{In Literatmosphären: } \frac{1 \cdot 22,4}{273} = 0,0821 \frac{\text{Liter} \cdot \text{Atm.}}{\text{Grad.}}$$

Ferner in Calorien ($10^7 \text{ Erg} = 0,239 \text{ Cal}$)

$$R = 8,316 \cdot 0,239 = 1,925 \text{ Cal.}$$

§ 7. Kinetische Gastheorie.

Man kann die Gasgesetze auch mit Hilfe der kinetischen Gastheorie herleiten. Nach dieser Theorie nimmt man an, dass ein Gas aus sich frei im Raum bewegender Moleküle besteht, deren Durchmesser verschwindend klein ist im Vergleich zum gegenseitigen Abstand. Um das Boylesche Gesetz zu erhalten, betrachten wir einen Würfel von 1 cm Kantenlänge, in dem ^{Moleküle} ~~n~~ enthalten seien. Diese Moleküle werden zwar verschiedene Geschwindigkeiten nach allen möglichen Richtungen haben, zur Vereinfachung der Rechnung idealisieren wir in der Weise, dass wir annehmen, dass sich je $\frac{n}{3}$ Moleküle in den drei Achsenrichtungen des Würfels mit der für alle gleichen Geschwindigkeit c gradlinig bewegen. Dann ist die Zahl der ~~Stöße~~ Stöße (da auf je 2 cm Wegstrecke ein Stoß kommt) jedes Moleküls auf einer Seitenfläche gleich $\frac{c}{2}$. Die Gesamtzahl der Stöße ist, da für jede Richtung $\frac{n}{3}$ Molek. in Frage kommen $\frac{nc}{6}$. Ist der Zusammenstoß elastisch, so fliegt das Teilchen, das mit der Geschwindigkeit c auf die Wand auftrefft, mit der Geschwindigkeit $-c$ wieder zurück und überträgt auf die Wand die Bewegungsgröße $2 mc$. Der Druck (auf 1 cm^2 pro ~~Zeiteinheit~~ ^{sekunde} übertragener Bewegungsgröße) beträgt somit

$$(6) \quad p = 2mc \cdot \frac{nc}{6} = \frac{1}{3} n \cdot m \cdot c^2 = \frac{1}{3} \varrho c^2 \quad (\varrho = \text{Dichte})$$

und wir erhalten

$$(7) \quad p \cdot v = \frac{1}{3} Nmc^2 = \frac{1}{3} Mc^2 \quad (M = \text{Molekulargewicht})$$

Dasselbe Resultat ergibt die strenge Rechnung unter Berücksichtigung der verschiedenen Geschwindigkeiten und Richtungen, nur dass dann unter c^2 der quadratische Mittelwert \bar{c}^2 der Geschwindigkeiten zu verstehen ist. Ferner gilt

$$(5b) \quad p = v = R \cdot T.$$

Aus (7) und (5b) ergibt sich

$$\frac{1}{3} Nmc^2 \text{ oder}$$
$$\frac{2R}{3N} \cdot \frac{1}{2} mc^2$$

Wenn also unsere Annahmen eine Deutung der Gasgesetze geben sollen, so müssen wir annehmen, dass c^2 vom Volumen unabhängig und nur eine Funktion der Temperatur ist, und zwar so, dass Nmc^2 bei gleicher Temperatur für alle Gase gleich ist. Nach der Avogadro'schen Hypothese ist N die Zahl der Moleküle im Mol für alle Gase gleich, es ist also für verschiedene Gase bei gleichen Temperaturen die kinetische Energie der Moleküle

$$\frac{1}{2} m c^2$$

dieselbe.

Aus Gleichung (8) kann man die mittlere Geschwindigkeit der Gasmoleküle berechnen. Sie beträgt

$$(10) \quad \overline{c^2} = \frac{3RT}{M} = \frac{3p}{\rho} \quad (p = \frac{RT}{v}, \rho = \frac{M}{v}) \text{ oder}$$

$$(10a) \quad c = \frac{158 \cdot T}{M} \text{ m/sec.}$$

Einige Beispiele für c

Bei 0°

O_2 : 461 m/sec

N_2 : 491 "

H_2 : 1844 "

In Wirklichkeit ist die Hypothese der für alle Gasmoleküle gleichen Geschwindigkeit nicht entsprechend. Wie Maxwell gezeigt hat, kommen in einem Gas bei jeder Temperatur alle Geschwindigkeiten vor, gruppieren sich jedoch um eine "Wahrscheinliche c ", d.h. am häufigsten vorkommende Geschwindigkeit, die für jede Temperatur charakteristisch ist. Bezeichnet man mit $d n$ die Zahl der Moleküle mit einer Geschwindigkeit zwischen c und $c + dc$, und mit ω die wahrscheinlichste Geschwindigkeit, so ist nach Maxwell

$$11) d n = \frac{4}{\pi} \cdot c \cdot \frac{c^2}{v^3} \cdot d v \quad (\text{Maxwellisches Verteilungsgesetz})$$

Graphisch ist diese Funktion in Fig. 1. dargestellt.

§ 8. Einwände gegen die Gastheorie.

Man hat zunächst gegen die Gastheorie eingewandt, dass infolge der hohen Molekurgeschwindigkeit die Diffusion eines Gases ausserordentlich schnell erfolgen müsste, während in Wirklichkeit die Diffusion nur langsam erfolgt. Dieser Widerspruch erklärt sich daraus, dass infolge der grossen Zahl der Moleküle ein einzelnes Molekül nur eine sehr kurze Strecke geradlinig zurücklegen kann. Dann wird es mit einem anderen zusammenstossen, seine Richtung ändern und nun auf Zickzackbahnen sehr langsam vorwärts kommen. (Das gleiche gilt für die innere Reibung und die Wärmeleitung). Die mittlere Wegstrecke, die ein Gasmolekül ohne Zusammenstösse zurücklegen kann, bezeichnet man als "mittlere frei Weglänge", sie ist abhängig von der Konzentration des Moleküls (Druck) und von ihrem Durchmesser. Bei einem Druck von 1/10 mm ist die freie Weglänge einige Zehntel Millimeter, bei 1/100 mm einige Millimeter u.s.w.. Bei hohem Vakuum wird die freie Weglänge sehr gross, dann fliegen die Moleküle grössere Strecken geradlinig und man hat die sogenannten Molekularstrahlen. Mit Hilfe solcher Molekularstrahlen ist es gelungen, die thermische Molekurgeschwindigkeit direkt zu messen, wobei die aus der Gastheorie folgenden Werte erhalten wurden.

§ 11. Spezifische Wärme einatomiger Gase.

Die spezifische Wärme eines Gases ist diejenige Wärmemenge, die notwendig ist, um die Temperatur eines Gases um 1° zu erhöhen. Wärmemengen werden im Kalorimeter gemessen, als Einheit benutzt man die Kalorie, d.h. diejenige Wärmemenge, die erforderlich ist um 1 gr. Wasser um 1° (von 14° auf 15° C) zu erwärmen. Nach der kinetischen Gastheorie ist die Wärme identisch mit der kinetischen Energie der Moleküle, die spezifische Wärme somit der Zuwachs der kinetischen Energie der Moleküle bei einer Temperaturerhöhung von T auf $T + 1$. Es ist nach Gleichung (8)

$$\frac{1}{2} m c^2 = \frac{3}{2} R T \text{ also}$$

$$\frac{1}{2} m c_1^2 = \frac{3}{2} R (T + 1) \quad \text{und der Zuwachs}$$

$$\frac{1}{2} m c_1^2 - \frac{1}{2} m c^2 = \frac{3}{2} R.$$

$\frac{3}{2}$ ist also die spezifische Wärme eines einatomigen idealen Gases.

§ 12. Der Energiesatz (1. Hauptsatz der Thermodynamik)

Dieser Satz sagt folgendes aus: Bringt man ein System aus einem Zustand 1 in einen anderen Zustand 2, so ist die Summe der zugeführten Wärme (Q) und der geleisteten Arbeit (A) unabhängig vom Weg und nur von Anfangs- und Endzustand abhängig. Oder

$$(11) \quad A + Q = H_2 - H_1$$

Diese Aussage gewinnt jedoch erst dann einen physikalischen Sinn, wenn man Arbeiten und Wärmemengen miteinander vergleicht d.h. ein mechanisches Wärmekivalent bestimmen kann. Erst die Tatsache dass das mechanische Wärmekivalent sich eindeutig und für alle Umwandlungen von Wärme in Arbeit und umgekehrt bestimmen lässt, macht den Energiesatz von einer bl

Definition zum Naturgesetz.

Wie Gleichung (11) zeigt treten in der Thermodynamik nur Energiedifferenzen auf. Von Energie schlechthin kann man nur dann reden, wenn man einen bestimmten Energiezustand willkürlich als Nullzustand festsetzt und alle anderen Energiezustände auf diesen Nullzustand bezieht.

10

§ 11. Spezifische Wärme bei konstantem Druck.

Erwärmst man ein Gas bei konstantem Druck, so dehnt es sich aus. Dabei leistet es Arbeit gegen den äusseren Druck. Zur Bestimmung dieser Arbeit denken wir uns das Gas in einem Kolben vom Querschnitt q eingeschlossen, der durch einen Stempel, auf dem der Druck p lastet, verschlossen ist. Durch die Ausdehnung wird der Stempel um die Höhe h gehoben.

Dann ist die geleistete Arbeit die Kraft + Weg.

$$(12) \quad A = p \cdot q \cdot h = p (v_2 - v_1)$$

wenn $v_2 - v_1$ die Volumenzunahme des Gases bei Erwärmung um $1^{\circ} C$ ist.

Die spezifische Wärme c_p bei konstantem Druck ist also um den Betrag $p (v_2 - v_1)$ grösser als die bei konstantem Volumen c_v .

Zur Berechnung von $p(v_2 - v_1)$ bilden wir

$$\text{für } T = T \quad p \cdot v_1 = R \cdot T$$

$$\text{für } T = T + 1 \quad p \cdot v_2 = R (T+1)$$

$$(13) \quad p \cdot (v_2 - v_1) = R = c_p - c_v$$

Da $p \cdot (v_2 - v_1)$ bezw. R in mechanischen Massen, die Solarwärmen in Wärmemass gemessen werden, so gestattete Gleichung (13) die Berechnung des mechanischen Wärmekoeffizienten. Diese Berechnung wurde zuerst von Robert Mayer 1842 durchgeführt. Es ergibt sich

$$C_p - C_v = 1.985 \text{ Cal} \quad (\text{direkt gemessen})$$

$$\underline{R = 8,316 \cdot 10^7 \text{ Erg}} \quad (\text{aus der Zustandsgleichung})$$

$$\underline{1 \text{ Erg} = 0,239 \cdot 10^{-7} \text{ Cal}}$$

Vorausgesetzt bei dieser Ableitung ist, dass die innere Energie eines idealen Gases vom Volumen unabhängig ist. Dies wird bewiesen durch den Ueberströmungsversuch von Gay-Lussac.

Lässt man ein Gas aus dem Kolben I durch Öffnen des Korns in den evakuierten Kolben II überströmen, so ändert sich sein Volumen. Befinden sich beide Kolben in einem Kalorimeter, so kann man nachweisen, dass die Ueberströmung ohne Wärmetönung vor sich geht. Beim Einströmen in II wird ebenso viel Wärme frei, wie beim Ausströmen aus I verbraucht wird. Da das Gas ins Vakuum strömt, leistet es auch keine Arbeit. Die Energie eines Gases ist soweit von einem Volumen unabhängig.

§ 12. Spezifische Wärme mehratomiger Gase.

Nach der kinetischen Gastheorie beträgt die spezifische Wärme einatomiger Gase $C_v = \frac{3}{2} R$. Da $C_p - C_v = R$ ist, so ist für einatomige Gase

$$C_p = \frac{5}{2} R \text{ und } \frac{C_p}{C_v} = K = \frac{5}{2} = 1,66$$

Diese Verhältnis ist auch experimentell festgestellt worden. Nach der Ga theorie ist der Wärme-Energie-Inhalt gegeben durch die kinetische (translatorische) Energie der Moleküle. Da die translatorische Energie 3 Freiheitsgrade hat, (Zahl der Freiheitsgrade ist die Zahl der Angaben, die erforderlich ist, um die Lage eines Bildes vollständig zu beschreiben) so kommt auf jeden Freiheitsgrad eines Moleküls die Energie

$$(14) \quad n = \frac{N}{R} T = \frac{1}{2} kT \quad (N \text{ Zahl der Molek. in Mol.})$$

Die Grösse $K = \frac{R}{N}$ bezeichnet man als Boltzmann'sche Konstante. Es lässt sich zeigen, dass die kinetische Energie auch in jedem anderen Freiheitsgrade (Schwingung oder Rotation) gleich $\frac{1}{2}kT$ ist. Stellt man sich ein zweiatomiges Molekül als "Hantelmodell" (einatomiges Gebilde) vor, so hat es außer den 3 Freiheitsgraden der Translation noch 2 Freiheitsgrade der Rotation. Es ist somit

$$C_V = \frac{5}{2} R, \quad C_P = \frac{7}{2} R$$

$$\frac{C_P}{C_V} = 1.40$$

Ein drei oder mehratomiges Gebilde hat 3 Rotations-, mithin 6 Freiheitsgrade und daher die spezifischen Wärmen

$$C_P = \frac{6}{2} R, \quad C_V = \frac{3}{2} R, \quad \frac{C_P}{C_V} = K = 1.33$$

Bei sehr tiefen Temperaturen nimmt die spezifische Wärme der mehratomigen Gase ab. Das ist eine Folge der Quantentheorie nach welcher die Rotationsenergie bei hohen Umlaufszahlen v und kleinen T (genauer: grossen Werten von $\frac{v}{T}$) verschwindet. Wasserstoff hat bei $-^{\circ}$ nur noch die spezifische Wärme eines einatomigen Gases.

Bei mehratomigen Molekülen und hohen Temperaturen treten außer den Freiheitsgraden der Translation und Rotation noch solche der Schwingung der Atome im Molekül auf, wodurch die spezifischen Wärmenden grösser werden als $3R$ und $\frac{C_P}{C_V}$ sich dem Wert 1 nähert.

§ 13. Die adiabatische Zustandsgleichung.

Haben wir ein Gas in einem Kolben mit einer wirmedurchlässigen Hülle und komprimieren es, (adiabatische Kompr.), so bewirkt die der bei der Kompression geleisteten Arbeit äquivalente Wärme eine Temperaturerhöhung des Gases.

Für eine Verkleinerung des Volumens um den gleichen Betrag können wir p als konstant ansehen. Es ist also die aufgewandte Arbeit $= dA = -p \cdot dv$, und die gewonnene Wärme $= dQ = cv \cdot dT$ (Minuszeichen, weil Wärme und Arbeit in umgekehrten Sinne wirken). Also

$$p \cdot dv = -cv \cdot dT, \quad p = \frac{RT}{v}$$

$$RT \frac{dv}{v} = -cv \cdot dT \quad R = cp - cv$$

$$\frac{cp - cv}{cv} \cdot \frac{dv}{v} = -cv \frac{dT}{T} \quad \frac{cp}{cv} = K$$

$$(K - 1) \cdot \frac{dv}{v} = -\frac{dT}{T}; \quad \text{durch Integration von } v_1 \text{ bei } v_2 \text{ und } T_1 \text{ bei } T_2$$

$$(K - 1) \frac{dv}{v} = \frac{v_2}{v_1} = -\frac{dT}{T} = \frac{dT}{T}$$

$$(K-1) \ln \frac{v_2}{v_1} = \ln \frac{T_1}{T_2} \quad \text{oder}$$

$$(15) \quad \left(\frac{v_2}{v_1} \right)^{K-1} = \frac{T_1}{T_2}$$

Durch Einsetzen von $v = \frac{RT}{P}$ in (15) erhält man:

$$\left(\frac{RT_2 \cdot p_1}{p_2 RT_1} \right)^{K-1} = \frac{T_1}{T_2} \quad \text{oder}$$

$$\left(\frac{p_1}{p_2} \right)^{K-1} = \frac{T_1}{T_2} \quad \text{oder}$$

$$(16) \quad \left(\frac{p_1}{p_2} \right)^{\frac{K-1}{K}} = \frac{T_1}{T_2}$$

Ferner aus (16) und (15)

$$\left(\frac{v_1}{v_2} \right)^{K-1} = \left(\frac{p_1}{p_2} \right)^{\frac{K-1}{K}} \quad \text{oder}$$

$$(17) \quad \left(\frac{v_2}{v_1} \right)^K = \frac{p_1}{p_2}; \quad p \cdot v = \text{konst.}$$

II. Reale Gase.

§ 14. Die Zustandsgleichung von van der Waals.

Bei höheren Drücken gehorchen die Gase dem Boyle-Ga-Lussac'schen Gesetz nicht mehr. Bei der (kinetischen) Ableitung dieser Gesetze ist ja auch vorausgesetzt worden, dass zwischen den Molekülen des Gases keine Kräfte wirken. Kommen aber die Moleküle genügend nahe aneinander, so treten solche Kräfte auf, und zwar abstossende und anziehende Kräfte. Die anziehenden Molekularkräfte sind elektrischer Natur, sie röhren daher, dass die Moleküle entweder ein natürliches elektrisches (Dipol-Quadrupol)-Moment besitzen oder bei der gegenseitigen Nähierung der Moleküle ein solches Moment induziert wird. Die induzierten Momente sind von der Temperatur unabhängig und ergeben stets eine Anziehung. Bei den natürlichen Momenten tritt dagegen je nach der gegenseitigen Lage eine Anziehung oder Abstossung auf. Bei hohen Temperaturen sind alle Lagen gleich wahrscheinlich, infolgedessen ist der Gesamteffekt verschwindend.; bei tiefen Temperaturen überwiegt dagegen die Anziehung. Ueber den Ursprung der abstossenden Kräfte ist nichts genaues bekannt, als praktisch brauchbare Analogie kann man die Kräfte, die beim Zusammenstoß von elastischen Kugeln auftreten, heranziehen. Die abstossenden Kräfte wirken somit wie eine Verkleinerung des den Gasmolekülen zur Verfügung stehenden Volumens.

Die anziehenden Kräfte rufen eine Druckverminderung her vor, d.h. sie lassen den gemessenen Druck kleiner erscheinen als den Druck, der im idealen Gasszustand vorhanden wäre. Diese Druckverminderung ist umgekehrt proportional v^2 , weil einerseits die Zahl der Stöße, andererseits die Zahl der Moleküle in der Volumeneinheit und damit ihr mittlerer gegenseitiger Abstand umgekehrt proportional v sind. Nach van der Waals ist die Gasgleichung somit von der Form

$$(18) \left(p + \frac{a}{v^2} \right) (v - b) = R T$$

Bei tiefen Temperaturen ist jedoch auch nach obigen Überlegungen das a noch temperaturabhängig (Zustandsgleichung von D. Berthelot.)

Die van der Waals'sche Gleichung erklärt das Verhalten der Gase bei hohen Drücken befriedigend. Für grosse v geht sie in die gewöhnliche Gasgleichung

$$p \cdot v = R t$$

über, denn für grosse v kann $v - b = v$ und $\frac{a}{v^2} = 0$ gesetzt werden.

§ 15.- Der Joule-Thomson-Effekt.

Lässt man ein ideales Gas ohne Ueberwindung eines äusseren Gegendruckes sich vom Druck p_2 ausdehnen, so wird dabei $p_1 v_1 = p_2 \cdot v_2$ sein, und keine äussere Arbeit geleistet werden. Der Gay-Lussac'sche Ueberströmungsversuch § 11 zeigt ferner, dass sich auch die innere Energie nicht ändert. Auch aus der kinetischen Gas theorie, sowie mit Hilfe des zweiten Hauptsatzes der Thermodynamik lässt sich herleiten, dass die Energie eines idealen Gases nicht vom Volumen abhängt. Bei einem nicht idealen Gas jedoch ist einerseits $p_1 v_1 + p_2 v_2$, und andererseits müssen die Moleküle bei der Volumenvergrösserung Arbeit gegen die anziehende Kraft $\frac{a}{v^2}$ leisten. Ferner wird sich im allgemeinen die innere Energie (Temperatur) des Gases ändern.

Der entsprechende Versuch wurde von Joule und Thomson in der Weise ausgeführt, dass ein Gas durch ein Rohr gedrückt wurde, indem in dem sich ein Wattepfrif befand, dann tritt an der Stelle des Wattepfriffs eine Druckänderung von p_1 auf p_2 ein; Ferner wurden die Temperaturen T_1 und T_2 gemessen.

Der Apparat ist gegen Wärmeübertragung aus der Umgebung isoliert, der Vorgang verläuft also adiabatisch. Nach dem 1. Hauptsatz gilt allgemein:

$$dU = A + Q$$

bei diabatischen Vorgängen ist $Q = 0$, also

$$dU = A$$

Die Energieänderung des Gases dU setzt sich zusammen aus der Änderung der Temperaturenergie $C_V (T_2 - T_1)$ und der inneren Arbeit, die die Moleküle gegen die anziehenden Molekularkräfte zu leisten haben. Diese ist, wie sich molekularetheoretisch oder auch thermodynamisch zeigen lässt, gegeben durch

$$\frac{a}{v} \cdot dv = a \left(\frac{1}{v_1} - \frac{1}{v} \right)$$

Die äußere Arbeit A ist $p_1 v_1 - p_2 \cdot v_2$. Es gilt somit

$$p_1 v_1 - p_2 \cdot v_2 = C_V (T_2 - T_1) + a \left(\frac{1}{v_1} - \frac{1}{v_2} \right)$$

Nach der van der Waals'schen Gleichung (18) ist

$$(p + \frac{a}{v^2}) (v - b) = R T \quad \text{oder}$$

$$p \cdot v + \frac{a}{v} - p \cdot b - \frac{ab}{v^2} = R T \quad \text{oder}$$

$$p \cdot v = R T - \frac{a}{v} + p \cdot b$$

$$p_1 \cdot v_1 - p_2 \cdot v_2 = R(T_1 - T_2) - a \left(\frac{1}{v_1} - \frac{1}{v_2} \right) + b(p_1 - p_2) = \\ C_V (T_2 - T_1) + a \left(\frac{1}{v_1} - \frac{1}{v_2} \right)$$

$$(19) (R + C_V)(T_1 - T_2) = 2a \left(\frac{1}{v_1} - \frac{1}{v_2} \right) b (p_1 - p_2)$$

für kleine Druck- und Temperaturänderungen können wir setzen:

$$v = \frac{RT}{P} \quad \text{und erhalten}$$

$$(19a) (T_1 - T_2) = \frac{2a}{C_V + R} \cdot \frac{b}{P} \cdot (p_1 - p_2)$$

Ob der Joule-Thomson-Effekt bei der Ausdehnung zu einer Abkühlung oder Erwärmung führt, hängt von den Vorzeichen der rechten Seite ab. Da bei der Ausdehnung $p_1 \rightarrow p_2$, so wird das Vorzeichen bestimmt durch den Ausdruck

$$\frac{2a}{RT} - b$$

Ist dieser Ausdruck gleich 0, also $T = \frac{2a}{Rb}$, so ist keine Temperaturänderung zu beobachten, ist $T < \frac{2a}{Rb}$, so tritt bei der Expansion eine Erwärmung ab. Die Temperatur $T_0 = \frac{2a}{Rb}$ bezeichnet man als Inversionstemperatur, weil bei dieser der Effekt sein Vorzeichen umkehrt.

Technische Anwendung. Luftverflüssigung nach Linde.

Wasserstoff muss vorgekühlt werden, da seine Inversionstemperatur bei -149° liegt und daher der Joule-Thomson-Effekt bei Zimmertemperatur eine Erwärmung hervorruft.

§ 16. Die kritischen Erscheinungen.

Löst man die v.d. Waals'sche Gleichung nach v auf, so erhält man den Ausdruck

$$v^3 - v^2 \left(\frac{b+RT}{p} \right) + \frac{a}{p} v - \frac{ab}{p} = 0$$

Da diese Gleichung für v vom 3. Grade ist, so hat sie entweder eine oder drei reelle Wurzeln. Zeichnet man die Isothermen, so bekommt man 2 Sorten, bei höheren solche, die zu jedem p einen Wert von v liefern und bei tieferen solche, die in einem gewissen Druckbereich drei Werte von v zu einem gewissen p Wert ergeben. Beide Scharen werden getrennt durch eine "kritische" Isotherme J_K , bei der die drei KV Werte in einen Punkt zusammenrücken.

Komprimiert man ein Gas bei der Temperatur $T = T_K$, so ändert sich das Volumen längs der Isotherme J_T zunächst bei zum Punkte a . Dann tritt Kondensation ein und bei weiterer Volumenverminderung bleibt der Druck konstant bis zum Punkt b . In diesem Gebiet besteht das System aus 2 Phasen (flüssige und Gasphase) und auf ~~schnell~~ Systeme lässt sich die v.d.Waals'sche Gleichung nicht anwenden. Bei a ist das gesamte Gas kondensiert, jetzt ist nur noch eine (flüssige) Phase vorhanden und bei weiterer Kompression folgt das Volumen wieder der Isotherme. Die Kurvenstücke ad und ab sind unter Umständen ebenfalls realisierbar (übersättigter Dampf, ~~überhitzte~~ überhitzte Flüssigkeit); nicht aber das Stück db . Denn auf diesem Stück ruft eine Druckabnahme eine Volumenabnahme hervor und der Zustand ist somit instabil.

Bet höheren Temperaturen als T_K zeigen die Isothermen keine derartigen merklichen Stellen, infolgedessen lässt sich dann ein Gas beliebig hoch komprimieren, ohne dass eine Trennung in 2 Phasen (Luftverflüssigung) auftritt. Diese Tatsache ist schon früher beobachtet worden. Die höhere Temperatur, bei der eine Verflüssigung durch Druck noch gerade möglich ist, bezeichnet man als kritische Temperatur, die zu gehörigen Druck und Volumina als kritischer Druck und kritisches Volumen. Der "kritische Punkt" liegt auf der Isotherme T_K , er ist ein Endpunkt mit zur v -Achse paralleler Tangent.

§ 17. Berechnung der kritischen Daten.

Da im kritischen Punkt die drei reellen Wurzeln der kritischen v.d.Waals'schen Gleichung zusammenfallen, so gilt

$$(v-v_K)^3 = v^3 - v^2 \left(b + R \frac{T_K}{p_K} \right) + v \frac{a}{p_K} - \frac{ab}{p_K} = 0; \quad \text{oder}$$

$$v^3 - 3v_K v^2 + 3v_K^2 v - v_K^3 = v^3 - v^2 \left(b + R \frac{T_K}{p_K} \right) + v \frac{a}{p_K} - \frac{ab}{p_K}, \quad \text{also}$$

$$3v_K = b + R \frac{T_K}{p_K}$$

$$3v_K^2 = \frac{a}{p_K}$$

$$v_K^3 = \frac{ab}{p_K}$$

$$(20a) \quad v_K = 3b$$

$$(20b) \quad p_K = \frac{a}{27b^2}$$

$$(20c) \quad T_K = \frac{8}{27} \cdot \frac{a}{Rb}.$$

Umgekehrt lassen sich auch a , b , und R aus v_K , p_K und T_K berechnen.

$$(21a) \quad a = 3v_K^2 p_K$$

$$(21b) \quad b = \frac{v_K}{3}$$

$$(21c) \quad R = \frac{8}{3} \cdot \frac{p_K \cdot v_K}{T_K}$$

Die v.d.Waals'sche Theorie hat noch die besondere Eigenschaft, dass sie die Gase und die Flüssigkeiten erfassst und von dem einen Zustand in den anderen kontinuierlich hinübergibt (Kontinuität des flüssigen und gasförmigen Zustands"). Man kann also auch z.B. von einem Gas, das man über die kritische Temperatur erhitzt, dann sehr stark komprimiert und dann wieder abkühlt, zu einer Flüssigkeit gelangen, ohne dass eine Phasengrenzfläche auftritt. Man muss dazu nun das in der Figur 6 schraffierte Gebiet vermeiden, in welchem 2 Phasen möglich sind.

§ 18. Das Theorem der übereinstimmenden Zustände.

Ersetzt man in der v.d.Waals'schen Gleichung a , b , und R durch die entsprechenden Ausdrücke aus v_K , p_K und T_K , so erhält man:

$$\left(p + \frac{3v_K^2 p_K}{v^2} \right) \left(v - \frac{v_K}{3} \right) = \frac{8}{3} p_K v_K \cdot \frac{T}{T_K}$$

Durch Division mit $\frac{p_K v_K}{3}$ wird daraus

$$\left(\frac{p}{p_K} + 3 \left(\frac{v_K}{v} \right)^2 - 3 \frac{v}{v_K} - 1 \right) = 8 \cdot \frac{T}{T_K}$$

Setzt man nun $\frac{p}{p_K} = \frac{p}{v_K} = \text{und } \frac{T}{T_K} =$ so erhält man:

$$(22) \quad \left(1 + \frac{3}{v} \right) (3 - \frac{1}{v}) = 8$$

d.h. misst man Volumen Druck und Temperatur nicht in Litern, Atmosphären und Grad C; sondern als Vielfache der entsprechenden kritischen Größen, so verliert die v.d.Waals'sche ihre individuellen Konstanten und gilt für alle flüssigen und gasförmigen Stoffe. Allerdings bekommt dabei jeder Stoff ein individuelles Messsystem.

Hat man also die Zustandsgleichung für einen Stoff ausgerechnet und etwa graphisch dargestellt, so gilt die erhaltene Kurvenschar für alle Stoffe, wenn nur alle Masseneinheiten im Massstab der kritischen Werten umgerechnet werden.

Das Theorem der übereinstimmenden Zustände, gilt wie die ganze v.d.Waals'sche Theorie, nur angähert am besten für chemisch ähnliche Stoffe.

II. Feste Stoffe

§ 19. Molekular Struktur.

Aus kristallographischen Gründen hat man sich die Kristalle als Raumgitter von Atomen oder Ionen gedacht. Durch die Laue'sche Entdeckung, dass Röntgenstrahlen beim Durchgang durch Kristalle spektral zerlegt werden und Interferenzfiguren geben, ist diese Ansicht über den Aufbau der festen Körper auch experimentell bewiesen. Nach den Untersuchungen über

die Röntgenstrahlinterferenzen ~~wenn man~~ nach der Methode von Laue und den Methoden von Bragg und Debye kann man die Raumgitter der Struktur genau erforschen. Die Gitterpunkte sind von Atomen und Ionen besetzt, die um diese Gitterpunkte als Gleichgewichtslagen Schwingungen ausführen können.

Durch die Röntgenstrahl-Interferenzen ist es auch möglich, den Abstand zweier Gitterpunkte d.h. der Abstand zweier Atome (die Gitterkonstante d) genau zu bestimmen. Die Reflexion von Röntgenstrahlen an einem Raumgitter erfolgt erfolgt für jede Wellenlänge nur unter einem bestimmten "Glanzwinkel" α , für den die Theorie folgende Gleichung liefert:

$$(23) \quad n = 2 d \cos \alpha$$

Aus Glanzwinkel und Wellenlänge der benutzten Strahlung kann somit die Gitterkonstante berechnet werden.

§ 20. Energie und spezifische Wärme fester Körper;

Gesetz von Dulong und Petit.

Die Atome bzw. Ionen können um ihre Gleichgewichtslage Schwingungen in 3 Richtungen ausführen, sie haben also 3 Freiheitsgrade kinetischer Energie und demgemäß eine Energie Inhalt von $\frac{3}{2} RT$ pro Mol an kinetischer Energie. Nun ist bei harmonisch schwingenden Körpern die mittlere kinetische Energie gleich der mittleren potentiellen Energie (z.B. Pendel) es kommt somit noch ein Betrag $\frac{3}{2} RT$ für die potentielle Energie hinzu. Der Gesamtenergie-Inhalt ist somit

$$(24) \quad N = 3 RT \text{ pro Mol}$$

und die spezifische Wärme

$$(25) \quad C_V = \frac{dN}{dT} = 3 r = 5,96 \text{ cal/Mol}$$

C_p ist bei festen Stoffen nur wenig grösser; es folgt also aus (25): $C_p = 6$ bis $6,4$ Gesetz von Dulong - Petit. Für Verbindungen gilt das Gesetz von Joule-Kopp und Neuman, nach welchem die

spezifische Wärme pro Atom $3R = 6$ beträgt.

Viele Stoffe zeigen jedoch Abweichungen. Es sind dies besonders die leichten und harten Stoffe, wie nachstehende Tabelle zeigt.

Substanz	Atom-Wärme.
Beryllium	3,7
Bor	2,8
Diamant(C)	1,7
Silicium	4,5

Bei sehr tiefen Temperaturen ist die Abweichung vom Dulong-Petit'schen Gesetz allgemein, die spezifischen Wärmen sind dann stets kleiner als $3R$ und konvergiert gegen 0 für $T = 0$. Diese Abweichungen hat Einstein mit Hilfe der Planck'schen Quantentheorie erklärt. Nach dieser kann ein schwingender Oszillatator die Energie nur in ganzzahligen Vielfachen des Betrages $h\nu$, wo ν die Schwingungs-Frequenz ist, aufnehmen. Ist die verfügbare Wärme-Energie kleiner als ein Vielfaches dieses Betrages pro Atom, so werden nur die ganzen Quanten aufgenommen und der Rest kann nicht absorbiert werden. Daher ist der Wärmeinhalt bei tiefen Temperaturen (kleine zur Verfügung stehende Gesamtenergie) und bei hohen ~~verschiedenen~~ Frequenzen der Atome (große Quanten) kleiner als nach der "klassischen" Theorie. Dann ist auch die spezifische Wärme kleiner als im "klassischen" Fall.

Die Energie eines harmonischen Oszillators beträgt nach Planck und Einstein

$$(26) \quad N = \frac{h\nu}{KT} - 1 \quad \text{pro Freiheitsgrad}$$

Für hohe Temperaturen ist $\frac{h\nu}{KT} - 1$ man kann also entwickeln
 $\frac{h\nu}{KT} = 1 + \frac{h\nu}{KT}$ dann ergibt sich
e

$$(27) \quad N = 1 + \frac{hv}{KT} - 1 = \frac{hv}{KT}$$

wie es die klassische Theorie verlangt.

Für tiefe Temperaturen, genauer grosse Werte von $\frac{v}{T}$ kann man 1 gegen $e^{\frac{hv}{KT}}$ vernachlässigen und erhält

$$(28) \quad n = \frac{hv}{e^{\frac{hv}{KT}}} = h v \cdot e^{-\frac{hv}{KT}}$$

Durch Differentiation von n nach T findet man die spezifische Wärme.

Bet sehr tiefen Temperaturen stimmt die Einstein'sche Formel nicht mehr gut mit der Erfahrung überein. Das liegt daran, dass diese Theorie mit nur einer für alle Moleküle gleichen Frequenz v rechnet, während tatsächlich die Eigenfrequenz für jeden Freiheitsgrad und jedes Molekül verschieden sein kann. Aus diesem Fall haben Debye einerseits und Born und von Kramers andererseits eine Formel abgeleitet, nach der die Energie bei sehr tiefen Temperaturen proportional T ist. Entsprechend wird dann die spezifische Wärme

$$(29) \quad C_v = T^3$$

Die Schwingungszahl v hängt mit den elastischen Konstanten einerseits und mit dem Schmelzpunkt andererseits zusammen. Man kann sie näherungsweise berechnen aus der Kompressibilität nach

$$(30 \text{ a}) \quad v = \frac{5 \cdot 10^{-7}}{1/3 \cdot K \cdot d^{1/6}}$$

wobei K die Kompressibilität und d die Dichte bedeuten; und andererseits aus dem Schmelzpunkt nach

$$(30 \text{ b}) \quad V = 2.8 \cdot 10^{12} \cdot \frac{T_5}{M \cdot v_m^{2/3}}$$

(T_5 = Schmelztemperatur, v = Molekularvolumen, M = Molekulargewicht)

III. Flüssigkeiten.

§ 21.

Eine spezielle Molekulartheorie der Flüssigkeiten, wie die der Gase und festen Körper existiert bisher noch nicht, so dass man die Eigenschaften der Flüssigkeiten nur ganz allgemein theoretisch behandeln kann. Die Flüssigkeiten verhalten sich einerseits wie stark komprimierte Gase (vgl. die v. d. Waals'sche Theorie der Kontinuität des flüssigen und gasförmigen Zustandes) und andererseits den festen Körpern analog, z.B. bei der spezifischen Wärme, der Dichte und anderen Eigenschaft. Man muss aus diesen Gründen annehmen, dass auch im flüssigen Zustand die Atome um Gleichgewichtslagen schwingen, nur sind diese Gleichgewichtslagen nicht fest sondern verschiebbar.

Das charakteristische Merkmal des flüssigen Zustandes ist die Ausbildung einer Oberfläche. Jede Flüssigkeit hat das Bestreben, ihre Oberfläche möglichst klein zu machen. Dies Bestreben äussert sich als Oberflächenspannung (Kraft pro Längeneinheit) und wirkt an der Begrenzung der Oberfläche. Man muss Arbeit gegen die Oberflächenspannung leisten, wenn man eine Oberfläche erzeugt und zwar beträgt diese Arbeit

$$(31) A = \sigma (= \text{Oberfl. Sp.}, \sigma = \text{Oberfl.})$$

Molekulartheoretisch kann man die Oberflächenspannung in folgender Weise deuten. Betrachten wir ein Molekül in dünner Flüssigkeit a , so würden auf es die Kräfte aller es umgebenden Moleküle gleichmässig nach allen Seiten, die resultierende Kraft ist somit 0. Betrachten wir dagegen ein Molekül in der Oberfläche b , so wirkt nun die Anziehung der unteren Halbkugel und es bleibt eine Kraftkomponente nach unten übrig, die das Teilchen ins Innere der Flüssigkeit zu ziehen sucht.

Messung der Oberflächen-Spannung. 1) Steighöhenmethode.

Benetzende Flüssigkeiten steigen in den Kapillaren hoch, bis die Oberflächenspannung dem hydrostatischen Zug der Flüssigkeitssäule das Gleichgewicht hält. Es ist also

$$2 \cdot \gamma = \rho \cdot g \cdot h \\ = \frac{1}{2} \cdot \rho \cdot g \cdot r \cdot h$$

Nichtbenetzende Flüssigkeiten, (wie Hg an Glas) stehen in den Kapillaren tiefer (Kapillardepression)

Andere Messmethoden: Tropfengröße, schwingende Strahlen Kapillarwellen.

Wenn V das Mol-Volumen angibt, so ist $V^{2/3}$ der "Molekularen Oberfläche" (bei gleicher Form der Flüssigkeit) proportional. Das Produkt $\gamma \cdot V^{2/3}$ bezeichnet man als die molekulare Oberflächenenergie. Für ihre Temperaturabhängigkeit gilt das Gesetz von Eötvös.

$$(32) \quad \frac{d\gamma}{dT} \left(V^{2/3} \right) = -2,12$$

Bei assoziierten Stoffen ist die Konstante kleiner, man kann daher mit Hilfe des Eötvös'schen Gesetzes Aussagen über den Molekularzustand flüssiger Stoffe.

Der Temperatur-Koeffizient der Oberflächenspannung muss negativ sein, da beim kritischen Punkt $\gamma = 0$ werden muss.

Dies gibt die Möglichkeit, die Gleichung (32) zu integrieren: Es ist:

$$\gamma \cdot V^{2/3} = -2,12 \cdot T + \text{konst}$$

Für $T = T_K$ ist $\gamma = 0$, also

$$\gamma = -2,12 \cdot T_K + \text{konst}, \quad \text{konst} = 2,12 \cdot T_K, \text{ als} \\ \gamma \cdot V^{2/3} = 2,12 (T_K - T)$$

Um ein Molekül aus dem Inneren der Flüssigkeit an die Oberfläche zu befördern, muss man es aus der halben Anziehungsphäre der anderen Moleküle entfernen. Um es ganz aus de-

aus der Flüssigkeit zu entfernen (also zu verdampfen) muss man etwa doppelt soviel Arbeit aufwenden. Daher ist die molekulare Oberflächenenergie ungefähr gleich der halben Verdampfungswärme.

Eine bessere Übereinstimmung mit der Erfahrung erhält man jedoch, wenn man statt der wahren kritischen Temperatur die um etwa 6° erniedrigte einsetzt.

I. 2. Mehrphasige Systeme.

§ 22. Anwendung des ersten Hauptsatzes auf den Schmelz- und Verdampfungsvorgang.

Nach dem ersten Hauptsatz ist der Energieaufwand, den man leisten muss, um ein System aus dem Zustand I in einen Zustand II zu bringen, unabhängig von Reg. Wenn wir einen festen Stoff (beim Schmelzpunkt) direkt verdampfen, so müssen wir demnach die gleiche Energie aufwenden, wie wenn wir ihn erst schmelzen und dann verdampfen lassen. Es ist daher

$$(33) \quad \text{Sublimationswärme} = \text{Schmelzwärme} + \text{Verdampfungs-wärme}$$

da man die Arbeiten bei diesen Vorgängen vernachlässigen kann.

2) Temperaturabhängigkeit der Schmelzwärme.

wir verwandeln eine Flüssigkeit von der Schmelztemperatur T in "Eis" von der Temperatur $T - dT$ auf zwei Wegen:

a) Gefrieren wir bei der Temperatur T , dann Abkühlen des Eis auf $T - dT$

b) Unterkühlen der Flüssigkeit auf $T - dT$, dann Gefrieren.

In beiden Fällen muss die aufgewandte Energie gleich sein, also

$$(34) \quad \frac{d}{dT} = \frac{-C_{\text{fest}} \cdot dT}{C_{\text{flüssig}} - C_{\text{fest}}} = - \frac{C_{\text{fest}} dT}{(C_{\text{flüssig}} - C_{\text{fest}})} \quad \begin{array}{l} \text{die geleistete Arbeit ist wegen der geringen Ausdehnung beim Schmelzen zu vernachlässigen.} \\ \text{ist wagen der geringen Ausdehnung beim Schmelzen zu vernachlässigen.} \end{array}$$

Hierbei ist der Schmelzpunkt durch Unterkühlung der Flüssigkeit geändert worden. Wird der Schmelzpunkt durch Druck verschoben, so ist die Ableitung nur mit Hilfe des 2. Hauptsatzes möglich.

3) Temperaturabhängigkeit der Verdampfungswärme.

Wir führen den gleichen Prozess wie beim Schmelzen aus und zwar führen wir 1 Mol Flüssigkeit von der Temperatur T in Dampf beim gesättigten Druck p von $T + dT$ über, und berechnen die aufgewandte Wärme minus der geleisteten Arbeit.

I. Weg: 1) Erwärmung der Flüssigkeit auf $T + dT$, (aufgewandte Wärme $C_{fe} \cdot dT$, gewonnene Arbeit 0,) 2) Verdampfen bei $T + dT$ (Aufgewandte Wärme: $R \cdot dT$, gewonnene Arbeit $R(T + dT)$)

II. Weg: 1) Verdampfen bei T (Aufgew. Energie R , gewonnene Arbeit: $R(T)$) 2) Erwärmen des Dampfes bei konstantem Volumen auf $T + dT$: Aufgew. Energie $C_D \cdot dT$, gewon- Arbeit = 0). 3) Isotherme Kompression des Dampfes von Druck p' auf den Sättigungsdruck p . Aufgewandte Wärme $-RT \cdot \ln \frac{p'}{p}$, gewonnene Arbeit = $RT \ln \frac{p'}{p}$.

Es ist somit:

$$C_{fe} \cdot dT + R \cdot dT - R(T + dT) = - R \cdot T + C_D \cdot dT + 0$$

oder

$$(35) \quad \frac{d}{dT} = R + C_D - C_{fe} = C_D = C_{fe}$$

Dasselbe gilt für die Sublimation.

§ 23. Die maximale Arbeit

Wenn man z.B. bei der Ausdehnung eines Gases die maximale Arbeit gewinnen will, so muss man den äusseren Druck um eine beliebig kleine Grösse kleiner halten als den Druck des Gases. Man gewinnt dazu bei der Ausdehnung die Arbeit $(p - p') \cdot dv$. Umgekehrt muss man bei der Kompression den

Druck um grösser halten und demgemäß ist die zur Kompression erforderliche minimale Arbeit ($p + \lambda$)dv.

Da die Grösse λ , die von der Reibung u.s.w. abhängt, prinzipiell beliebig klein gemacht werden kann, so ist bei der Ausdehnung eines Gases um dv, die ~~XXXXXXXXXXXXXX~~ gewonnene maximale Arbeit gleich der zur Umkehrung erforderlichen minimalen Arbeit (bis auf den Betrag λ). Derartige Vorgänge heissen umkehrbar (reversibel). Umgekehrt gewinnt man die maximale Arbeit, wenn man den entsprechenden Vorgang reversibel leitet.

§ 24. Der zweite Hauptsatz der Thermodynamik.

"Es ist unmöglich eine periodisch wirkende Maschine zu konstruieren, deren einzige Wirkung darin besteht, Wärme in Arbeit zu verwandeln" (Eine derartige Maschine bezeichnet Ostwald als "Perpetuum mobile" II Art).

Wir wenden den zweiten Hauptsatz zunächst auf isotherme Prozesse an. Dann folgt zunächst der Satz: Die maximale Arbeit, die man gewinnen kann, wenn man ein System aus einem Zustand I in einen anderen Zustand II übergehen lässt, ist unabhängig vom Weg. Beweis: Angenommen es gäbe 2 Wege mit verschiedener maximaler Arbeit. Dann könnte man den Prozess auf dem Weg 1 mit der grösseren W. A. Arbeit leisten lassen und ihn dann auf den Weg 2 rückgängig machen. Dabei hätte man weniger Arbeit aufzuwenden und würde somit eine Maschine haben, die periodisch wirkt und bei jeder Periode die Arbeit 1 - 2 liefert, die nur aus dem Fürmehinhalt des Systems stammen kann. Dies ist aber nach dem II. Hauptsatz unmöglich. Hithin müssen bei isothermen Prozessen die maximale Arbeit unabhängig vom Weg sein. Bei isothermen Kreisprozessen, die zum Ausgangspunkt zurückführen, ist daher die maximale Arbeit = 0.

§ 25. 1. Beispiele: Änderung des Dampfdruckes durch äusseren Druck.

Wir betrachten ein Rohr, das mit Flüssigkeit gefüllt und bei a durch eine semipermeable Membran verschlossen ist. Darunter steht die Flüssigkeit a unter dem Druck $P = s_k \cdot h$. Damit der Dampf bei a und b im Gleichgewicht ist, muss der Dampfdruck der Flüssigkeit a (p') um den Druck einer Dampfsäule von der Höhe h grösser sein als bei b (p). Es ist also

$$p' - p = h \cdot s_{DAMPF} \quad s_D = \frac{M_p}{RT}$$

$$h = \frac{P}{s_{fl}}; \quad s_{fl} = \frac{M}{v_{fl}}; \quad h = \frac{P v_{fl}}{M}; \quad \text{also}$$

$$(36) \quad \frac{p' - p}{P} = \frac{P \cdot v_{fl}}{RT}$$

Wir denken uns die Flüssigkeitsoberfläche durch einen semipermeablen Stempel abgeschlossen, der nur Dampf aber keine Flüssigkeit durchlässt. Die Flüssigkeit sei inkompressibel. Wir belasten jetzt den Stempel mit dem Druck P ; verdampfen ein Mol unter dem Druck p' und bringen dann den Dampf auf Gleichgewichtsdruck p . Als zweiten Weg wählen wir folgenden: wir verdampfen die Flüssigkeit direkt unter dem Gleichgewichtsdruck p . Der Ausgangspunkt ist in beiden Fällen: 1 Mol Flüssigkeit unter dem Druck p , der Endpunkt 1 Mol Dampf vom Druck p . Nach dem II. Hauptsatz müssen in beiden Fällen die maximalen Arbeiten gleich sein, also

$$R T - P v_{fl} + R T \ln \frac{p'}{p} = R T - p \cdot v_{fl}.$$

Arbeit beim
Verdampfen un-
ter P

Arbeit bei
der Druck-
änderung
des Dampfes

oder (36) $\ln \frac{p'}{p} = \frac{(P-p') s_{fl}}{R T} = \frac{p' - p}{p}$

Dieses Ergebnis kann man auch auf folgendem thermodynamischen Weg erhalten

§ 26. 2. Beispiel. Zusammensetzung zwischen Dampfdruck und

Oberflächenspannung.

In einer Kapillaren steigt eine benetzende Flüssigkeit in die Höhe. Damit sich der Dampf bei a und b im Gleichgewicht befindet, muss der Dampfdruck bei a (p) um den Druck der Dampfsäule von der Höhe $h(p')$ grösser sein (vgl., vorige Ueberlegung). Da die Oberfläche bei b eine nach innen gekrümmte Kugelfläche ist, so folgt, dass der Dampfdruck eines kleinen Bläschens kleiner ist als der einer ebenen Oberfläche. Quantitativ ergibt sich:

$$p - p' = s_D \cdot h, \quad s_D = \frac{M_D}{RT} \quad \text{ferner ist} \\ = \frac{1}{2} s_{fl} \cdot r \cdot h \text{ oder } h = \frac{2}{r \cdot s_{fl}}, \text{ also}$$

$$(37) \quad \frac{p - p'}{p} = \frac{2 M}{RT s_{fl}} \cdot \frac{1}{r}$$

Ebenso ist der Dampfdruck einer konvexen Oberfläche um diesen Betrag grösser (Ableitung bei Kapillardepression). Diese Beziehung kann man auch analog wie beim vorigen Beispiel durch eine thermodynamische Betrachtung erhalten. Wir fügen ein kleines Tröpfchen vom Radius r zu einer grossen Flüssigkeitsmenge auf zwei reversiblen Wegen und setzen die maximalen Arbeiten gleich

1. Weg: Wir betrachten ein Rohr, an dem ein grosser und ein kleiner Tropfen sitzt. Dann wird der kleine Tropfen in den grossen hineingesogen (durch die Oberflächenspannung) und kann Arbeit gegen den Stempel a leisten. Wenn eine Oberfläche von der Grösse dO verschwindet, so ist die dabei gewonnene maximale Arbeit dO .

2. Weg: Wir verdampfen von dem Tröpfchen dx Mol unter seinem Dampfdruck p , wobei die Oberfläche um dO abnimmt, dehnen den Dampf auf den Gleichgewichtsdruck p' aus und kondensieren zum grossen Fl-Menge. Die maximale Arbeit ist dabei:

$$dx R T + d x R T \ln \frac{p'}{p} = R x R T$$

Nach dem II. Hauptsatz ist also

$$dO = dx \cdot R T \ln \frac{p'}{p}$$

Nun ist $dO = 8$; ferner $dx = dV \cdot \frac{s_{fl}}{M} = 4 \cdot \frac{s_{fl}}{M}$

$$(37) \ln \frac{p'}{p} = \frac{2}{RTs_{fl}} \cdot \underline{\underline{11}}$$

§ 27. 3. Beispiel. Van der Waals'sche Theorie.

Die v.d.Waals'sche Gleichung sagt nichts über die Lage des Punktes a aus, bei dem die Verdampfung einsetzt. Man erhält seine Lage jedoch mit Hilfe des II. Hauptsatzes. Nach

diesem Satz ist die maximale Arbeit, die man erhält, wenn man die Flüssigkeit längs der Geraden $a-e-c$ oder längs der Kurve $a-b-c-d-e$ verdampft, dieselbe, also die Flächenstücke $I = II$, da die maximale Arbeit $p dv$ durch das Flächenstück zwischen der $p-v$ Kurve, der v -Absisse und den Ordinaten v_1 und v_2 gegeben ist. Man kann also aus der v.d.Waals'schen

Gleichung einer Dampfdruckformel ableiten.

§ 28. Anwendung des II. Hauptsatzes auf Nicht-Isotherme

Prozesse.

Bei konstanter Temperatur kann ein Kreisprozess keine Arbeit leisten, es ist also $A = 0$. Haben wir dagegen zwei Wärmereservoirre von den Temperaturen T_1 und T_2 , so ist es möglich, Wärme in Arbeit zu verwandeln, wobei allerdings eine Wärmemenge Q_1 dem Reservoir 1 entnommen und eine Wärmemenge Q_2 an das Reservoir 2 bei der Temperatur T_2 wieder abgegeben wird. Als Beispiel wollen wir einen solchen zuerst von Carnot ausgeführten Kreisprozess betrachten.

Der Carnot'sche Kreisprozess: wir betrachten zwei Wärmereservoirre von den Temperaturen T_1 und T_2 und führen unseren Kreisprozess mit einem KKKK in einem Kolben mit Stempel befindlichen idealen Gas aus. Das Gas können wir in Wärmeaustausch mit den beiden Reservoiren bringen oder auch durch wärmeundurchlässige Hullen abschliessen (adiabatischen Behandlung).

Das Gas habe zu erst die Temperatur T_2 und das Volumen v_1 . Wir komprimieren das Gas adiabatisch auf das Volumen v_2 wobei die Temperatur auf T_1 steigt. (Die dabei aufgewendete Arbeit A_1 dient zur Erwärmung des Gases). Dann bringen wir den Kolben in Wärmekontakt mit dem Reservoir T_1 und dehnen es jetzt isotherm auf das Volumen v_3 . Hierbei wird die Arbeit A_2 gewonnen

und die ihr äquivalente Wärmemenge Q_1 dem Reservoir T_1 entzogen. Jetzt entfernen wir das Gas aus dem Reservoir T_1 , schließen es adiabatisch ab und entspannen es adiabatisch, bis es wieder die Temperatur T_2 wieder erreicht hat. Hierbei dehnt es sich auf das Volumen v_4 aus und leistet die Arbeit A_3 , deren Energieäquivalent durch Abkühlung aus dem Wärmeinhalt des Gases entnommen wird. Jetzt bringen wir das Gas in Berührung mit dem Reservoir T_2 und komprimieren es auf das Volumen v_1 , wobei wir die Arbeit A_4 aufzenden müssen und eine entsprechende Wärmemenge Q_2'' an das Reservoir T_2 abgegeben wird. Jetzt haben wir den Ausgangszustand (v_1, T_2) wieder erreicht; eine Arbeit $-A_1 + A_2 + A_3 - A_4$ gewonnen; dem Reservoir T_1 die Wärmemenge Q_1 entzogen und die Wärmemenge Q_2 an das Reservoir T_2 abgegeben.

Wir berechnen jetzt die Arbeits- und Wärmemengen, wobei wir die gewonnenen positiv berechnen.

$$v_1 - v_2 : - A_1 = - p d v = - C v (T_1 - T_2) = - A_3$$

$$v_2 - v_3 : A_2 = R T \ln \frac{v_2}{v_3} ; Q_1 = R T_1 \ln \frac{v_3}{v_2}$$

$$v_3 - v_4 : A_3 = + p d v = + C v (T_1 - T_2)$$

$$v_4 - v_1 : - A_4 = R T_2 \cdot \ln \frac{v_4}{v_1} ; Q_2 = R T_2 \ln \frac{v_4}{v_1}$$

$$(38) \quad A = - A_1 + A_2 - A_4 = R T_1 \ln \frac{v_3}{v_2} - R T_2 \ln \frac{v_4}{v_1}$$

Nach der adiabatischen Zustandsgleichung (§13) ist

$$\left(\frac{v_2}{v_1}\right)^{K-1} = \left(\frac{v_3}{v_4}\right)^{K-1} = \frac{T_1}{T_2} \quad \text{oder} \quad \frac{v_4}{v_1} = \frac{v_3}{v_2}$$

$$\text{also} \quad A = R \ln \frac{v_3}{v_2} (T_1 - T_2)$$

$$\text{da ferner } Q_1 = R T_1 \ln \frac{v_3}{v_2}, \text{ so ist}$$

$$(39) \frac{A}{Q_1} = \frac{T_1 - T_2}{T_1}$$

Ferner ist nach dem ersten Hauptsatz

$$Q_1 = Q_2 + A, \text{ also auch}$$

$$(40) \frac{A}{Q_2} = \frac{T_1 - T_2}{T_2}$$

Unterscheiden sich die Temperaturen T_1 und T_2 nur um den kleinen Betrag T , so nenne wir die gewonnene Arbeit A und es ist

$$(41) \frac{A}{d_1} = \frac{T}{T}.$$

Im $p v$ Diagramm gibt die Fläche $a v_2 v_3 v_4 d$ die Summe der gewonnenen Arbeiten, die Fläche $a v_2 v_1 v_4 d$ die Summe der aufgewendeten Arbeiten, also die Flächen $v_1 v_2 v_3 v_4$ die Nutzarbeit des Kreisprozesses an.

§ 29. Der Carnot'sche Nutzeffekt.

Das Verhältnis der nutzbaren Arbeit A zu der dem Reservoir I entzogenen Wärmemenge Q_1 bezeichnet man als den Nutzeffekt des Prozesses $\frac{A}{Q_1} = \frac{T_1 - T_2}{T_1}$. Aus dem zweiten Hauptsatz folgt nun, dass jeder reversible Kreisprozess, der sich zwischen den Temperaturen T_1 und T_2 abspielt, den gleichen Nutzeffekt A/d_1 liefert. Wenn dies nämlich nicht der Fall wäre, wenn es also einen anderen Prozess mit dem grösseren Nutzeffekt A_1 gäbe, so könnte man den Prozess beim Uebergang von T_1 nach T_2 die Arbeit A' A leisten lassen und ihn dann auf dem ersten Weg von T_2 nach T_1 unter Aufwand der Arbeit A_1 zurückführen, wobei man den Anfangs-Zustand wieder erreichen und die Arbeit $A' - A^0$ gewinnen würde. Diese Maschine würde ein Perpetuum mobile II. Art ~~natür~~ darstellen. Es folgt also, dass jeder reversible Kreisprozess zwischen den Temperaturen T_1 und T_2 unabhängig von der benutzten Maschine mit dem Nutzeffekt

$$\frac{A}{Q_1} = \frac{T_1 - T_2}{T_1}$$

arbeitet.

Diese Tatsache kann man zur Definition der "thermodynamischen" Temperaturskala benutztten, die die von den speziellen Eigenschaften irgend eines Körpers völlig unabhängig ist. Wir denken uns zwei Wärmereservoir I und II von verschiedener Temperatur und führen zwischen ihnen einen reversiblen Kreisprozess aus. Messen wir die dem Reservoir I von höherer Temperatur entzogene Wärme Q_1 und die an das Reservoir II abgegebene Wärme Q_2 , so gilt

$$\frac{Q_1}{Q_2} = \frac{T_1}{T_2}$$

Damit ist das Verhältnis der Temperatur der beiden Reservoirs bestimmt. Setzt man nun noch die Differenz der Schmelz- und Siedetemperatur des Wassers gleich 100° , so erhält man die thermodynamische Temperaturskala, die wie die beim Carnot'schen Kreisprozess durchgeführte Rechnung zeigt, mit der Skala des idealen Gases übereinstimmt.

§ 30. Die Energie.

Bezeichnen wir die vom System geleisteten Arbeiten und Wärmen mit +, die aufgewendeten mit -, so gilt

$$(42) \quad \frac{Q_1}{T_2} + \frac{Q_2}{T_1} = 0$$

Spaltet sich der Kreisprozess zwischen vielen Reservoiren ab, so gilt (42a) $\frac{Q}{T} = 0$; oder es ist, wenn die Temperaturdifferenz unendlich klein werden das Integral über den Kreisprozess

$$(43) \quad \frac{Q}{T} = 0$$

Den Ausdruck $\frac{Q}{T} = S_2 - S_1$

nennt man die Entropie-Differenz zwischen dem Zustand 1 und

2, sie ist ebenso wie die Energiedifferenz zwischen zwei Zuständen unabhängig vom Weg.

§ 31. Irreversible Prozesse.

Viele in der Natur vorkommende Prozesse sind irreversible, d.h. nicht ohne ~~dauernde~~ dauernde Kompensation rückgängig zu machen, z.B. die Verwandlung von Elektro-Energie in Wärme durch Widerstände (Joule'sche #) oder die Wärmeleitung von höheren zu tieferen Temperaturen oder die Ausdehnung eines Gases im Vakuum (ohne äussere Arbeit, Gay-Lussac'scher Versuch). Hat sich ein Gas auf diese Weise ausgedehnt, so kann man es nur auf sein ursprüngliches Volumen zurückführen, indem eine Arbeit A leistet und dadurch eine äquivalente Wärmemenge A erzeugt, die nach dem zweiten Hauptsatz jedoch nicht ohne Kompensationen wieder vollständig in die Arbeit A zurückverwandelt werden kann. Man kann daher den II. Hauptsatz auch so ausdrücken, dass es unmöglich ist, ein ohne äussere ~~Arbeit~~ Arbeitsleistung von Volumen V_1 auf V_2 ausgedehntes Gas ohne Kompensationen wieder auf das Volumen V_1 zu bringen (bezo. eine anderen irreversiblen Vorgang rückgängig zu machen). Die molekular-theoretische Deutung zeigt, dass irreversible Vorgänge von einem geordneten (unwahrscheinlicheren) Zustand zu einem ungeordneten (wahrscheinlicheren) führen. Betrachten wir 2 gleiche Volumina V_1 und V_2 , die durch ein Loch verbunden sind, und ein Gasmolekül, dass sich zuerst in V_1 befindet, so wird es, wenn man lange genug wartet, die Hälfte der betrachteten Zeit im Volumen V_1 , die andere Hälfte in V_2 sein.

Ebenso, wenn es zuerst in V_2 wäre. Haben wir viele Moleküle in V_1 , so wird nach einziger Zeit die Hälfte in V_1 und die

andere in V_2 sein und der Anfangszustand, wo alle Moleküle in V_1 und wird sich von selbst nur mit unendlich kleiner Wahrscheinlichkeit wieder einstellen. Die Ausströmung eines Gases ohne Arbeitsleistung ist somit ein Vorgang, der zu einer "wahrscheinlicheren" Verteilung des Moleküls führt.

§ 32. Anwendung des II. Hauptsatzes auf den Verdampfungsvor-
gang; Berechnung der Abhängigkeit des Dampfdruckes von der
der Temperatur (Clausius-Clapeyron'sche Gleichung).

Wir führen folgenden Kreisprozess: Wir verdampfen 1 Mol Flüssigkeit bei der Temperatur $T + dT$ unter dem Sättigungsdruck $p + Ap(1-2)$. Dann expandieren wir den Dampf adiabatisch bis zur Temperatur T , wobei der Druck auf p' ($< p$) sinkt (2-3). Jetzt komprimieren (bezw. expandieren) wir den Dampf isotherm bis zum Sättigungsdruck p (3-4). Nun wird der Dampf bei der Temperatur T unter seinem Sättigungsdruck p kondensiert (4-5), dann die Flüssigkeit durch adiabatische Kompression auf die Temperatur $T + dT$ und den Druck $(p'' = p + dp)$ gebracht (5-6) und schliesslich isotherm entspannt (oder komprimiert) bis zum Druck $p + dp$ (6-1). Damit ist der Anfangszustand wieder erreicht. Die bei diesem Vorgang geleistete Arbeit wird durch den Flächeninhalt des $p v$ -Diagrammes gegeben. Nimmt man p unendlich klein, so werden die schraffierten Zacken unendlich klein von 2. Ordnung, da nicht nur ihre Höhe, sondern auch ihre Länge unendlich klein wird. (Deutlich zu sehen an nebenstehender Figur). Die vom Kreisprozess geleistete Arbeit

ist somit

$A = p \cdot (V_g - V_{fl})$ und nach dem
II. Hauptsatz ist

$$\frac{A}{Q} = -\frac{T}{T} = p \cdot \frac{(V_g - V_{fl})}{T} \text{ oder umgeformt}$$

$$(44) \quad -\frac{p}{T} \cdot \frac{dp}{dT} = \frac{(V_g - V_{fl})}{(V_g - V_{fl})} T.$$

Wir können jetzt $\frac{p}{T} = \frac{p}{dT}$ setzen, da p die Änderung von p angibt, wenn sich T um dT ändert und somit der Differentialquotient von p nach T ist. Für setzen wir die Verdampfungswärme ein.

Wenn der Dampfdruck klein ist, so können wir den Dampf als ideales Gas betrachten und V_{fl} neben V_g vernachlässigen. Setzen wir dann $V_g = \frac{RT}{p}$, so geht die Clausius'sche Gleichung über in

$$-\frac{dp}{dT} = \frac{p}{RT^2}$$

$$(45) \quad p \cdot \frac{dp}{dT} = -\frac{d \ln p}{dT} = -\frac{R}{RT^2}$$

Für einen Temperatur-Bereich, in dem als konstant angesetzen werden kann, kann man die Gleichung integrieren und erhält

$$(46a) \quad \ln \frac{p_2}{p_1} = -\frac{R}{T} \left(\frac{1}{T_2} - \frac{1}{T_1} \right) \text{ oder unbestimmt}$$

geschrieben

$$(46b) \quad \ln p = \frac{R}{T} + \text{const}, \text{ bzw.}$$

$$(46c) \quad p = \text{Const} \cdot e^{-\frac{R}{T}}$$

Für die Integration über einen grösseren Temperatur-Bereich muss man die Temperaturveränderlichkeit von berücksichtigen, die durch die Gleichung (§)

$$\frac{dp}{dT} = C_p - C_{fl}$$

ausgedrückt wird.

§ 33. Molekulartheoretische Deutung.

Nach der Molekulartheorie kann nur derjenige Bruchteil der Moleküle aus der Flüssigkeit in den Dampfraum übergehen, deren kinetische Energie grösser als die Verdampfungswärme pro Molekül ist. Nach dem Maxwell'schen Verteilungsgesetz ist aber dieser Bruchteil proportional

$$e^{-\frac{RT}{2}}$$

Hierdurch erklärt sich der exponentielle Anstieg des Dampfdrucks mit der Temperatur. Trotzdem ist die Geschwindigkeitsverteilung der verdampften Moleküle diejenige, die der Temperatur der Flüssigkeit entspricht, denn es können zwar nur die ~~zähnden~~ schnellsten aus der Flüssigkeit heraus, aber alle verdampften Moleküle verlieren beim Durchgang durch die Flüssigkeitsoberfläche den Energiebetrag ($N = \text{Zahl der Moleküle in Mol}$) sodass ihre Geschwindigkeit im Dampf wieder die normale ist.

§ 34. Trouton'sche Regel.

Als Erfahrungstatsache hat man festgestellt, dass zwischen der Verdampfungswärme und dem Siedepunkt ungefähr folgender Zusammenhang besteht:

$$(47a) \quad \frac{1}{T_s} \quad 22$$

Nernst hat gefunden dass folgende Formel etwas besser mit den experimentellen Daten übereinstimmt.

$$(47b) \quad \frac{1}{T_s} = 9,5 + \log T_s - 0,007 T_s$$

§ 35. Verdampfungsgeschwindigkeit.

Im stationären Gleichgewichtszustand zwischen Flüssigkeit und Dampf verdampfen ebenso viele Moleküle, wie aus dem Dampf wieder kondensiert werden. Durch Versuche von Knudsen ist festgestellt worden, dass eine reine Flüssigkeitsoberfläche

alle auftreffenden Moleküle kondensiert. Da man die Zahl der auftreffenden Moleküle aus dem Sättigungsdruck berechnen kann, so kann man auch die maximale Verdampfungsgeschwindigkeit ermitteln. Sie ist auch experimentell gemessen und in Übereinstimmung mit dem theoretischen Wert gefunden, allerdings nur bei sehr ~~schwachem~~ ^{geringen} Oberflächen-Siedeverzug. Wie bei den Betrachtungen über Oberflächenspannung festgestellt, haben kleine Bläschen einen niedrigeren Dampfdruck als eine kompakte Flüssigkeitsmenge der gleichen Temperatur und somit auch einen höheren Siedepunkt. Bildet sich daher beim normalen Siedepunkt in einer Flüssigkeit ein kleines Bläschen, so hat es einen niedrigeren Dampfdruck und verschwindet wieder. Erst wenn die Temperatur deutlich über den Siedepunkt gestiegen ist, kann sich das Bläschen vergrössern und das Sieden eintreten.

§ 36. Umwandlungsdruck.

Bei dem zur Ableitung der Clausius'schen Gleichung benutzten Kreisprozess sind keine speziellen Voraussetzungen, die sich auf den Verdampfungsvorgang beziehen, benutzt worden. Man kann ihn daher auf jede Umwandlung zweier Phasen, die miteinander im Gleichgewicht stehen, anwenden, und auch die Clausius'sche Gleichung (44) gilt daher für jede solche Umwandlung in der Form

$$(44a) \quad \frac{dp}{dT} = \frac{Q}{T(v_2 - v_1)}$$

wobei der Index 1 die Phase vor, der Index 2 die Phase nach der Umwandlung und Q die Umwandlungswärme bezeichnet.

Sublimation: Hier gilt

$$(44b) \quad \frac{dp}{dT} = \frac{-}{T(V_g - V_{fest})} = \frac{-}{T(V_g - V_{fest})}$$

Die Sublimationsdruck-Kurve ist also steiler als die Dampfdruck-Kurve, ist.

Schmelzen Für den Schmelzvorgang lautet die Clausius'sche Gleichung

$$(44c) \quad \frac{dp}{dT} = \frac{T(V_{fl} - V_{fest})}{T(V_{fl} - V_{fest})}$$

Gewöhnlich benutzt man die Abhängigkeit des Schmelzpunktes T vom Druck

$$(44d) \quad \frac{dT}{dp} = \frac{T(V_{fl} - V_{fest})}{T(V_{fl} - V_{fest})}$$

Der Schmelzpunkt kann durch Druck entweder erhöht oder erniedrigt werden, da $V_{fl} > V_{fest}$ sein kann. (Δ ist immer positiv) Bei normaler Flüssigkeit ist $V_{fl} > V_{fest}$, also steigt der Schmelzpunkt bei Druckerhöhung. Umgekehrt beim Wasser, wo $V_{fest} > V_{fl}$ und demnach der Schmelzpunkt durch Druck erniedrigt ~~xx~~ wird.

§ 37. Unterkühlung.

Da die Sublimationswärme grösser ist als die Verdampfungswärme der Flüssigkeit, so ist die Dampfdruckkurve des festen Stoffes steiler als die der Flüssigkeit.

Da beim Schmelzpunkt die Dampfdrücke gleich sind, ist bei Temperaturen unterhalb des Schmelzpunktes der Dampfdruck der Flüssigkeit, die flüssige Phase also instabil, (Fig.). Trotzdem kristallisiert die Flüssigkeit unter Umständen nicht sofort unterhalb des Schmelzpunktes, da

der Dampfdruck der sich zuerst bildenden kleinen Keime wegen der Oberflächenspannung höher ist als der der kompakten festen Phase, und somit die ~~die~~ kleinen Keime im Gleichgewicht mit einer grossen flüssigen Phase einen niedrigeren Schmelzpunkt haben. (Vgl. Fig.)

§ 38. Mehrere feste Phasen.

Die Clausius'sche Gleichung gilt auch für allotrope Umwandlungen, wenn mehrere feste Phasen vorhanden sind. (Beispiel rhom. und monokl. Schwefel, Fig. Die Gleichgewichtskurven sind bei mehreren festen Phasen häufig sehr kompliziert.

II. Mehrstoffsysteme.

§ 39. Gasgemische. 1) Ideale Gase.

In einem Gemisch von mehreren idealen Gasen beeinflussen sich die Moleküle gegenseitig nicht, daher übt jedes Gas den Druck aus, den es ausüben würde, wenn es allein vorhanden wäre. Es ist also der Gesamtdruck P gleich der Summe des Partialdruckes der Komponenten-

$$(48) \quad P = p_1 + p_2 + \dots \quad (\text{Dalton's Gesetz})$$

Bei nicht-idealen Gasen kann man die v.d. Waals'sche Theorie anwenden, die für Gasgemische in sehr eingehender Weise ausgebaut worden ist.

Semipermeable Wände. Es gibt Wände, die nur für ein bestimmtes Gas durchlässig, für andere aber undurchlässig sind. (Beispiel: Palladium und Platin sind durchlässig für H_2 , Gummi für CO_2). Der Mechanismus dieser halbdurchlässigen Wände beruht meist darauf, dass das durchtretende Gas in der Wand

löslich ist. Druck-Gleichgewicht herrscht nur dann an einer semipermeablen Wand, wenn der Partialdruck des "durchlässigen" Gases auf beiden Seiten derselbe ist, auch übt das "durchlässige" Gas auf die semipermeable Membran keine Druck aus. Mit Hilfe solcher Membranen können wir Gase auf reversibelem Wege mischen und wieder trennen. Wir denken uns einen Zylinder mit zwei semipermeablen Stempeln, der im Teil I mit O_2 , im Teil II mit CO_2 gefüllt sei. Die semipermeable Wand 1 sei nur für O_2 , die 2 nur für CO_2 durchlässig. Beim Mischen der Gase gewinnen wir Arbeit und zwar schiebt der O_2 den Stempel 2 zurück und leistet dabei pro Mol die Arbeit $A = R T \ln \frac{v_1 + v_2}{v_1}$.

Ebenso leistet die CO_2 die Arbeit beim Zurückschieben $A = R T \cdot \ln \frac{v_1 + v_2}{v_2}$, so dass die beim Mischen gewonnene Arbeit ist:

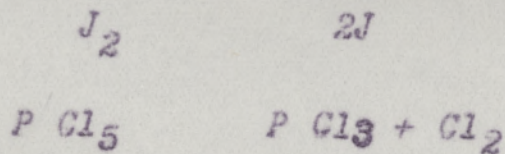
$$(49) \quad A = R T \ln \frac{v_1 + v_2}{v_1} + R T \ln \frac{v_1 + v_2}{v_2}$$

An allen semipermeablen Membranen muss unabhängig vom Mechanismus des Partialdruckes des durchlässigen Gases auf beiden Seiten derselbe sein, denn sonst könnte man mit ihrer Hilfe ein Perpetuum mobile II Art bauen. Wir können zwei Gase auch ohne Arbeitsgewinn mischen bzw. ohne Arbeitsaufwand trennen wenn bei der Mischung bzw. Trennung jedes Gas sein ursprüngliches Volumen beibehält. Die Membran 1 sei durchlässig für CO_2 , 2 für O_2 . Dann können wir den Stempel hineinschieben ohne Arbeit zu leisten. Sind die beiden Teile des Apparates jedoch mit dasselben Gas gefüllt, so muss beim Hineinschieben Arbeit geleistet werden. Diese Erscheinung heißt das Gibbs'sche Paradoxon und bedeutet, dass ein stetiger Übergang zwischen "chemisch gleich" und "ungleich" vorhanden ist. Wir wollen dabei annehmen, dass

es für jedes auch um etwas verschiedene Gaspaar semipermeable Wände gibt, thermodynamisch bedeutet diese Annahme nur, dass es möglich ist die Gase auf irgend eine reversibele Weise voneinander zu trennen.

§ 40. Chemische Reaktionen.

Die meisten chemischen Reaktionen sind unkehrbar und gehören bis zu einem gewissen Gleichgewichtszustand auf, einerlei von welcher Seite man ausgeht, z.B.



Für derartige chemische Gleichgewichte gilt das Hassenwirkungsgesetz (HWS) $A + B + \dots \rightleftharpoons C + D + \dots$

$$(50) \quad \frac{A}{C} : \frac{B}{D} = K$$

wobei die Konstante nur von der Temperatur abhängig ist und die eckigen Klammern die Konzentrationen bzw. die Partialdrücke der Komponenten bedeuten.

Zur Ableitung nimmt man gewöhnlich an, dass die Reaktionsgeschwindigkeit in jeder Richtung dem Produkt der Konzentrationen der reagierenden Bestandteile proportional ist, also etwa die Zufallsgeschwindigkeit der $P \text{ Cl}_5$ der Konzentration der $P \text{ Cl}_5$ Molekül und der Bildungsgeschwindigkeit aus $P \text{ Cl}_3$ und Cl_2 dem Produkt $P \text{ Cl}_3 \cdot P \text{ Cl}_2$. Da im Gleichgewicht die beiden Geschwindigkeiten gleich sein müssen, ist

$$K_1 = P \text{ Cl}_5 = K_2 \cdot P \text{ Cl}_3 \cdot P \text{ Cl}_2 \quad \text{oder}$$

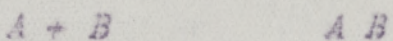
$$\frac{P \text{ Cl}_5}{\text{Cl}_2 \cdot P \text{ Cl}_3} = \frac{K_1}{K_2} = K \quad \text{oder allgemein}$$

$$\frac{A}{C} : \frac{B}{D} : \dots = K$$

Diese kinetische Ableitung ist aber sicher falsch, da z.B. der Zufall eines ~~Makromolekùls~~ PCl_5 Molekùls dann erfolgt, wenn das Molekùl durch Stösse die nötige Energie erhalten hat. Dieser Zeitpunkt ist aber nicht von der Konzentration der PCl_5 , sondern auch von der der anderen Moleküle abhängig. Die kinetische Ableitung des MWG ist daher höchstens als mnemotechnisches Hilfsmittel brauchbar; die strenge Ableitung erfolgt auf thermodynamischen Wege.

§ 41. Thermodynamische Ableitung des MWG.

Zur thermodynamischen Ableitung des MWG wird die Aussage des zweiten Hauptsatzes benutzt, dass die bei einem reversiblen Prozess auf verschiedenen Wegen zu gewinnende Arbeit dieselbe sein muss. Wir werden also die Reaktion



auf zwei reversiblen Wegen sich abspielen lassen und die dabei zu gewinnenden Arbeiten berechnen und gleichsetzen. Die Möglichkeit einer chemischen Reaktion reversibel zu laten, gibt der "Gleichgewichtskasten" (van't Hoff); wir

denken uns einen Kasten mit drei angesetzten Zylindern, in welchen sich die Reaktionsprodukte befinden. Die Wände zwischen dem Kasten und den einzelnen Zylindern seien semipermeabel, und zwar so, und zwar so, dass die an den Zylinder A grenzende nur für den Stoff A durchlässig ist u.s.u. Im Kasten selbst seien die Reaktionsprodukte A, B und A · D im Gleichgewicht mit den Gleichgewichtspartialdrücken p_A und p_{AB} eintritt, denken wir uns die Reaktionsgeschwindigkeit sehr klein und im Gleichgewichtskasten durch Katalysatoren erhöht.

Um jetzt ein Mol A · B vom Druck p_{AB} (Gleichgewichtsdruck) in ein Mol B von den Gleichgewichtsdrücken p_A bzw. p_B zu

verwandeln, drücken wir den Stempel A B hinein, bis ⁱ einem Mol in den Kasten eingetreten ist und ziehen gleichmässig im entsprechenden Tempo die Stempel A und B heraus bis je 1 Mol entfernt ist. Dadurch wird das Gleichgewicht im Kasten nicht geändert und die Drücke p_A , p_B und p_{AB} bleiben konstant. Die Arbeit, die wir dabei gewinnen, ist

für das Hineinbringen eines Mols A B	- R T
" " Hinausziehen " " A	+ R T
" " " " B	+ R T
<hr/>	<hr/>
$A = + R T$	für A B A + B

Als zweiten Weg benutzen wir einen anderen Gleichgewichtskasten p'_{AB} , p'_A und p'_B . Um wieder ein Mol A B vom Druck p in je ein Mol A und B von den Drücken p_A und p_B zu verwandeln und dabei diesen Gleichgewichtskasten zu benutzen, verfahren wir folgendermassen:

- 1) Wir bringen ein Mol AB vom Druck p_{AB} auf p'_{AB} ; Arbeit RT $\ln \frac{p_{AB}}{p'^{AB}}$
- 2) Wir bringen 1 Mol AB vom Druck p'_{AB} in den Gleichgewichtskasten und entnehmen dafür je 1 Mol A und B von den Drücken p'_A und p'_B Arbeit R T
- 3) Wir bringen 1 Mol A vom Druck p'_A auf p_A Arbeit RT $\ln \frac{p'_A}{p_A}$
- 4) Wir bringen 1 Mol B vom Druck p'_B auf p_B Arbeit RT $\ln \frac{p'_B}{p_B}$

Da die Gesamtarbeiten in beiden Fällen dieselben sind, ist

$$R T + R T \ln \frac{p_{AB}}{p'^{AB}} + R T \ln \frac{p'_A}{p_A} + R T \ln \frac{p'_B}{p_B}, \text{ oder}$$

$$(50) \quad \frac{p_A \cdot p_B}{p_{AB}} = \frac{p'_A \cdot p'_B}{p'^{AB}} = \text{konst.}$$

da ja die Drücke p_A u.s.w. und p'_A u.s.w. beliebig gewählt waren.

Lautet die Reaktionsgleichung:

$n A + m B \rightarrow AB$, so ist die
bei der Druckänderung zu gewinnende Arbeit $n R T \ln \frac{P_A}{P'_A}$ u.s.w.

Daher lautet die Gleichung des MEG, da n vor vor dem \ln auftritt:

$$(50a) \quad \frac{P_A^n \cdot P_B^m}{p_{AB}} = K_p$$

§ 42. Maximale Arbeit chemischer Reaktionen.

Die maximale Arbeit, die eine chemische Reaktion leisten kann, ist abhängig von den Ausgangs- und Enddrücken. Man bezeichnet jedoch als "maximale Arbeit" einer Reaktion diejenige bei der die Ausgangs- und Endprodukte den Druck 1 haben.

Dann ist die maximale Arbeit gegeben durch:

$$A_p = R T \cdot \ln \frac{1}{P_{AB}} + R T \ln \frac{P_A}{1} + R T \ln \frac{P_B}{1} \quad \text{oder}$$

$$\text{SK (51)} \quad A_p = R T \ln K_p + R T .$$

Statt mit den Partialdrücken P_A , P_B , P_{AB} , kann man auch mit den Konzentrationen C_A , C_B , C_{AB} rechnen und erhält, wenn man $p = R T c$ setzt

$$(50b) \quad \frac{C_A - C_B}{C_{AB}} = K_c = \frac{K_p}{RT} \quad \text{allgemein } K_c = \frac{K_p}{(RT)}$$

(Molzahl der Endprodukte minus Molzahl der Ausgangsstoffe)
Bezeichnet man mit A_c die Arbeit, die man gewinnt, wenn die Ausgangs- und Endprodukte die Konzentration 1 haben, so gilt:

$$(51a) \quad A_c = R T \ln K_c + R T$$

§ 43. Temperaturabhängigkeit der Gleichgewichtskonstanten.

Zur Bestimmung der Temperaturabhängigkeit von K_c führen wir folgenden Kreisprozess aus. Wir dissoziieren bei der

$T + dT$ ein Mol AB. A + B bringen dann A und B durch adiabatische Dilatation auf die Temperatur T , dann durch isotherme Kompression wieder auf das ursprüngliche Volumen v_2 , das wir bei der Temperatur $T + dT$ hatten, dann vereinigen wir bei der Temperatur T A und B ^{zu} AB und bringen in der eben beschriebenen Weise AB wieder auf die Temperatur $T + dT$.

Der Gesamtarbeitsgewinn bei diesem Kreisprozess ist

$$A = A + dA + A_1 - A - A_2$$

wobei unter A die maximale Arbeit der Reaktion bei der Temperatur T ; unter $A + dA$ dieselbe bei $T + dT$ zu verstehen ist, wenn Ausgangs- und Endprodukte die Konzentration 1 haben und A_1 und A_2 , die Arbeiten bedeuten, die bei der Erwärmung bzw. Abkühlung auftreten. Aus dem p-v-Diagramm ergibt sich nun, dass diese Beträge von 2. Ordnung verschwinden, wenn dT unendlich klein von 1. Ordnung ist. vorausgesetzt, dass die isotherme Kompression wieder bis zum ursprünglichen Volumen v_1 bzw. v_2 , nicht aber zum Druck p erfolgt. (Im letzteren Fall bleibt ein Arbeitsbetrag $dpdv_2$ bzw. $dpdv_1$ übrig).

Unter dieser Voraussetzung ist also A nur von T abhängig, also

$$(52) \quad -\frac{A}{T} = \frac{dA}{dT} \quad \text{und nach dem zweiten Hauptsatz}$$

$$(53) \quad -\frac{A}{T} = \left(-\frac{dA}{dT} \right)_{v_1 v_2} = \frac{A - U}{T}$$

wenn man nach dem ersten Hauptsatz

$$A - U = Q$$

setzt. Das Q ist dabei nicht die Wärmeströmung der Reaktion sondern die bei der Temperatur $T + dT$ vom System aufgenommen bzw. bei T an das Wärmebad wieder abgegebene Wärmemenge.

Durch Umformung erhält man

$$(53a) \quad T \left(\frac{dA}{dT} \right)_{v_1 v_2} = A - U$$

Nun ist

$$(51a) \quad A = R T \ln K_C + R T, \text{ also}$$

$$T \cdot \frac{dA}{dT} = T \cdot (R \ln K_C + R \frac{d}{dT} \ln K_C + R); \text{ also}$$

$$(54) \quad \frac{d \ln K_C}{dT} = \frac{-U}{RT^2} = \frac{Q_D}{RT^2} \quad (\text{Reaktionsisochore van't Hoff})$$

Ist die Anfangskonzentration nicht 1, sondern C_0 , so fällt bei der Differentiation von A das entsprechende Glied fort, da C_0 nach Voraussetzung konstant ist.

In Gleichung (54) ist U die Abnahme des Energie-Inhalts des Systems, wenn wir 1 Mol A B dissoziieren lassen. Erfolgt dieser Vorgang bei konstantem Volumen, z. B. in einer geschlossenen Bombe, so ist $A = 0$ und $-U = Q_D$, wobei Q_D die Dissoziationswärme (bei konstantem Volumen) ist.

Nach Seite (50b) ist

$$(50b) \quad K_P = (R T)^{\nu} K_C, \text{ also}$$

$$\ln K_P = \dots \cdot \ln R T + \ln K_C \text{ also}$$

$$(55) \quad \frac{d \ln K_P}{dT} = \frac{-U}{RT^2} + \frac{1}{T} = \frac{-U - R T}{RT^2} = \frac{Q_D}{RT^2};$$

$$QU = Q_D + R T$$

§ 44. Integration der Reaktionsisochore.

Durch Integration der Reaktionsisochore erhält man

$$(56) \quad \ln K_C = -\frac{Q_D}{RT} + \text{Const} \quad \text{oder}$$

$$(56a) \quad K_C = C \cdot e^{-\frac{Q_D}{RT}} \quad (\text{für einen Bereich, in dem } Q \text{ unabhängig von } T \text{ angenommen werden kann.})$$

Die Molekulartheorie ergibt hier ganz analog wie bei der Theorie des Dampfdruckes, dass $e^{-\frac{Q_D}{RT}}$ den Bruchteil der Moleküle darstellt, der die zur Dissoziation nötige Energie durch Stöße der anderen Moleküle erhalten hat. Dies ist ei-

Folgerung aus dem Maxwell'schen Verteilungsgesetz.

Für die Integration über einen grösseren Bereich muss man die Aenderung von Q mit der Temperatur berücksichtigen, die gegeben wird durch

$$\frac{dQ}{dT} = C_p \quad \text{und man erhält}$$

$$(56b) \quad \ln K_C = -\frac{Q}{RT} + \frac{C_p}{R} \ln T + \text{Const.}$$

Die Integrationskonstante ist aus der Thermodynamik nicht bestimmbar, dagegen gelingt ihre Rechnung mit Hilfe der Molekultheorie. Für mehrere Fälle z.B. für die Joddissoziation ist die Berechnung durchgeführt und mit der Erfahrung verglichen werden. Es ergibt sich, dass die Konstante nur abhängt von den Massen der Atome und Moleküle, dem Trägheitsmoment der Moleküle und von der Schwingungsfrequenz der Atome im Molekül.

Nach Nernst (nernst'sches Wärmetheorem) setzt sich die Integrationskonstante der Reaktionsisochore additiv zusammen aus den Integrationskonstanten der Dampfdruckformeln der einzelnen Reaktionsteilnehmer, die man z.B. nach Nernst als "Chemische Konstanten" bezeichnet. Diese "chemischen Konstanten" können aus den Dampfdruckmessungen entnommen werden, sie sind jedoch auch mit Hilfe der Molekultheorie berechenbar, unter Anwendung der Quantentheorie.

§45. Reaktionsgeschwindigkeiten.

Die Messung der Reaktionsgeschwindigkeit ist bei reinen Gasreaktionen sehr schwierig, da die meisten "Gasreaktionen" sich in Wirklichkeit an Grenzflächen (z.B. den Gefäßwandungen) und wirklich homogen verlaufende Gasreaktionen nur in Form von Explosionen bekannt sind. Hat man ein explosives Gemisch und entzündet es an einem Punkt, so wird die Reaktion wärme eine Temperatursteigerung eintreten und die Nachbarzone

ebenfalls zünden. Die wirkliche Ausbreitung der Explosion ist jedoch viel rascher als nach diesem Mechanismus möglich wäre. Das hat folgende Ursache. Durch die plötzliche Temperatursteigerung wird das Gas adiabatisch ausgedehnt und komprimiert die Nachbarzonen adiabatisch, wodurch sie über den Zündpunkt erwärmt werden, dieser Impuls pflanzt sich als Welle mit Schallgeschwindigkeit fort und verursacht die grosse Schnelligkeit der Fortpflanzung einer Explosion.

Die meisten technischen Gasreaktionen werden durch Katalysatoren beeinflusst und vollziehen sich dann nicht mehr im freien Gasraum, sondern an der Oberfläche des Katalysators. Die Vorgänge bei der Katalyse sind noch nicht, ⁱⁿ⁾ allen Fällen völlig geklärt. Vielfach handelt es sich um Zwischenreaktionen, z.B. Sauerstoffübertragung durch Stickoxyd beim Bleikammerprozess, häufig aber auch um Adsorption an Grenzflächen, die zu sehr grossen Konzentrationen in der Adsorptionsschicht führen kann und dadurch die Reaktion einleitet.

§ 46. Chemische Affinität.

Die maximale Arbeit kann als Mass für die chemische Affinität benutzt werden. Bei Gasreaktionen ist leicht einzusehen, dass die Gleichgewichtskonstante als Mass für die Affinität benutzt werden kann. Je geringer die Dissociation einer Verbindung ist, desto grösser ist die Affinität der Komponenten und auch die Gleichgewichtskonstante. Um jedoch ein Affinitätsmass zu besitzen, das auch für den festen Zustand benutzt werden kann, bei dem die Gleichgewichtskonstante als Mass nicht brauchbar ist, nimmt man die maximale Arbeit, die ja bei Gasreaktionen der Gleichgewichtskonstanten parallel geht.

Früher benutzte man als Mass für die chemische Affinität die Wärmeströmung der Reaktion (Berthlot'sches Prinzip).

Es ist aber ohne weiteres einzusehen, dass dieses Prinzip nicht richtig sein kann, denn sonst wären endotherme Reaktionen, die freiwillig erfolgen, unmöglich. Nun zeigt ~~aber~~ die Erfahrung, dass bei tiefen Temperaturen (Zimmertemperatur und Tiefer) fast nur exotherme Reaktionen freiwillig verlaufen, während die endothermen Reaktionen erst bei höheren Temperaturen zahlreicher werden. Aus diesen Erfahrungstatsachen, hat nun Nernst den Schluss gezogen, dass das Berthelot'sche Prinzip um so richtiger wird, je tiefer die Temperatur ist, dass also bei sehr tiefen Temperaturen, die aber ~~nur~~ noch endlich über dem absoluten Nullpunkt liegen

$$A = U$$

wird. Nun ist aber nach dem zweiten Hauptsatz (53)

$$A - U = T \cdot \frac{dA}{dT}$$

und es muss daher nach diesem Theorem

$$(57) \quad \lim_{T \rightarrow 0} \frac{dA}{dT} = 0$$

sein. Dies ist der Inhalt des sogenannten Nernst'schen Wärmesatzes oder dritten Hauptsatzes der Thermodynamik.

Flüssigkeitsgemische.

§ 47. Gegenseitige Löslichkeit von Flüssigkeiten.

Flüssigkeiten können ineinander entweder völlig unlöslich sein (Beispiel: Quecksilber in Wasser) oder begrenzt löslich (Aether-Wasser) oder schliesslich in jedem Verhältnis mischbar (Alkohol-Wasser). Die meisten physikalischen und chemischen Eigenschaften von Flüssigkeitsgemischen setzen sich additiv aus denen der Komponenten zusammen.

Bei den begrenzt ineinander löslichen Flüssigkeiten nimmt in der Regel die gegenseitige Löslichkeit mit steigende

Temperatur zu, , sodass die Zusammensetzung der bd den Phasen (die ja beide gesättigte Lösungen der einen in der anderen Komponente darstellen) immer ähnlicher wird. sodass sie schliesslich bei der "kritischen Lösungstemperatur" identisch werden und die Phasengrenzfläche verschwindet. Beispiel: Schwefelkohlenstoff-Methylalkohol. Die kritische Lösungstemperatur findet man mit Hilfe der Regel von Gailletet und Mathia., nach welcher die Mittelwerte der Zusammensetzungen der beiden gesättigten Lösungen bei verschiedenen Temperaturen auf einer geraden Linie liegen. Aus dem Diagramm ergibt sich z.B. dass bei 10° zwei Phasen bestehen, von denen die eine aus 1,5 % CH_3OH und 98,5 % CS_2 , die anderen aus 55 % CH_3OH und 45 % CS_2 besteht. Die kritische Lösungstemperatur liegt bei 40° , hier werden beide Phasen identisch.

Es gibt jedoch auch Flüssigkeitsgemische, deren gegenseitige Löslichkeit mit fallender Temperatur zunimmt und die daher eine untere kritische Lösungstemperatur besitzen.

Als Beispiel sei das Gemisch Wasser-Diäthylamin erwähnt (Fig.)

Schliesslich seien noch Gemische erwähnt, die wie z.B. Nikotin und Wasser, sowohl eine obere als auch eine untere kritische Lösungstemperatur besitzen und dementsprechend eine geschlossene Lösungskurve haben. (Fig.)

§ 48. Dampfdruck von Flüssigkeitsgemischen.

Flüssigkeiten, die ineinander völlig unlöslich sind, beeinflussen ihren gegenseitigen Dampfdruck nicht; der Gesamtdampfdruck eines solchen Gemisches ist also gleich der Summe der Partialdrücke der reinen Komponenten (Dalton'sches Gesetz).

Sind die Stoffe ineinander löslich, so werden die beiden Partialdampfdrücke erniedrigt, also der Gesamtdampfdruck des Gemisches kleiner als im ersten Falle. (Diese Erniedrigung des Dampfdruckes folgt aus der freiwilligen Vermischung von Flüssigkeiten, die auch dadurch zustande kommen kann, dass im Vakuum die beiden kleinen Komponenten mit dem höheren Dampfdruck zum Gemisch hinüber destillieren) Wie nun die Dampfdruckkurve und die Zusammensetzung des Dampfes von der Konzentration abhängt, kann man im einzelnen thermodynamisch nicht bestimmen, man kann aber angeben, dass in den Fällen beschränkter Löslichkeit die beiden gegenseitig gesättigten Phasen einen Dampf aussenden, der in Bezug auf Zusammensetzung und Gesamtdruck gleich ist. Sonst wäre ein Nebeneinanderbestehen dieser beiden Phasen im Vacuum nicht möglich. (Gesetz von Konowalow).

Die Dampfdruckkurven von Gemischen A + B werden in der Regel als Funktion des Molenbruches ($\frac{A}{A+B}$) dargestellt, der zwischen 0 (reines B) und 1 (reines A) liegen kann. Unter diesen Dampfdruckkurven kann man drei Typen unterscheiden.

Wie schon bemerkt, ist der Partialdampfdruck jeder Komponente kleiner als im reinen Zustand. Daher ist der Gesamtdampfdruck des Gemisches stets kleiner als die Summe der Partialdrücke der beiden Komponenten. Es sind jedoch noch drei Fälle zu unterscheiden: 1) Der Dampfdruck des Gemisches ist stets kleiner als die der reinen Komponente B, aber größer als die der Komponente A (Kurve I). 2) Der Dampfdruck des Gemisches ist bei gewissen Zusammensetzungen grösser als der der leichter siedenden Komponente B (Kurve II), die Kurve hat ein Maximum. 3) Der Dampfdruck kann in einem Konzentrationsbereich kleiner sein als der der schwerer flüchtigen Komponente A. (Kurve III); die Kurve zeigt ein Minimum.

Ueber die Trennungsmöglichkeit durch fraktionierte Destillation kann man folgendes sagen: Verdampft man et. as Flüssigkeit, etwa durch Heben des Stempels in Figur , so muss sich diese Zusammensetzung der Flüssigkeit so ändern, dass der Dampfdruck kleiner wird, würde er grösser werden, so würde der Stempel weiter herausgetrieben und ein Gleichgewicht wäre unmöglich. Daher enthält der Dampf stets einen grösseren Anteil an der leichter siedenden Substanz als die Flüssigkeit und der Siedepunkt des Rückstands steigt (der Dampfdruck fällt) mit fortschreitender Destillation. Wenn der Dampfdruck des Gemisches ein Minimum hat, so kann er nicht weiter fallen, sondern muss konstant bleiben d.h. der Dampf muss dieselbe Zusammensetzung haben wie die Flüssigkeit. wir haben ein konstant siedendes Gemisch. (Solche Gemische sind keine chemischen Verbindungen, wie früher vielfach angenommen wurde, denn sie sind nicht nach stöchiometrischen Verhältnissen zusammengesetzt und außerdem ist ihre Zusammensetzung von dem Druck, unter dem die Destillation erfolgt, abhängig). ebenso muss der Dampfdruck der Lösung wachsen, wenn durch Hineinschieben des Stempels Dampf kondensiert wird, oder, falls die Lösung einem Maximum des Dampfdruckes entspricht konstant bleiben, sodass auch in diesem Fall Flüssigkeit und Dampf dieselbe Zusammensetzung chebn.

Besitzt das Flüssigkeitspaar eine Dampfdruckkurve ohne Extremwerte, so ist eine vollständige Trennung durch fraktionierte Destillation möglich. Hat dagegen das Flüssigkeitspaar ein Gemisch mit maximalem Dampfdruck, so ist dies bei jeder Zusammensetzung der flüchtigste Bestandteil und es gelingt als Resultat der Destillation nur diese Gemisch und eine der beiden reinen Komponenten (je nach der Anfangszusammensetzung) zu erhalten. Analog liegt der Fall bei Dampfdruckkurven, die

ein Maximum aufweisen; dann bleibt bei jeder Zusammensetzung der fortschreitenden Destillation diese "Minimumsgemisch" übrig und es gelingt wieder nur, je nach der Anfangszusammensetzung, eine der beiden Komponenten durch Destillation rein zu erhalten.

Besonders einfach liegen die Verhältnisse, wenn die Dampfdruckkurve geradlinig ist, dann sind auch die Partialdampfdruckkurven geradlinig und proportional dem Molenbruch. So erhalten wir Lösungen von chemisch sehr ähnlichen Stoffen, wie Benzol/Chlorbenzol oder Brombenzol, Toluol/Brombenzol, Aethylbromid/Propylenbromid und Lösungen von Isotopen ineinander. (Nach Polezalek sollten alle Gemische geradlinige Dampfdruckkurven haben, wenn keine chemischen Verbindungen der Komponenten vorliegen, so dass die vorhandenen Abweichungen von der Geradlinigkeit auf Verbindungen deuten. Diese Ansicht wird jedoch durch die Erfahrung nicht bestätigt.).

Gemische mit der Kurvenform I (ohne Extremwerte) sind am häufigsten, als Beispiele seien genannt: Wasser-Aceton, Aether-Aceton, Aether-Schwefelkohlenstoff, Essigsäure-Benzol, Aether-Benzol.

Beispiele für Kurvenform II (Maximum) bilden: Wasser-Buttersäure, Wasser-Propylalkohol, Aethylalkohol-Chloroform, Aethylalkohol-Benzol, Aceton-Schwefelkohlenstoff. Für Kurvenform III (Minimum) Wasser-Schwefelsäure, Aceton-Chloroform, Methylalkohol-Aethyljodid.

Lösungen von Gasen in Flüssigkeiten.

§ 49. Das Henry'sche Gesetz.

Die Erfahrung zeigt, dass die Löslichkeit von Gasen in Flüssigkeiten außer von den spezifischen Eigenschaften von Gas und Flüssigkeit im wesentlichen von Temperatur und Druck abhängt, und zwar ist die gelöste Gewichtsmenge Gas proportional. Molekulartheoretisch lässt sich dies Gesetz etwa folgendermassen

erklären: Betrachten wir einen abgeschlossenen Raum, der zum Teil mit Flüssigkeit, zum Teil mit ihrem (gesättigten) Dampf erfüllt ist und in dem sich zunächst ein Molekül des betreffenden Gases befindet, so wird sich dieses Molekül eine gewisse Zeit im Dampf, eine gewisse Zeit in der Flüssigkeit befinden. Haben wir mehrere Moleküle, so ist das Verhältnis der Aufenthaltsdauer in der Dampf- und Flüssigkeitsphase für alle Moleküle das gleiche, wenn genügend lange beobachtet wird. Diese Betrachtung gilt für soviel Gasmoleküle, wie ohne gegenseitige Beeinflussung im Dampfraum vorhanden sein können, also für ideale Gase, und bedeutet, dass, wenn wir alle Moleküle in einem bestimmten Zeitmoment betrachten das Verhältnis der im Dampf und in der Flüssigkeit befindlichen Moleküle des "gelösten" Gases unabhängig von ihrer Gesamtzahl, d.h. vom Druck ist. Diese Aussage deckt sich mit der eingangs erwähnten Erfahrungstatsache, dass die gelöste Gewichtsmenge der Gase proportional dem Druck ist. Das Henry'sche Gesetz gilt auch für die Verteilung eines gelösten Stoffes zwischen zwei Lösungsmitteln in der Form, dass das Verhältnis der Konzentration in den beiden Lösungsmitteln unabhängig von der gelösten Menge überhaupt ist. (Nernst'scher Verteilungssatz), oder dass

$$(58) \quad \frac{c_1}{c_2} = \text{konst}$$

ist.

Henry'sches Gesetz und Verteilungssatz gelten auch dann, wenn gelöster Stoff und Lösungsmittel miteinander chemische Verbindungen bilden, jedoch nicht, wenn der gelöste Stoff in dem einen Lösungsmittel einen anderen Molekularzustand besitzt.

Allgemein gilt, dass die Gase um so leichter löslich sind, je höher ihr Siedepunkt ist. (Je leichter sie sich verflüssigen lassen).

§ 50. Osmotischer Druck.

Es gibt Membranen, die für reine Lösungsmittel leicht durchlässig, für gelöste Stoffe aber völlig undurchlässig ~~sind~~ sind (semipermeable, oder halbdurchlässige Membranen). Gibt z. B. in eine Tonzelle, in deren Poren eine solche Membran aus Ferrozyankupfer eingelagert ist, eine Zuckerlösung verschließt sie mit einem Kork mit Steigrohr und stellt sie in ein Gefäß mit reinem Wasser, so wird infolge des Bestrebens der Lösung sich zu verdünnen, Wasser durch die Membran in die Lösung hinein diffundieren, sodass die Lösung im Steigrohr steigt bis der hydrostatische Druck der gestiegenen Flüssigkeitsdichte dem "osmotischen" Druck das Gleichgewicht hält. Man kann daher den osmotischen Druck nach dieser "Steighöhenmethode" messen. Größere osmotische Drücke misst man, indem man ein Quecksilbermanometer an das Steigrohr anschließt. Der Botaniker Pfeffer, der diese Messungen zunächst ausführte, fand nun, dass der osmotische Druck verdünnter Lösungen proportional der Konzentration und der absoluten Temperatur ist. $p = R T c$, mit anderen Worten, dass die Gesetze für ideale Gase auch für den osmotischen Druck gelten. Ja es zeigte sich sogar, wie van't Hoff nachwies, dass auch der Zahlenwert von R derselbe ist wie bei idealen Gasen, d.h. dass ein gelöster Stoff denselben osmotischen Druck ausübt, den die gleiche Menge desselben Stoffes im Gazzustand im gleichen Volumen als Gasdruck ausüben würde.

§ 51. Ableitung des Gesetzes für den osmotischen Druck aus dem Henry'schen Gesetz nach van't Hoff.

Wir betrachten eine Lösung von 1 Mol einer gasförmigen Substanz im Volumen v , der osmotische Druck sei π , wir

Wir wollen diese Lösung verdünnen, indem wir das Mole Lösungsmittel hinzutreten lassen und zwar auf zwei reversiblen isothermen Wegen. Dann sind nach dem zweiten Hauptsatz die dabei gewonnenen Arbeiten gleich.

1. Weg. Wir verdünnen die Lösung durch Herausziehen des halbdurchlässigen Stempels 1 um das Volumen $d v$, dann gewinnen wir die Arbeit

$$A_1 = - \cdot d v$$

2. Weg. Wir trennen die Lösung durch Hineindrücken des semipermeable Stempels 1 und gleichzeitiges Herausziehen des undurchlässigen Stempels 2, so dass die Konzentration der Lösung stets unveränderlich bleibt. Dann dehnen wir das Gas um $d V$ aus (V = Volumen des Gases), so dass der Druck auf $p - d p$ sinkt, und lösen auf gleiche Weise durch Hineindrücken des Stempels 2 und Herausziehen des Stempel 1 im Volumen $v + d v$ auf. Die hierbei gewonnene Arbeit ist

$$A_2 = - \cdot v + p \cdot V + p \cdot d V + (-d) (v + d v) - (p - d p) (V + d V)$$

Da $A_1 = A_2$ ist, so ist

$$\cancel{d v} = - \cdot v + p \cdot V + p \cdot d V + \cancel{v + d v} - \cancel{d} \cdot v - p \cdot V - p \cdot d V + V \cdot d p$$

(unter Vernachlässigung der Grössen II. Ordnung) also

$$v \cdot d = V \cdot d p$$

$$\frac{d}{dp} = \frac{V}{v}$$

und durch Integration

$$(59) \quad \frac{1}{p} = \frac{V}{v} + \text{Const}$$

Da für $p = 0$ die Konzentration der Lösung, also auch $c = 0$ ist, ist auch die Integrationskonstante = 0, also

$$(60) \quad \frac{1}{v} = \frac{V}{p} + p$$

Führen wir für p die Gasgesetze ein, so erhalten wir

$$p = \frac{R \cdot T}{V} \text{ und}$$

$$(61) \quad \frac{1}{v} = \frac{R \cdot T}{V} = R \cdot T \cdot c$$

§ 52. Molekulartheorie des osmotischen Druckes.

Da die semipermeablen Wände für das Lösungsmittel vollkommen durchlässig sind, so tragen nur die Stöße der Moleküle des gelösten Stoffes auf die semipermeable Wand zum osmotischen Druck bei. Die Berechnung erfolgt genau wie bei der kinetischen Theorie der Gase. Es ist jedoch zu berücksichtigen, dass in Flüssigkeiten die gelösten Moleküle sich nicht kräftefrei bewegen können, da sie in Wechselwirkung mit den Molekülen des Lösungsmittels stehen, wodurch anziehende und abstoßende Kräfte auftreten. Man kann leicht einsehen, dass die anziehenden Kräfte sich vollständig kompensieren, da das gelöste Molekül, auch wenn es sich direkt an der semipermeablen Wand befindet von den Molekülen des Lösungsmittels, für die die Wand ja sozusagen gar nicht vorhanden ist, gleichmäßig umgeben ist.

Die vom Eigenvolumen der Molekül (v.d.Waals'sches b) herrührenden abstoßenden Kräfte sind ebenfalls vorhanden und wirken wie eine Verminderung des den gelösten Molekülen zur Verfügung stehenden Raumes. Betrachtet man jedoch eine

semipermeable Ebene und denkt sich alle Moleküle des Lösungsmittels in einen Zylinder senkrecht zu ihr zusammen geschoben, so steht man, dass sie den gelösten Molekülen zwar einen Bruchteil der Fläche gesamten Volumens aber auch den gleichen Bruchteil der Fläche der semipermeablen Ebene wegnehmen, sodass diese beiden Wirkungen sich wieder aufheben. Dann wenn ein "gelöstes Molekül" unmittelbar vor der semipermeablen Wand ein Molekül des Lösungsmittels trifft, so gibt es diesem seine kinetische Energie ab und übt keinen Druck auf die Wand aus. Die idealen Gasgesetze gelten für den osmotischen Druck sogar noch bei höheren Konzentrationen als bei Gasen. Den anziehenden Kräften, die den Druck vermindern, wirkt nämlich entgegen, dass das Lösungsmittel in der Lösung verdünnter ist als auf der anderen Seite der Membran, weil die Moleküle des gelösten Stoffes Lösungsmittelmoleküle ersetzen. Da die Moleküle des Lösungsmittels den osmotischen Druck nicht beeinflussen, lässt sich nicht nur wie hier angegeben unter der Annahme ruhender Moleküle plausibel machen, sondern auch für den Fall bewegter Moleküle mit Hilfe der Molekulatheorie streng durchrechnen.

Der Mechanismus der semipermeablen Wände kann ganz verschieden sein. Manchmal handelt es sich um einfache Siebwirkungen in den meisten Fällen beruht jedoch die Wirkung darauf, dass der gelöste Stoff in der Membran unlöslich, das Lösungsmittel aber löslich ist. Die Gesetze des osmotischen Druckes sind jedoch unabhängig von der Art des Mechanismus, denn wenn dies nicht der Fall wäre, könnte man durch Gegeneinanderarbeiten zweier Mechanismen mit verschiedenen osmotischen Drucken ein Perpetuum mobile II. Art konstruieren, was nach dem 2. Hauptsatz unmöglich ist.

Löst man l Mol einer Substanz durch Hinzuziehen eines halbdurchlässigen Stempel in seiner gesättigten Lösung zum Volumen v auf, so ist die dabei gewonnene Arbeit:

(62) $A = \cdot v = R T$, da die Sättigungskonzentration und damit auch konstant ist. Führt man einen Kreisprozess zwischen den Temperaturen T und $T + dT$ aus, so kommt man genau wie beim Verdampfungsvorgang zur Clausius'schen Gleichung.

$$(63) \frac{d \ln}{d T} = \frac{Q + R T}{R T^2}$$

wobei Q den osmotischen Druck der bei der Temperatur T gesättigten Lösung bedeutet. Q ist die gewöhnliche thermochemische Lösungswärme bei der Auflösung ohne äußere Arbeitsleistung (entsprechend der "inneren" Verdampfungswärme), $Q + R T$ also die "äußere" Lösungswärme. Geht man zur Konzentration über, setzt man also nach (61)

$= R T c$, so erhält man

$$\frac{d (\ln R T c)}{d T} = \frac{Q}{R T^2} + \frac{1}{T} \quad \text{dezu.}$$

$$\frac{d (\ln R + \ln T + \ln c)}{d T} = \frac{Q}{R T^2} + \frac{1}{T}$$

$$\frac{1}{T} + \frac{d \ln c}{d T} = \frac{Q}{R T^2} + \frac{1}{T}$$

$$(63a) \frac{d \ln c}{d T} = \frac{Q}{R T^2}$$

also eine Beziehung zwischen der direkt messbaren "Löslichkeit" (Konzentration der gesättigten Lösung) und der thermochemischen Lösungswärme.

§ 53. Zusammenhang zwischen osmotischem Druck und Dampfdruck einer Lösung,

Wir wollen zur Vereinfachung der Rechnung annehmen, dass

die Lösung nur den Dampf des Lösungsmittels aussendet, dass der gelöste Stoff also nicht flüchtig ist. Ist der gelöste Stoff flüchtig, so denken wir uns die Flüssigkeitsoberfläche mit einer semipermeablen Wand bedeckt, die nur für die Moleküle des Lösungsmittels durchlässig ist und können dann genau wie bei einem nichtflüchtigen Stoff rechnen.. Dann ist der Dampfdruck der Lösung niedriger als der des reinen Lösungsmittels. Das folgt aus der freiwilligen Auflösung und Verdünnung der Lösung, die auch dadurch zustande kommen kann, dass das reine Lösungsmittel zur Lösung mit dem niedrigeren Dampfdruck hinzudestilliert. Den Zusammenhang zwischen osmotischem Druck und Dampfdruckerniedrigung gewinnen wir durch folgende Betrachtung: Wir verdünnen eine Lösung auf zwei isothermen reversiblen Wege und setzen die dabei gewonnenen Arbeiten gleich.

1. Weg. Die Lösung stehe im Gleichgewicht mit dem reinen Lösungsmittel und sei durch eine semipermeable Wand von derselben getrennt, ausserdem stehe sie unter dem Druck ihres eigenen Dampfes. Dann muss das Lösungsmittel unter einem Zug von der Grösse stehen. Wir verdünnen sie jetzt durch Heben des Stempels um $d v$, dann gewinnen wir die Arbeit

$$A_1 = \dots d v ;$$

wobei $d v$ das Volumen von $d x$ Molen reinen Lösungsmittels ist.

2. Weg. Wir verdampfen $d x$ Mole reinen Lösungsmittels bzw. Druck p , bringen den Dampf auf den Gleichgewichtsdruck p' der Lösung und kondensieren, dabei ist die gewonnene Arbeit

$$A_2 = d x R T + dx R T \ln \frac{p}{p'} - dx R T$$

Es ist also nach dem II. Hauptsatz

$$\bullet \quad d v = d x R T \ln \frac{p}{p}, \quad \text{Nun ist}$$

$$d x = \frac{d v + s}{M}$$

wobei die Flüssigkeit als inkompressibel angenommen ist
(s = spezifisches, M = Molekulargewicht), also

$$(64) \quad = \frac{R T s}{M} \ln \frac{p}{p}; \ln \frac{p}{p} = \frac{M}{R T s}$$

Für verdünnte Lösungen ist $p-p'$ sehr klein und man kann setzen
d.h. die relative Dampfdruckerniedrigung $\frac{p-p'}{p}$ ist proportional
des osmotischen Druck.

Dasselbe Ergebnis kann man auch auf
folgende Weise erhalten: In einer se-
mipermeablen Zelle, die im reinen Lö-
sungsmittel steht, steigt die Lösung
bis der hydrostatische Druck gleich
dem osmotischen Druck wird. Dann
muss auch der Dampf der Lösung im
Steigrohr, also in der Höhe h , im Gleichgewicht mit dem Dampf
des Lösungsmittels in gleicher Höhe stehen, also der Dampf-
druck der Lösung um das Gewicht einer Dampfsäule von der Höhe
 h erniedrigt sein. Es ist somit:

$$= h \cdot s' \quad (s' = \text{spez. Gewicht der Lösung})$$

$$p - p' = h \cdot \quad (= \text{spez. Gewicht des Dampfes})$$

und

$$p' - p' = \frac{h \cdot s'}{s'}$$

Nun ist

$$= \frac{M}{R T} = \frac{M}{R T} p, \quad \text{also}$$

$$p - p' = \frac{M}{R T s'} \cdot p. \quad \text{oder}$$

$$(64b) \quad \frac{p - p'}{p} = \frac{M}{R T s},$$

Bei dieser Ableitung tritt an Stelle der Dichte s des reinen Lösungsmittels bei der ersten Formel (64a) die Dichte der Lösung s' auf. Dies liegt daran, dass bei dieser Betrachtung die Lösung an der semipermeablen Membran unter dem Druck der im Steigrohr befindlichen Flüssigkeit steht, wodurch der osmotische Druck beeinflusst wird. Eine genaue Berücksichtigung dieses Umstandes ergibt wieder die Formel (64a). Bei verdünnten Lösungen kann man übrigens die Dichte von ~~sam~~ Lösung und Lösungsmittel gleich setzen.

Gleichgewicht

1

7.

Mol. zw. Dosis & Konst. Maflo-Dau. ^{und 1885} $\frac{1}{2} \cdot \frac{1}{3}$ auf bei m. d. Löff.

Solzoy Flaud differ. 1887 Differenzialprodukte? Gleichgewicht
Lachm. L. Löff. Boen (Borromäus) 1887 " Freien d. f. elektrolyt
zur Dau. Potassia auf. Molakal. Kaliab. Einheit d. Elektrolyt.
sond. auf. wie bei Maflo-Dau.

1) Ohne Löff.: Differenzialprodukt α bei m. d. Gleichgewicht

$$\text{auf Mol. zw. } 1 - \alpha + 2\alpha = 1 + \alpha \text{ Mol. Maflo. } (\text{1} + \alpha) \text{ auf. Maflo. } \frac{\text{auf. Maflo.}}{\text{auf. Löff.}} = \frac{1 + \alpha}{1 + \alpha} = 1$$

2) Zulfatpuff. (Viel zu gross) p. p. so sicht. Löff. p. p. auf.

$$\text{Zum Löff. p. p. } \frac{\text{auf. Löff.}}{\text{auf. Maflo.}} = \frac{1}{1 + \alpha} \quad \frac{1}{1 + \alpha} = \frac{\alpha_1}{\alpha_2} \quad \frac{1}{1 + \alpha} = \frac{\alpha}{1 + \alpha} = \alpha$$

Wiedergew. p. p. bei m. d. Gleichgewicht. Hg. p. p. Maflo. Gleichgewicht sie da.

Alk. auf. p. p. Niess. Krembs. - Conyay. Löff. alk. Kropf. Konf.,

später ge. Vom eisensalz. und Salp. auf. Bei der d. Löff. p. p. bei m. d. Gleichgewicht
sicher p. p. auf. Maflo-Dau. Glucosid. p. p. Bei gleich. Reaktion
gleich. in salp. Verbindung AgCl mit KCl, NaCl, CuCl. (viele g. Handel)

Reaktivität bei m. d. Löff. p. p. (Goldsalz, Silber, usw.). Abhängig von
p. p. von der Kons. der reagierenden M. O. (s. p. p. mit m. d. fehl. Löff. p. p.)

Kons. p. p. d. Maflo-Dau. $\text{KCl} - \text{NaCl} - \text{KNO}_3 - \text{NaNO}_3$

Differenzialprodukt p. p. bei m. d. Gleichgewicht, Maflo-Dau.

$$\frac{[A][B]}{[AB]} \text{ kont. } \frac{\alpha^2}{(1 - \alpha)^2} = \text{ konst. Differenzialprodukt}$$

Gleichgewicht p. p. bei m. d. Gleichgewicht, Maflo-Dau.

Gleichgewicht p. p. bei m. d. Gleichgewicht, Maflo-Dau.

Kons. Alk. auf. p. p.

2)

stabilität Diff. 2 Mal so wie die Diffusion

Reaktion wird von d vor dem

$$\frac{dC}{dx} = K \frac{d\ln K}{dT} = \frac{Q}{RT^2} \text{ bei Diff.}$$

Wärme Kapazität, Kapazität

Größe der Diffusion $\frac{Q}{RT^2}$ ist proportional

Größe der Diffusion für Konz.

Größe der Diffusion $\frac{Q}{RT^2}$ ist proportional

Konz. $\frac{dC}{dx}$ ist proportional zu

Größe der Diffusion $\frac{Q}{RT^2}$ ist proportional

mit Konz. $\frac{dC}{dx}$ ist proportional zu

Größe der Diffusion $\frac{Q}{RT^2}$ ist proportional

$\frac{dC}{dx}$ ist proportional zu

Größe der Diffusion $\frac{Q}{RT^2}$ ist proportional

3) aus phys. Gesetzen mit Molalität, Raumvolumen

4) aus phys. Gesetzen mit Molalität, Raumvolumen

5) aus phys. Gesetzen mit Molalität, Raumvolumen

6) aus phys. Gesetzen mit Molalität, Raumvolumen

Lap 1) Troposphäre und obere Atmosphäre

2) Troposphäre und obere Atmosphäre

3) Troposphäre und obere Atmosphäre

4) Troposphäre und obere Atmosphäre

5) Troposphäre und obere Atmosphäre

6) Troposphäre und obere Atmosphäre

7) Troposphäre und obere Atmosphäre

8) Troposphäre und obere Atmosphäre

9) Troposphäre und obere Atmosphäre

10) Troposphäre und obere Atmosphäre

11) Troposphäre und obere Atmosphäre

12) Troposphäre und obere Atmosphäre

13) Troposphäre und obere Atmosphäre

14) Troposphäre und obere Atmosphäre

15) Troposphäre und obere Atmosphäre

16) Troposphäre und obere Atmosphäre

17) Troposphäre und obere Atmosphäre

18) Troposphäre und obere Atmosphäre

19) Troposphäre und obere Atmosphäre

20) Troposphäre und obere Atmosphäre

21) Troposphäre und obere Atmosphäre

22) Troposphäre und obere Atmosphäre

23) Troposphäre und obere Atmosphäre

24) Troposphäre und obere Atmosphäre

25) Troposphäre und obere Atmosphäre

26) Troposphäre und obere Atmosphäre

27) Troposphäre und obere Atmosphäre

28) Troposphäre und obere Atmosphäre

29) Troposphäre und obere Atmosphäre

30) Troposphäre und obere Atmosphäre

31) Troposphäre und obere Atmosphäre

32) Troposphäre und obere Atmosphäre

33) Troposphäre und obere Atmosphäre

34) Troposphäre und obere Atmosphäre

35) Troposphäre und obere Atmosphäre

36) Troposphäre und obere Atmosphäre

IV 19. 84
Kofe
Hannover 16

Youngblut'scher

3)

$$\frac{[H][A]}{[HA]} - K$$

Absinken von p-potenzialen durch Anionen
Hydrolyse-Lsg - $[H]_{\text{hydrolyse}} = \frac{K}{C}$, $\alpha_1 C_1 = \alpha_2 C_2$, $\sqrt{K_1 C_1} = \sqrt{K_2 C_2}$, $\frac{C_1}{C_2} = \frac{K_1}{K_2}$

$$\text{Diffusion des Wassers} \quad \frac{d \ln K}{dT} \Rightarrow \frac{d \ln \frac{C_1}{C_2}}{dT} = \frac{Q}{RT^2}$$

Gydrolyse, Volumenprodukt

$$\text{Pufferdiffusion: } [H][OH] = k_w = C_0^2, C_0 = 98 \cdot 10^{-7} \text{ mol/Liter}$$

(nat. Laufzeit, katalytische Reaktion mit $H_2O + OH^-$, Ausgangskonz., Gydrolyse)

$$2 \frac{d \ln C_0}{dT} = \frac{Q}{RT^2} \quad \text{Zunahme von } C_0 \text{ bei Puffer 2,4\%}$$

zurück 5,32% (p-potenzial 5,81% pro Grad bei 18°C) Volumenproduktänderung für alle festen Ionen - Ziff. Zahl (13210 cal) Ziffern von Diffz. abhängig

$$0^\circ 0,34 \cdot 10^{-7}$$

$$18^\circ 0,98 \text{ "}$$

$$25^\circ 1,00 \text{ "}$$

$$50^\circ 2,44 \text{ "}$$

$$100^\circ 9,7 \text{ "}$$

Gydrolyse: Na Ac

$$[H][OH] = k_w$$

$$[H][Ac] = k_s [HAc]$$

$$\frac{[OH][HAc]}{[Ac]} = \frac{k_w}{k_s} = k_h, [HAc] = xC = [OH], [Ac] = (1-x)C$$

bei 18°C

$$\frac{x^2 C}{1-x} = k_h, \text{ offiziell } k_s = 0,18 \cdot 10^{-14}, k_w = 0,60 \cdot 10^{-14}, \frac{x^2 C}{1-x} = 3,3 \cdot 10^{-10}$$

$$(= 1, x = 1,8 \cdot 10^{-5} \text{ bei } 100^\circ \text{ zumindest p. g. o. p. HCN } k_s = 0,13 \cdot 10^{-8})$$

am opt. pH Wert

$$\frac{[H][S]}{[HS]} = k_s, \frac{[B][OH]}{[BOH]} = k_b, [H][OH] = k_w$$

$$\frac{[HS][BOH]}{[B][OH]} = k_h = \frac{k_w}{k_s k_b}$$

Gesamtstrom: Vom auf Tonnen an
Von 1, damit klein Verbiffen... fanden
Kohle auf und mit 3% Feuerwehr gegen 300
J. J. von bei Klasse H. Kugel aus
Wasser war Wasserstoff. Es fand sich
[OH] basis und Klasse von Wasserstoff von NH₃
~~[OH]~~ basis und Klasse von Wasserstoff von NH₃ 47

Zahlreiche Formeln: $[Ag][Cl] \cdot [AgCl] = K_{konst}$
 $\text{Mol } C \cdot 25 \cdot 10^{-5} \cdot l^2 = 156 \cdot 10^{-10}$
 $= \frac{156 \cdot 10^{-10}}{10^{-5}} = 1,56 \cdot 10^{-5} \cdot l^2$
 Damit $K_{konst} = AgCl \cdot AgCl = 1,56 \cdot 10^{-5}$
 $AgCl + K_2 = AgCl + KCl$ und
 Durchsetzung H_2 auf Tonnen an
 ferner $AgCl + K_2 = AgCl + KCl$ und
 Durchsetzung H_2 auf Tonnen an
 ferner $AgCl + K_2 = AgCl + KCl$

Fluktuation: Lautlos $K_{konst} = \frac{C}{l^2}$, Kapit. I. Lord (konst = 1), Glasmutterquadrat
 $C = 4,7 \cdot 10^{-10} \text{ el.st.cgs}$ Fluktionsdichte Potentiell C Potentiendifferenz E Arbeit pro Flächeneinheit
 Lautlos Glasmutterquadrat Potentiell überall gleich 2. Die gleiche Dose darf nicht wiederholen
 $W_{arbeit} = \frac{4}{dt} \cdot 10^9 \cdot E$, $T = \text{konst}$ $E = \frac{C}{W} = kE$, Arbeit pro Zeit $F_E = T \cdot W$ Fluktionsarbeit
 Ohne, falls kein reiner Arbeit (Zusatzarbeit). Fluktionsarbeit Volumen vergrößert
 $W_{arbeit} = \frac{1}{10} \cdot 10^9 \text{ erg.s (cm)}$, Glasmutter Volumen 1 in 1000 = $3 \cdot 10^{-10} \text{ el.st.cgs}$ Fluktionsarbeit
 Plan 1 Vak. Ausgangsart. ohne Lautlosigkeit. Volumen (Potentiendiff. Glasm. Kraft) Kapit.
 Das die potentiell die Arbeit 1 erg durchsetzt Volumen vergrößert, Volumen 1 Vak. = 10^8 cm^3
 $= \frac{1}{300} \text{ el.st.cgs}$. Leistung $\frac{1}{Vak} = F_E$ Fluktionsarbeit $W_{arbeit} = 0,1 \cdot 10^8 = 10^7 \frac{\text{erg}}{\text{sec}}$
 Eine Wirkungsweise (Vakuum) = 10^7 erg . Vakuum steht nicht, falls bei Vakuum die Potentiendiff.
 Differenz Volumenfläche nicht. Fluktionsarbeit $W = \frac{E}{F} = \frac{10^8}{0,1} = 10^9 \text{ cm.cgs}$. Leistungskapit.
 $k = \frac{1}{W}$, Kapit. Leistungswiderstand K def. durch $k = \frac{q}{t} K$

∇ Vorgabe $C = \frac{e}{l^2}$, $e \cdot C = e$ ^{x) Kapit. Volumen von 1 cm auf Volumen 1 in 1000 füllt 1 dyn auf}

Ladungsspiel

Stromdurchfluss $\Delta p = \frac{1}{2} \rho \cdot U^2 \cdot A$
 dfl. anfangs $\boxed{\Delta p_1}$ 2) bei sondergleich Δp_2 und gleicher U_2
 so dass $\Delta p_1 = \Delta p_2$ ist. $U_2 = \sqrt{\frac{\Delta p_1}{\rho}}$
 $\therefore L = \frac{108 g \cdot 10^6}{6 \cdot 10^6} = 31,8 g/cm$

$25 \text{ cm } H_2 \text{ ab } 25 \text{ l/min } 1 \text{ Mol, } 25 \text{ cc } \frac{1}{1000} \text{ Mol} = \frac{2}{1000} \text{ Mol} = 10^{-3} \text{ Mol}$ $10^{-3} \text{ Mol} - 96500 \text{ Coul}$
 zu $E = 10^3 \text{ Volt}$ (Angenommen), und gleich Δp_1 . $\Delta p_1 = E \cdot C$
 und $C = \frac{1}{2} \rho U^2 \cdot A$. Zeigt $\Delta p_1 = E \cdot C$

$\Delta p_1 = E \cdot C = E \cdot \frac{1}{2} \rho U^2 \cdot A$

$\Delta p_1 = E \cdot \frac{1}{2} \rho U^2 \cdot A = \frac{1}{2} \frac{E^2}{\rho} \cdot A$

Kipp-Satz $\Delta p_1 = \frac{\rho U^2}{cm^2} \cdot A = \frac{q}{l} \cdot A = \frac{U}{W} \cdot A$ $\Delta p_1 = \frac{U}{W} \cdot A$

$A = \text{constantes Volumen}$ $\Delta p_1 = \frac{U}{W} \cdot A$ $\Delta p_1 = \frac{U}{W} \cdot \frac{U}{E} \cdot A = \frac{U^2}{E \cdot W} \cdot A$

$\Delta p_1 = \frac{U^2}{E \cdot W} \cdot A$ $\Delta p_1 = \frac{U^2}{E \cdot W} \cdot A$ $\Delta p_1 = \frac{U^2}{E \cdot W} \cdot A$ $\Delta p_1 = \frac{U^2}{E \cdot W} \cdot A$ $\Delta p_1 = \frac{U^2}{E \cdot W} \cdot A$

$\Delta p_1 = \frac{U^2}{E \cdot W} \cdot A$ $\Delta p_1 = \frac{U^2}{E \cdot W} \cdot A$ $\Delta p_1 = \frac{U^2}{E \cdot W} \cdot A$ $\Delta p_1 = \frac{U^2}{E \cdot W} \cdot A$ $\Delta p_1 = \frac{U^2}{E \cdot W} \cdot A$

$\Delta p_1 = \frac{U^2}{E \cdot W} \cdot A$ $\Delta p_1 = \frac{U^2}{E \cdot W} \cdot A$ $\Delta p_1 = \frac{U^2}{E \cdot W} \cdot A$ $\Delta p_1 = \frac{U^2}{E \cdot W} \cdot A$ $\Delta p_1 = \frac{U^2}{E \cdot W} \cdot A$

$\Delta p_1 = \frac{U^2}{E \cdot W} \cdot A$ $\Delta p_1 = \frac{U^2}{E \cdot W} \cdot A$ $\Delta p_1 = \frac{U^2}{E \cdot W} \cdot A$ $\Delta p_1 = \frac{U^2}{E \cdot W} \cdot A$ $\Delta p_1 = \frac{U^2}{E \cdot W} \cdot A$

$\Delta p_1 = \frac{U^2}{E \cdot W} \cdot A$ $\Delta p_1 = \frac{U^2}{E \cdot W} \cdot A$ $\Delta p_1 = \frac{U^2}{E \cdot W} \cdot A$ $\Delta p_1 = \frac{U^2}{E \cdot W} \cdot A$

$\Delta p_1 = \frac{U^2}{E \cdot W} \cdot A$ $\Delta p_1 = \frac{U^2}{E \cdot W} \cdot A$ $\Delta p_1 = \frac{U^2}{E \cdot W} \cdot A$ $\Delta p_1 = \frac{U^2}{E \cdot W} \cdot A$

$a = \frac{E}{6\pi \gamma v_0}$, $\gamma = 0,01 \text{ cgs}$ Abström aus Zylinder, Flüssigkeit & Hydraulik

$E = 10^3 = \frac{100}{300} \text{ el. st. cgs.}$ $a = \frac{E}{6\pi \gamma 300 v_0}$ $\frac{4,77 \cdot 10^{-10}}{8,314 \cdot 0,01 \cdot 300 \cdot 4,5 \cdot 10^{-4}} = 1,9 \cdot 10^{-8} \text{ cm}$

$$\frac{4,77 \cdot 10^{-10}}{8,314 \cdot 0,01 \cdot 300 \cdot 4,5 \cdot 10^{-4}}$$

$23 \text{ cm } 4,35 \frac{\text{cm}}{\text{sec}}$
 $0,000534 \frac{\text{m}}{\text{sec}}$

Druckverlust

Vektor Gravitationsbeschleunigung $v = \frac{g}{\rho}$, $\rho = \rho v$ 6)

Anterdruck $\rho = \frac{\rho}{\rho} \cdot \rho$, also $v = \frac{\rho}{\rho} \cdot \frac{\rho}{\rho}$, $\frac{\rho}{\rho} = 1$, $v = \frac{\rho}{\rho} = \text{Ung. v.}$

Kontinuitätsgriff. Durchmesser $U_k = 0,000615 \frac{\text{cm}}{\text{sec}}$ $U = 0,000615 \frac{\text{cm}}{\text{sec}}$

$$MnO_4' = 0,00055 \frac{\text{cm}}{\text{sec}}$$

$$v = 0,000615 \frac{\text{cm}}{\text{sec}}$$

K d.f. die vor der Dose im Kügelal mit $1\frac{1}{2}$ pro Sekunde fliegen. ρ weigt

$$\rho = \rho \cdot n(U + v) - \rho \cdot M(U + v) - \rho \cdot F(U + v) = \rho \cdot (U + v), \quad FU = u$$

$$\frac{U}{v} = \frac{1}{1} = \alpha(U + v) \quad \alpha = U + v \quad FU = v$$

Ablösung Grifff von Druckabsatz gegen Winddruck so zu machen

$$\text{NaCl } \Lambda_{\infty} = 96500(0,000450 + 0,000677) = 108,4 \quad \begin{matrix} U_H = 318 \\ \alpha_H = 174 \end{matrix}$$

Explorat. Λ_{∞} und damit α für ρ des Flüssigkeits zu berechnen

Abrechnung der Λ_{∞}

Zur Verteilung I. Formationsdruck, Obj.

Prozent 2,3 - 2,5% Zonenab. 2,43% Grifff (zweiter Grad)

$$\text{Molalität } M(C_2H_5)_4 = 1 \quad \Lambda_{\infty} = \frac{0,7 \cdot 10^{-3}}{8} \text{ für } 0,00878 > 0,2$$

Wandreibung vom Flüssigkeitsdurchmesser D aus μ kann durch η ersetzt werden

Gydrat. H_2O an Lösung

Grifff am Zylinder, Druck, Koeff.

$\alpha = 10^3$

$$U = 64,6 \quad 43,5 \quad 54,3 \quad 318,5$$

$$U' = 34,5 \quad 21,5 \quad 30,5 \quad 174$$

$$v = 65,95 \quad 68,0 \quad 68,7 \quad 174$$

$K \quad Na \quad Ag \quad H$

$$U = \frac{U}{U + v} \quad U' = \frac{U'}{U + v} \quad v = \frac{v}{U + v}$$

Volumeneffekt (Gibbs)

$AgNO_3$ zersetzen Ag gelöst

$$U = \frac{U}{U + v} \quad U' = \frac{U'}{U + v} \quad v = \frac{v}{U + v}$$

$\frac{U}{U + v}$

$1 F$ Lösungskoeffizienten n aus $\frac{U}{U + v}$

$$U = \frac{U}{U + v} \quad U' = \frac{U'}{U + v} \quad v = \frac{v}{U + v}$$

Quotient Koeffiz.

The Quotient Koeffizienten zu gewandelt $\frac{U}{U + v}$ Ag abgespalten 1 Mol auf v Abrechnung

$$\frac{U + v}{U + v} - \frac{U}{U + v} = \frac{v}{U + v}, \quad \text{dann gilt } \frac{U}{U + v} = \frac{1}{1 + \frac{v}{U + v}}, \quad \text{also}$$

$$\frac{U}{U + v} = \frac{1 - \frac{v}{U + v}}{1 + \frac{v}{U + v}} = \frac{U + v - v}{U + v + v} = \frac{U}{U + 2v}$$

$$n = \frac{U}{U + v}, \quad 1 - n = \frac{v}{U + v}$$

$$\text{Luftäquivalenz: } \Lambda_\infty = F(U + V) = U + V \quad \text{f. 6} \quad \underline{M} \quad \underline{Y}$$

Zerstörung d. Wärmeleitung, Diffusion, Zerleistung, Teilstrukturkohäsion
 Hg und NaOH zuerst Oba open mit ET-Zubehör, dann Zusatz von [OH]
 zugesetzt, Katalysator Meier aus. Gegen für Tiefdruck

Überführung von Gas Gleichgewichtsverhältnisse in d. Flüssigkeit

	Arff.	Wirk.	Ausdeh.	Aj.
Oba.	$\frac{u}{u+v}$	$\frac{v}{u+v}$	$\frac{u}{u+v}$	
Zwe.	$\frac{u}{u+v}$	$\frac{v}{u+v}$	0	

	Ausdeh.	Arff.		
zur Lösungsmasse	v/u	u/v	v/u	$-u/v$
$\approx 2 \text{ AgNO}_3 \text{ Oba}$	$n = \frac{u}{u+v}$	$\frac{v}{u+v}$	$\frac{v}{u+v}$	$\frac{v}{u+v}$
überdruck und geringe 1 - n	$1 - n = \frac{v}{u+v}$	0	0	0
zur Masse 1	0	0	0	0

Diffusion, Law of Raoult's law, Dalton's law

Dissolution $\text{Zn}/\text{ZnSO}_4 \text{ ag}/\text{CuSO}_4 \text{ ag}/\text{Cu}$

+		Ag	NO_3'	
$\frac{1}{10}$	$\frac{1}{100}$	$A - 1 + \frac{u}{u+v}$	$\frac{v}{u+v}$	$-\frac{v}{u+v}$
A	K	$K - \frac{u}{u+v} + 1$	$\frac{v}{u+v}$	$+\frac{v}{u+v}$

$$2 \frac{v}{u+v} RT \ln \frac{C_1}{C_2}$$

$$RT \left(\frac{2v}{u+v} - \frac{u+v}{u+v} \right) \ln \frac{C_1}{C_2} = RT \frac{v-u}{u+v} \ln \frac{C_1}{C_2} = -RT \frac{u-v}{u+v} \ln \frac{C_1}{C_2}$$

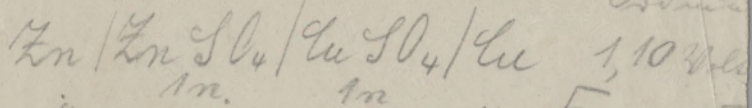
$$\text{zu } (\text{NO}_3)_2 \quad -\frac{1}{2} + \frac{u}{u+v}$$

$$\frac{\Lambda}{\Lambda_\infty} = \alpha, \frac{d^2 C}{1-\alpha} = K, \text{diffusion}, \frac{C}{1-\alpha} = K, 1-\alpha = \frac{C}{K}$$

$$\frac{\Lambda_\infty - \Lambda}{\Lambda_\infty}$$

in Wirk. $1-\alpha \approx VC$

Gleichgewichtsformel Koeffa (Gleichgewicht) durch die Gleichung nach
Ostwaldscher Form EMK (Fugazität) dargestellt.



$$\text{Koeffizienten aus } \frac{1}{w_a + w_i}, E = \frac{E_a + E_i}{w_a + w_i}$$

Koeffizient: Zn geht in Zn^{2+} über und fällt aus; fällt Cu^{2+} aus, so dass also Zn^{2+} höher als EMK. Koeffizient $\text{CuSO}_4 + \text{Zn} = \text{Cu} + \text{ZnSO}_4$ und $\text{Cu} + \text{Zn} = \text{Cu} + \text{Zn}$.
Maximale Arbeit die geleistet wird auf der einen Seite $A = 2EF$, falls sie in Molarangebnis. Werte für Koeffizienten: $\text{Ag}/\text{AgCl}/\text{ZnCl}_2/\text{Zn} \quad 3,015$
 $2\text{Ag} + \text{Zn} = 2\text{Ag} + \text{Zn}^+$.

Gezeigt wird Lösungsdurchsetzung, Zelle $\text{Ag}/\text{AgNO}_3 / \text{AgNO}_3 / \text{Ag}$
Lösung offen fließt, so dass immer passende Konzentrationen eingehalten werden. Arbeit wird auf der einen Seite $A = 2EF$, falls sie in Molarangebnis. Werte für Koeffizienten: $\text{Ag}/\text{AgBr}/\text{ZnBr}_2/\text{Zn} \quad 0,828$

$$A = RT \ln \frac{c_1}{c_2} = nEF, \quad E = \frac{RT}{nF} \ln \frac{c_1}{c_2}$$

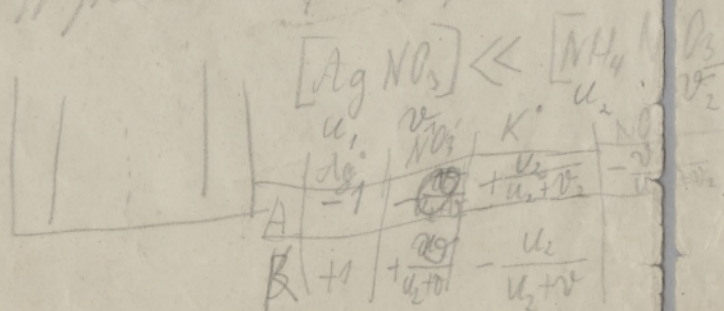
$$1 \text{ Volt} = 10^8 \text{ Coulomb} \text{ c.g.s.} \quad 1 \text{ Coulomb} = 6,1 \text{ c.g.s.} \quad 1 \text{ Volt} = 1 \text{ Joule} = 1 \text{ Wattsek.} = 10^7 \text{ c.g.s.}$$

$$R = 8,313 \cdot 10^7 \text{ erg} = 8,313 \text{ Volt-Coulomb}$$

$$E = \frac{1,983 \cdot 10^{-4}}{n} T \log \frac{c_1}{c_2} = 0,058 \log \frac{c_1}{c_2} \text{ Volt} = 5,8 \log \frac{c_1}{c_2} \text{ Millivolt}$$

$$\frac{c_1}{c_2} = 5 \quad \log 5 = 0,7 \text{ mV} \quad E = 20 \text{ Millivolt}$$

Stoffgleichgewicht (V. aufgestellt)



1. Aufstellung	2. Vorst. d.	3. Ablesen	4. Rechnen

9)

Douy. Element $E = \frac{RT}{VF} \ln \frac{C_1}{C_2}$ ohne Elektrolyt

		A_{tj}	Nb_3	Gesamtpotenzial an der	
+	-	$A - 1 + \frac{u}{u+v}$	$-\frac{v}{u+v}$	$\frac{v}{u+v}$ Mol Ag	" NO_3^-
$A \leftarrow K$	$K - \frac{u}{u+v} + \frac{v}{u+v}$			$+\frac{v}{u+v}$ "	" NO_3^-

von Douy. Gegen C_2 gebracht $A = \frac{2v}{u+v} RT \ln \frac{C_1}{C_2}$

$\frac{2v}{u+v} = 1,183$

$$E_{tot} = \frac{A}{VF} = \frac{2v}{u+v} \frac{RT}{VF} \ln \frac{C_1}{C_2}, E_K = \frac{RT}{VF} \ln \frac{C_1}{C_2}$$

$$E_{tot} = E_K + E_F, E_F = E_{tot} - E_K = \frac{2v}{u+v} - 1 \frac{RT}{VF} \ln \frac{C_1}{C_2} = -\frac{u-v}{u+v} \frac{RT}{VF} \ln \frac{C_1}{C_2}$$

$NO_3^- v = 60$

$$\frac{u-v}{u+v} = \frac{21}{215} = -0,183$$

Douy. Löff. neg. fällt

Kontakt pfeil nach rechts hin

Dank gepfeilt!

Gleichgewicht K'U auf NO_3^- Löff.

Nochmal gebaut. D. u. K'U, n. Ag. O. S. U. Löff. zu keinem Erfolg

Festpunktgruppe, wo Tafel von oben zu präzisieren.

Lösungspunkt $E = \frac{RT}{VF} \ln \frac{C_0}{C}$ Nullleiste der Hg-Moleküle

Blauherstellung und Ladung für festen

Elektroden grün. Bei Ag + HgU $E = \frac{RT}{F} \ln \frac{C_0}{C_{tj}}$ $C_{tj} = \frac{K}{C_w}$

$$E = \frac{RT}{F} \ln \frac{C_0}{K} C_w = \frac{RT}{F} \frac{C_0}{C_w}$$

Nochmalabstand Hg/HgU/K'U $mNa = Na_m$ $C_{Na}^m = \frac{K}{C_w m}$ $C' = \sqrt[m]{\frac{R}{C_m}}$

$$C_0 = \frac{K'}{C_m} E = \frac{RT}{F} \ln \frac{C_0}{C} = \frac{RT}{Fm} \ln \frac{C'}{C} E = \frac{RT}{Fm} \ln \frac{C'}{C_2} m-1$$

Gleichabstand

Neutral - N. merkbar

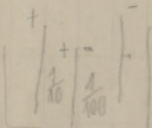
K'U

Löff. an

Wasser

heißes

Wasser



$$\frac{2v}{u+v} = \frac{2 \cdot 60}{44 + 68} = 1,183 \cdot 0,58 = 0,343$$

Diffusion, Durchmesser, Fließrichtung genauso wie bei Reaktion

Diffusionsstrom: Pt. geprägt mit Gas (H_2, Cl_2, Br_2, F_2)

Diffusion $C_o \sim [H]$ im Mittel. Massenwirkt: $\frac{[H]}{[H_2]} - K$

Kennt $[H] = \text{konst } \mu_{H_2}$ in Gasraum $C_o \sim [H] \sim \sqrt{K[H_2]} \sim \sqrt{\mu_{H_2}} = C_o \sqrt{\mu_{H_2}}$

$$E = \frac{RT}{2F} \ln \frac{[H]}{C_o} = \frac{0,058}{2} \log \frac{[H]}{C_o \sqrt{\mu_{H_2}}} \quad \text{Nullpunkt der Potentielle}$$

so füllt graphl. Drap $C_o' = 1$. Potentiendifferenz zwischen Normal-
potentiell und Normaldruck auf Diffusionsstrom 0,286 V

Diffusionsstrom $E = 0,058 \log \frac{\mu_1^2}{\mu_2^2} = \frac{0,058}{2} \log \frac{\mu_1}{\mu_2}$ falls $[H]$ in gleicher

Volumendiffusionsstrom: $4OH - O_2 + 2H_2O$, $\frac{[OH]^4}{[O_2][H_2O]^2} = K$; $C_o \sim [OH] \sim \sqrt[4]{\mu_{O_2}}$

Kennt μ_1, μ_2 auf Fließrichtung

$$E_{O_2} = \frac{0,058}{4} \log \frac{\mu_1}{\mu_2} \quad \text{auf Fließrichtung}$$

4,50

Durchmesser Prinzip

Spannungsbereich Normal $E = \frac{0,058}{2} \left(\log \frac{[Cu]}{C_o} - \log \frac{[Zn]}{C_o} \right)$

$$E = \frac{0,058}{2} \log \frac{[Cu]}{[Zn]} + E_o - E_o \quad E_o = \frac{0,058}{2} \log \frac{1}{C_o}, E_o =$$

Die Abstufung ist unveränderlich (je nach Miteldiff. Normaldiffusionsstrom)

Kennt Fließrichtung (d. f. Metalle) und Normalpotentiell Spannungsbereich $E_o = 2,41 - 0,16 \cdot \text{Cu/Zn} + 0,34$

$$E_o - E_o = 0,34 - (-0,16) = 1,12 \text{ V auf Spannung zu } [Cu] \text{ und } [Zn]$$

E_o ist bei geprägtem KCN sehr klein. Zn in Cu-Löff fällt Cu aus, bei $[Cu]$ fällt E_o flach zu $Zn/Zn/Cu/Cu = 0$

$$A = \nu F E, E = \frac{A}{\nu F} \quad A = RT \ln K, E = \frac{RT}{\nu F} \ln K = \frac{9058}{\nu} \log K$$

$$H_2 + Cl_2 = 2 HCl \quad K = 6 \cdot 10^{-34} \quad \log K = -33,22 \quad (0,48-34)$$

$$A = 2 F E, \text{ weil ein Mol } Cl_2 = 2 \text{ Mol } Cl \quad E = \frac{0,02433,22}{2} = 0,967$$

und " " $H_2 = " " H$

$$\log K = -\frac{44000}{4,541 \cdot 303} - 0,8 = \frac{-314}{-0,8} = \frac{-325}{-38,8}$$

$$K = 3,2 \cdot 10^{-33}$$

$$E = \frac{0,060 \cdot 38,8}{2} = 1,165 \text{ V}$$

$$\log \frac{0,52}{750} = \log 6,94 \cdot 10^{-4} = 0,84 - 4 = -3,16 \quad \text{gefunden } 1,160 \text{ V}$$

$$HCl \text{ in } \mu_{HCl} = 0,52 \text{ mm} \quad \mu_{H_2} = \mu_{Cl_2} = 750 \text{ mm}$$

$$A = RT \ln K + 2RT \ln \frac{0,52}{750}$$

$$E = \frac{A}{2F} = \frac{RT}{2F} (\log K + 2 \log \frac{0,52}{750})$$

Dualgalvanisch

Druckkathode

1 Voltwandler = 10^7 cgs

$$A = Mg h = EF, E = \frac{Mgh}{F} = \frac{200 \cdot 981}{10^7 \cdot 96500} h V = 2,04 \cdot 10^{-7} h V$$

$$h = 100 \quad E = 2,04 \cdot 10^{-5} V = 0,02 \text{ Millivolt}$$



Oxydations- und Reduktionszustand

Es ist wichtig, dass Material in Form eines Oxydationszustands und eines Reduktionszustands vorliegen muss, um eine Reduktion in einem System zwischen zwei Stoffen möglich zu machen. z.B. platinierter Pt-Elektrode in Zelle von Fe^{++} und Fe^{+++} (durch Zn^{++}) gegen Platin. " " " " Sn^{++} und Sn^{+++} (". ".)

Katalyse durch Vorzugung $\text{Fe}^{++} \rightarrow \text{Fe}^{+++}$ und $\text{Sn}^{++} \rightarrow \text{Sn}^{+++}$ bzw. $\text{Sn}^{++} + 2\text{Fe}^{++} = \text{Sn}^{+++} + 2\text{Fe}^{+}$. Katalysator gesucht.

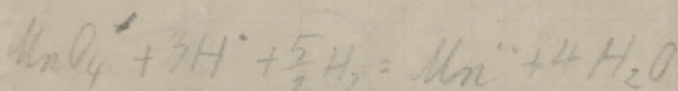
$$\text{Gleichgewicht } \frac{[\text{Sn}^{++}][\text{Fe}^{++}]^2}{[\text{Sn}^{+++}][\text{Fe}^{+}]^2} = K \quad A = RT \ln \left(n \frac{[\text{Fe}^{++}]}{[\text{Fe}^{+}]} \right) + RTh \frac{[\text{Sn}^{++}]}{[\text{Sn}^{+++}]} - RT \ln K$$

$$A = 2EF \quad E = \frac{A}{2F} = \frac{RT \ln \frac{[\text{Fe}^{++}]}{[\text{Fe}^{+}]}}{2F} - \frac{RT \ln \frac{[\text{Sn}^{++}]}{[\text{Sn}^{+++}]}}{2F} + \text{konst}$$

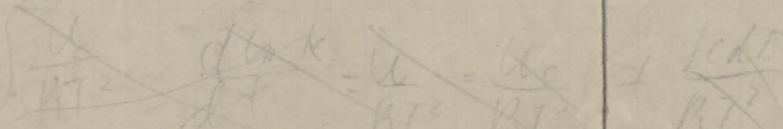
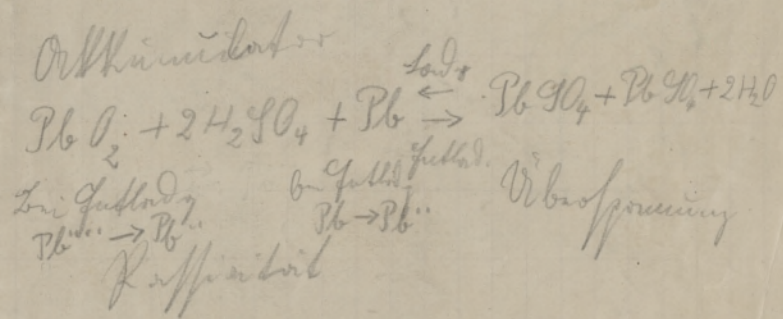
Potential einer Elektrode $\frac{RT}{F} \ln \frac{[\text{Fe}^{++}]}{[\text{Fe}^{+}]}$ auf.

Bei einer Halb-Zelle aufgespannt: $\frac{[\text{Fe}^{++}][\text{H}_2]^{\frac{1}{2}}}{[\text{Fe}^{+}][\text{H}^{\cdot}]} = K [\text{H}_2] = \text{konst. p}_{\text{H}_2}$

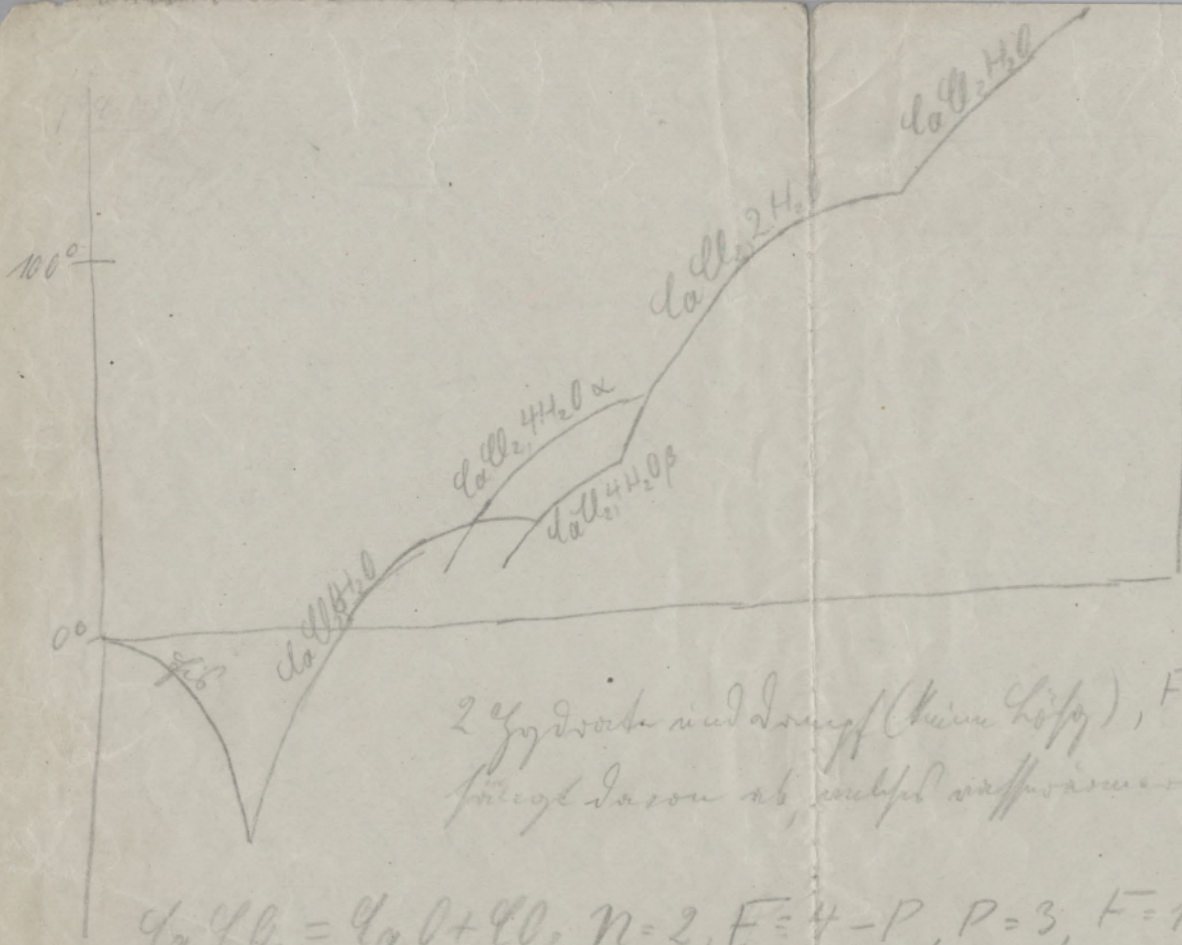
$$\frac{RT}{F} \ln \frac{[\text{Fe}^{++}]}{[\text{Fe}^{+}]} = \frac{RT}{F} \ln \frac{[\text{H}^{\cdot}]}{p_{\text{H}_2}}$$



4

~~W. H. Scott~~

~~W. H. Scott~~



α instabil
gegen β , da Löschke
von α auf β größer als von β auf α
Ko-Dreipunktk
Konsolidationspunkt
der beiden Zirkone

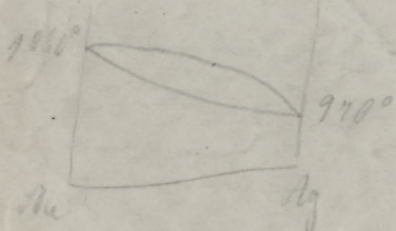
2 Zirkone sind Lösungskörper (kein Lösg.), $F=1$, Differenzialdruck
steigt davon ab, um bei Konsolidation Zirkon aufzust.

$$\varphi_{\text{dol}} = \varphi_{\alpha} + \varphi_{\beta}, N=2, F=4-P, P=3, F=1$$

bei über 900° und $p = 760 \text{ mm}$, konstanter Löschkeinfluss über 900°
folgt: $\text{Folalifff} \rightarrow \text{Lösungskörper}$
später sind $\text{Cu-Zn-H}_2\text{O}$ -Lösungen gefallen

Zirkone können, und kann bei Zirkon ein Gleichgewichtslösungskörper
Zirkon eine Lösungskörper, sondern sich nicht trennen so, dass der Zirkon
die Zirkone trennen und zersetzen kann.

Umsetzung, Verlust, Lösung, Konsolidation



inkongruenter
Schmelzpunkt

Pfaffenzahl

$$P + F = n + 2$$

oder Baudinger

Pfaffenzahl: System unter gleicher Zahl d. V. Zell d. auf. Oder gleicher Zahl
n Lösung: Zahl d. Brügel am Anfang gleichzeitig zu bestimmen

Nur Zell besteht H_2O von O_2 , Zugabe H_2O_2 oder H_2O

Wiss. Zell d. Glanz mit Endigungslinie. $\text{C}_n\text{H}_{n+2}, \text{C}_6\text{H}_6, \text{C}_2\text{H}_2, \text{C}_2\text{H}_4, \text{C}_2\text{H}_6$
Endigungslinie NH_3Cl mit einer Überschreitung Lösung.

F Lösungszahl: $n, T, \text{Meng. Lösung}$

Zum Pfaffenzahl $f(p, T, c_1, c_2, \dots) = 0$

$$P = 1, F = n + 2 - P = n + 1, n = 1, n = 2,$$

Zum Pfaffenzahl $f(p, T, c_1, c_2, \dots) = 0, f'(p, T, c'_1, c'_2, \dots) = 0$

$$p = p', T = T', c'_1 = f(c_1), c'_2 = f(c_2), \dots, c_1 = k_1 c'_1, c_2 = k_2 c'_2$$

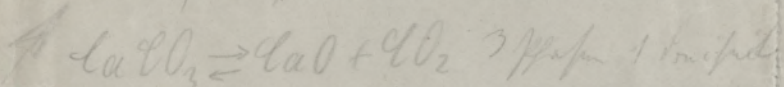
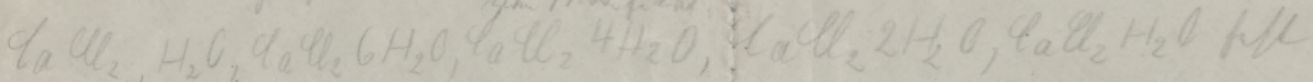
Pfaffenzahl: $p, T, c_1, c_2, \dots, c_n : n + 2$ 1) $P = n + 2$ Glanz willig bilden $F = 0$
2) $P = n + 1$ " $F = 1$

Pfaffenzahl $F = n + 2 - P$

$$n = 1: 1) P = 1, F = 2 \quad 2) P = 2, F = 1 \quad 3) P = 3, F = 0$$

$$F = 3 - P:$$

$n = 2$ Ausgangspunkt Spaltkittum $\text{La}(\text{H}_2\text{O})_3\text{OH}$: Pfaffenzahl, flüssig Pfaffenzahl
zum Modellat.



$$n = 2: 1) P = 1, F = 3 \quad 2) P = 2, F = 2 \quad 3) P = 3, F = 1 \quad 4) P = 4, F = 0$$

$$F = 4 - P$$

ausgangs
Lösung

zur
Lösung

zur
Lösung

zur
Lösung

zur
Lösung

Lösungszahl: Bei ausgeprägten, bei losem Pfaffen dringt es zusätzliche Lösung

t°	$P_{\text{H}_2\text{O}}$	Lösungszahl
-55	ppm	$\text{La}(\text{H}_2\text{O})_3\text{OH}_2, 6\text{H}_2\text{O}$
+29,2	5,64	$\text{La}(\text{H}_2\text{O})_3\text{OH}_2, 6\text{H}_2\text{O}$
+29,8	6,80	$\text{La}(\text{H}_2\text{O})_3\text{OH}_2, 4\text{H}_2\text{O}$
+38,4	11,88	$\text{La}(\text{H}_2\text{O})_3\text{OH}_2, 4\text{H}_2\text{O}$
+45,3	11,74	$\text{La}(\text{H}_2\text{O})_3\text{OH}_2, 4\text{H}_2\text{O}$
+45,5	84,2	$\text{La}(\text{H}_2\text{O})_3\text{OH}_2, 2\text{H}_2\text{O}$
260	und oben	$\text{La}(\text{H}_2\text{O})_3\text{OH}_2, \text{La}(\text{H}_2\text{O})_2\text{OH}_2$

$$\text{Zublauftakt } \frac{dP}{dT} = \frac{Q}{T(V-v)} \quad v > v, \text{ Fl} = \frac{RT}{v}$$

$$\frac{d \ln P}{dT} = \frac{Q}{RT^2} \quad \text{geprämt durch den größten Q}$$

Gute Lösungen. Volumen + P.D. RT über d. Druck
abgestellt und entsprechendem Koeffizienten |
Grenzen offene Menge zu einem gegebenen Dampfdruck

dampffreie Rauhigkeit b. inf. Pfaffen, Pfaffenwalde

$$\frac{C_1 C_2}{C_3} = k, \frac{C_1}{C_1'} = k_1, \frac{C_2}{C_2'} = k_2, \frac{C_2}{C_3} = k_3, \frac{C_1' C_2'}{C_3'} = \frac{k_1 k_2}{k_3}$$

$$\frac{C_1' C_2'}{C_3'} = k \frac{k_3}{k_1 k_2} = k'$$

Kontinuität von Stabilität zu einer Welle = Längsdurchmesser

$$\frac{C_u}{C_u'} = 0,996 \quad C_u = C(1-\alpha), \alpha \text{ Diffusivitätsgrad}$$

$$C_u' = C(1-\beta), C' = 2C_u' + C_u, C_u' = C\left(1 - \frac{2\alpha}{C'}\right)$$

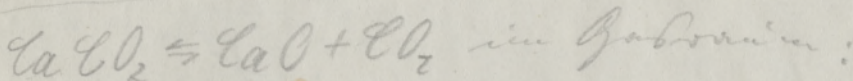
$$\frac{C_u}{C_u'} = 0,996 = \frac{C(1-\alpha)}{C'(1-\beta)}, \frac{C}{C'} = 0,996 \frac{1-\beta}{1-\alpha}$$

9. I. P. 8, 1922, 132
" 9, 1922, 259

2847

H_2 in geprägtem Metallraum feststehend dagegen

$$\frac{[H]^2}{[H_2]} = K, [H] = \sqrt{K} [\overline{H_2}] \text{ - konst } V_P$$



$$\frac{[CaO][CO_2]}{[CaCO_3]} = K, [CO_2] = K \frac{[CaCO_3]}{[CaO]}, P_{CO_2} \text{ - konst}$$

Volumink.

Kapazitätsgal

n Lösungsmittel \neq Klopfer

$$F_1(p, T, c_1, c_2 \dots c_n) = 0$$

$F_2(p, T, c_1, c_2 \dots c_n) = 0$ und c_1 bis c_n bestimmen

$$F_2(p, T, c_1, c_2 \dots c_n) = 0$$

\neq gl. zu $p, n+2$ Größen

$Z = n+2$ monovalent

$$Z-1 = n+2 \text{ monovalent } f = Z - (n+2)$$

$Z-2 = n+2$ divalent

$$\pi d\sigma = RT dx \ln \frac{p}{p'}, M dx = s d\sigma, \frac{dx}{d\sigma} = \frac{s}{M}, \pi = RT \frac{s}{M} \ln \frac{p}{p'}$$

$$\pi = RTC, c = \frac{s}{M} \ln \frac{p}{p'}, \ln \frac{p}{p'} = \frac{p-p'}{RT} = \frac{c}{s} = \frac{n}{N}$$



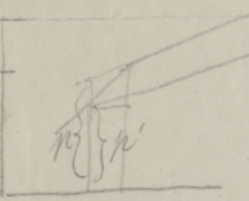
$$p - p' = hgs, P = hgs, hg = \frac{P}{s}, p - p' = Ps, s = \frac{M}{v} = \frac{M}{RT} p$$

$$P = RTC, p - p' = RTC \left(\frac{M}{RT} p \right) \frac{1}{s}, \frac{p - p'}{p} = \frac{c}{s} = \frac{n}{N}$$

$$\frac{d \ln p}{dt} = \frac{\lambda}{RT^2}, \frac{dp}{dt} = p \frac{\lambda}{RT^2} = \frac{p - p'}{T - T}, t = E \frac{m}{M} \quad c = \frac{m}{M}$$

$$\frac{p - p'}{p} = t \frac{\lambda}{RT^2} = \frac{cM}{RT}, t = RT^2 \frac{cM}{s\lambda}, \frac{\lambda}{M} = l, \frac{cm}{100} = \frac{c}{s}$$

$$t = RT^2 \frac{m}{M \cdot 100 c} = \frac{RT^2}{100c} \frac{m}{M} = \frac{0,02T^2}{100} \frac{m}{M} \quad E = \frac{0,02T^2}{l}$$



$$\frac{dp_{\mu}}{dt} = p \frac{\lambda_{\mu}}{RT^2}, \frac{dp_{\mu}}{dt} = p \frac{\lambda}{RT^2},$$

$$p - p' = \Delta p_{\mu} - \Delta p_{\mu} \cdot p \frac{\lambda_t - \lambda_{\mu}}{RT^2} t = p \frac{Q}{RT^2} t$$

$$\frac{p - p'}{p} = t \frac{Q}{RT^2}, t = E \frac{m}{M}, E = \frac{0,02T^2}{r}$$

Geöffneter Kessel, Rohrleitung, Röhre unter festem Deckel auf Boden
geöffnet gelöster Kessel, Pfeifen und Luftröhre = Zorn auf Flasche

Volumen

Diffusion, Zorn auf Lungen, Lippen, Zahnpulpa

$$\text{Hoffmann} \quad l = 539 \text{ cal} \quad E = \frac{0,02 \cdot 373^2}{539} = 5,12^\circ$$

$$t = 80 \text{ cal} \quad E = \frac{0,02 \cdot 273^2}{80} = 18,5^\circ$$

Geöffneter Kessel in
unterer Pfeife

Of. Tp. 0,05 m

Ab. ... *

Gang. 0130 m.b.t. 0,6 mm

Uppny 10 800 (011) ~~0,3~~

Kor. gr. 4 cm 2 mm 1 mm

Abschiff. an 0,1 m Gang. 0,2-0,3 mm

M. 0,7 m
Bred
Höf.

1)

$$\pi dv' = RT dx \ln \frac{\mu}{\mu'}$$

$$\frac{dv'}{dx} \quad v' = v'(1+x) = v'(x)$$

2)

$$\pi v dx - dx \int \pi dv = \pi v_0 (1 + K\pi) dx - v_0 K dx \frac{\pi^2}{2}$$

$$= \pi v_0 dx \left[1 + K\pi - \frac{1}{2} K\pi \right] = \pi v_0 dx \left[1 + \frac{1}{2} K\pi \right]$$

$$v = v_0 (1 - K\pi), \quad dv = -v_0 K d\pi \quad \pi \left(1 + \frac{1}{2} K\pi \right) = RT \frac{1}{M} \ln \frac{\mu}{\mu'}$$

$$\frac{dv}{d\pi} = -v_0 K, \quad K = \frac{1}{v_0} \frac{dv}{d\pi}, \quad \text{K in atm} \quad K =$$

3)

$$\pi = RT \frac{1}{M} \ln \frac{\mu}{\mu'} = RTc, \quad \ln \frac{\mu}{\mu'} = \frac{c}{\frac{1}{M}} = \frac{\mu - \mu'}{\mu}$$

$$\mu - \mu' = \frac{\mu}{s} c, \quad \mu_g = Kc, \quad P = \mu_e + \mu_g = \left(\frac{\mu}{s} + K \right) c$$

$$\mu'_e = \mu_e \left(1 - \frac{\mu}{s} c \right), \quad P = \mu_e \left(1 - \frac{\mu}{s} c + Kc \right), \quad P = \mu_e + \mu_g = \frac{c}{s} \mu$$

$$\mu_g =$$

Kapillare

$$\pi = RT \frac{S_{\text{eff}}}{M} \ln \frac{\mu}{\mu_0}$$

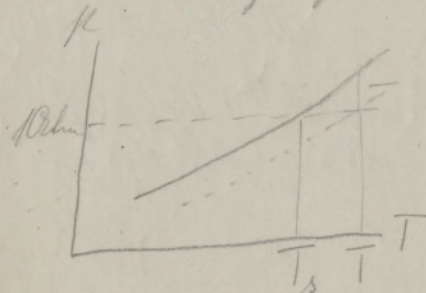
Liquidausdruck

$$\pi = RT \frac{dx}{dz} \ln \frac{\mu}{\mu'}$$

Gesamtdruck

$$\pi = RT \frac{S_{\text{tot}}}{M} \ln \frac{\mu}{\mu'}$$

Dampfaffinität var von offiziell.



$$T - T_0 = t, \mu - \mu_0 = \mu - \mu_0, \frac{\mu - \mu_0}{t} = \frac{d\mu}{dt}, \frac{\mu - \mu_0}{\mu_0} = \frac{d\ln \mu}{dt} = \frac{cM}{RT_0^2}, t = \frac{c}{s} \frac{RT_0^2}{M}$$

$$t = c \frac{RT_0^2}{s \cdot l}, t = E \frac{m}{M}, c = \frac{m}{M \cdot 100} = \frac{m \cdot s}{M \cdot 100 \cdot s}, t = \frac{c}{s} \frac{RT_0^2}{l} = \frac{m}{M} \frac{RT_0^2}{100 \cdot l} = \frac{m}{M} \frac{0,02 T_0^2}{l}$$

$$E = \frac{0,02 T_0^2}{l} \text{ Waffne } E = \frac{0,02 \cdot 373^2}{539} = 5,12 \text{ Waffne } 5,11$$

$$\ln \frac{\mu}{\mu_0} = c \frac{M}{s} \frac{1}{l} \left[\frac{T_0}{T} \right]$$

~~$$\frac{d \ln \frac{\mu}{\mu_0}}{dt} = \frac{c}{RT} \frac{1}{l} \left(\frac{T_0}{T} - \ln \frac{\mu}{\mu_0} \right)$$~~

$$\alpha_1 + \beta_1, \quad \alpha_2 + \beta_2$$

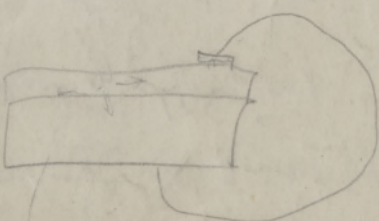
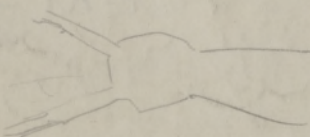
$$\alpha_1 - \alpha_2$$

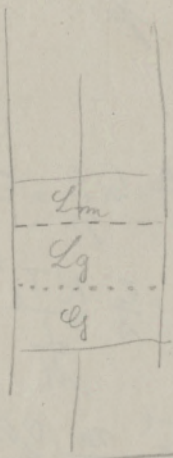
$$\ln \frac{\mu}{\mu_0} = -\frac{Q}{RT} + \text{kond} = \frac{Q}{R} \left(\frac{1}{T} - \frac{1}{T_0} \right) = \frac{Q}{R} \frac{t}{T_0^2} = c \frac{M}{s} \frac{1}{l} \frac{RT_0^2}{T_0^2} = c \frac{RT_0^2}{s \cdot l}$$

$$c = \frac{m \cdot s}{M \cdot 100}, t = \frac{m}{M} \frac{RT_0^2}{100 \cdot l} = \frac{m}{M} \frac{0,02 T_0^2}{l} = \frac{m}{M} \frac{0,02 \cdot 373^2}{80} = \frac{m}{M} 1,859$$

mit 1,860

17





$$-\pi dv = -\pi v + RT - p d\theta - RT + (\pi + d\pi)(v - dv)$$

$$-\pi d\theta = -\pi v + \pi v + v dr - \pi dv - V dp \quad pV = \text{konst}$$

$$v d\pi = V dp -$$

$$\pi dV + V dp = 0$$

Wang. $dV/dp \neq 0$

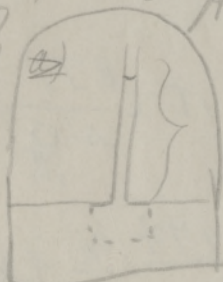
Näherung: $RT \cdot \frac{d \ln \pi}{dT} = \frac{Q + RT}{kT^2} \cdot \frac{d \ln RTC}{dT} = \frac{1}{T} + \frac{d \ln c}{dT} = \frac{C}{RT} + \frac{1}{T}$

2) $A = RT \ln \frac{v_1}{v_2}$, Ausdrückungshinweis: Null drin: $A - U = T \left(\frac{dA}{dT} \right)_{v_1} v_1$

$$RT \ln \frac{v_1}{v_2} - U = T \cdot R \ln \frac{v_1}{v_2}, U = 0$$

Möglichkeitssatz und $\frac{d \ln k_e}{dT} = \frac{U}{RT^2}$ wie bei Adiabatengesetz

3) Druckänderungsdreieck



$$p - p' = s_0 h g, s_0 = \frac{M}{V} = \frac{d}{RT} \mu, \pi = h g s_0$$

$$p - p' = \frac{M}{RT} \mu \frac{\pi}{s_0}, \pi = \frac{p - p'}{\mu} RT \frac{s_0}{M} \text{ wod. } \pi = RT \frac{s_0}{M} \ln \frac{p}{p'}$$

wod. Lfg. $\pi = RTC, \frac{p - p'}{\mu} = \frac{1 - \pi'}{\pi}, \frac{p - p'}{\mu} = \frac{c}{\pi} = \frac{n}{N}$ Kowalewski

Kowalewski: 4 Beispiele $\frac{p - p'}{\mu}$ ausdrücken T (Lab), n , c , ausdrücken $\frac{M}{N}$ Naturalsatz

$$\text{Koffer, Zylinder mit } \frac{M}{N}$$

$$\pi dv = RT dx \ln \frac{p}{p'}, dx = \frac{s}{M} d\theta \text{ für wod. Lfg. } s = s_{cg}$$

$$\pi = RT \frac{s_{cg}}{M} \ln \frac{p}{p'}$$

Für wod. Lfg.: Kowalewskiformel für s

$$\text{Abschiffen } 1 \text{ n Lfg. } N = \frac{1000}{18}, n = 1 \quad \frac{p - p'}{p} = \frac{18}{1000} = 1,8\%$$

Autorengriffel

$$d\pi = \frac{F}{Lg} - \frac{g(s - s_0)}{Lg}$$

$$\frac{d\pi}{dh} = \frac{g(s - s_0)}{Lg}$$

$$\pi = RTc, d\pi = RTdc, RT\Delta c = gh(s - s_0)$$

$$\Delta c = \frac{gh(s - s_0)}{RT} \quad R = 8,316 \cdot 10^3 \quad g = 981 \quad g = \frac{v^2}{r} = \omega^2 r = 4\pi^2 v^2 r$$

$$\Delta c = \frac{h(s - s_0)}{T} 10^{-5} \frac{\text{mol}}{\text{m}^3}, \quad \Delta c = \frac{gh(s - s_0)}{8,316 \cdot T} 10^{-4} \frac{\text{mol}}{\text{Liter}}$$

$$s - s_0 = 10^{-1}, \quad g = 4 \cdot 10^6, \quad h = 10, \quad R = 8 \cdot 10^4, \quad T = 3 \cdot 10^2$$

$$\Delta c = \frac{4 \cdot 10^6}{24 \cdot 10^2} 10^{-4} \frac{\text{mol}}{\text{Liter}} = \frac{1}{6} \frac{\text{mol}}{\text{Liter}}$$

$$s = 1,1 \quad 20\% \quad 1100 : 5 = 220 : 35 = 6,3 \quad 6 \text{ Mol}$$

$$\frac{gh}{RT} = \frac{4 \cdot 10^6 \cdot 10}{8 \cdot 10^4 \cdot 3 \cdot 10^2} = \frac{1}{6} 10^{-2} \quad s - s_0 = \frac{0,1}{6} \text{ m} \quad \Delta c = \frac{10^{-1}}{36} 10^{-2} \text{ C} + \Delta c = \frac{1}{36} \text{ C} = 0,03 \text{ C}$$

$$\frac{\Delta c}{c} = 3\%, \text{ bei } 34 \text{ kg Öl wird 1 l mit 6 Mol in 12 g zugesetzt, d.h. } s - s_0 = 0,112 \text{ m}$$

$$\text{zu } 12\% \text{ ergibt } \frac{\Delta c}{c} = 0,36\% \text{ umgekehrt } 0,36\%$$

G. Folg and G. H. F. Poole

Phil. Mag. (6) 39, 372-75 (1920)

F. A. Lindemann and F. W. Aston

Phil. Mag. (6) 39, 523-534 (1919)

2000 m alle 1000 Kugeln
zu 10%

$dA = dp(v_g - v_f) \quad Q = \lambda$
 $\frac{dA}{Q} = \frac{dT}{T} = \frac{dp(v_g - v_f)}{\lambda}, \frac{dp}{dT} = \frac{\lambda}{T(v_g - v_f)}$
 $v_1 \quad v_g \quad v \quad v_g - v_f \sim v_g \cdot \frac{RT}{p}, \frac{dp}{dT} = \frac{\lambda p}{T RT}, \frac{d \ln p}{dT} = \frac{\lambda}{RT^2}$

Wärmeaffinie:

Konstante $\frac{\lambda}{T_s} \approx 22$ Koeffizient $\frac{\lambda}{T_s} = 9,5 \log T_s - 0,007 T_s$

Koeffizient $\frac{\alpha}{T_s} \approx 2,2$

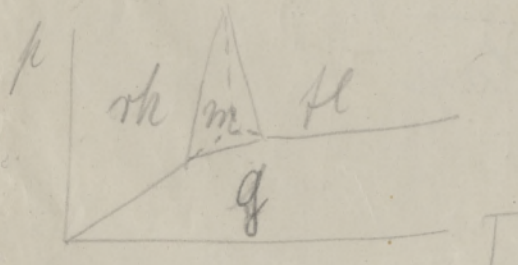
Graffo. Dreibild, Loipell.

Vibl. visum = Vibl. visum + Vibl. unsymm. $g = \lambda + \sigma$

Entsprechend $\frac{d \ln p}{dT}$ Mol. V. unsymm. $\frac{dp}{dT} = \frac{\sigma}{T(v_g - v_f)}$

Koeffiz. $T = 273 \quad \sigma = 80 \text{ cal}$

Ansatz für den Gleichgewichtszustand
unphysikal. Modifikation



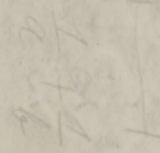
$t \quad h$
 $g \quad T$
 $\frac{d \ln p_{\text{ue}}}{dT} = \frac{\lambda}{RT^2}$
 $\frac{d \ln p_f}{dT} = \frac{\sigma}{RT^2}$

$\frac{d \ln \frac{p_f}{p_{\text{ue}}}}{dT} = \frac{\sigma - \lambda}{RT^2} = \frac{\sigma}{RT^2}$

$\ln \frac{p_f}{p_{\text{ue}}} = -\frac{\sigma}{RT} + \text{konst} = -\frac{\sigma}{RT} + \frac{\sigma}{RT_s}$
 $= \frac{\sigma}{R} \left(\frac{1}{T_s} - \frac{1}{T} \right)$

Opelzynippe Dörlin, pinzgauerische Winkels, Löffelkirsche, Bubblfloride
 Blasenpfeife: H_2O , $H_2 + \frac{1}{2} = 2H_2$, $T_c = 27$, NH_3 , $O_2 \rightarrow NH_3 + H_2O$

Reaktionen der Wasseraufschwemmung mit Wasserstoff und Sauerstoff
 1) und 2) Wasserstoff und Sauerstoff

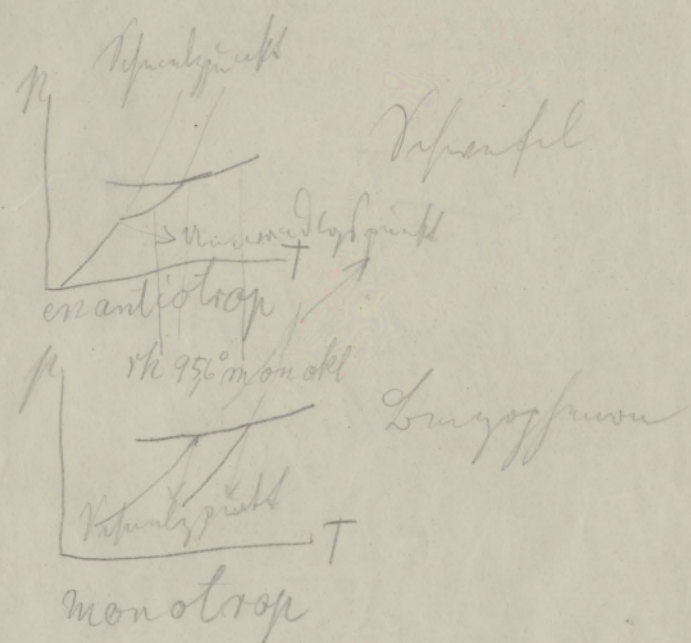


60601 - 29/1/1944

- 1) Fülligportion $\frac{dT}{dP} = C_p - C_v$
- 2) Mol. V. Dampf Druck bei Diff.
- 3) Konstanter
- 4) Verdampfungswärme
- 5) Verdampfung, Verdampfungswärme
- 6) Sublimation
- 7) Diff.: flüssig $\frac{dT}{dP} = T(v_u - v_i) + \text{od.}$
- 8) $\frac{\sigma}{T_s} \approx 2,9$
- 9) Dampfdruck, Verdampfung, Dampftropfen.

Robinie, Gudrunen, Bubblfloride

$$\frac{dT_s}{dP} = \frac{T_s(v_u - v_i)}{99,3 \cdot 4,131 \cdot 10^{-2}} = -\frac{243,0,091 \cdot 10^{-3}}{99,3 \cdot 4,131 \cdot 10^{-2}} = -0,758 \cdot 10^{-2} \text{ grad}$$



$$-C_p dT - \sigma = (6 - d\sigma) + C_v dT$$

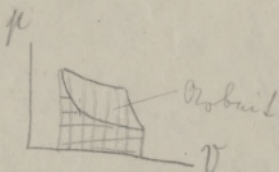
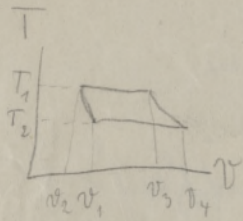
$$\frac{d\sigma}{dT} = C_p - C_v$$

$$\lambda - RT + C_v dT = C_p dT + \lambda + d\lambda$$

-RT - RdT

$$\frac{d\lambda}{dT} = C_v + R - C_{p0} = C_p - C_{p0}$$

μ v Diagonale, Menge füllt den Raum für alle



$$-A_1 = C_v(T_1 - T_2)$$

$$+ A_2 = RT_1 \ln \frac{v_2}{v_1} = Q_1$$

$$+ A_3 = C_v(T_2 - T_1)$$

$$- A_4 = RT_2 \ln \frac{v_4}{v_1} = Q_2$$

$$A = R(T_1 - T_2) \ln \frac{v_3}{v_2}$$

$$Q_1 = RT_1 \ln \frac{v_3}{v_2}$$

$$Q_2 = RT_2 \ln \frac{v_3}{v_4}$$

$$\frac{A}{Q_1} = \frac{T_1 - T_2}{T_1}, \frac{A}{Q_2} = \frac{T_2 - T_1}{T_2}$$

$$\frac{Q_1}{Q_2} = \frac{T_1}{T_2}, \frac{Q_1}{T_1} = \frac{Q_2}{T_2}$$

Möglichkeit 1:

Konzeptuell Flüssigkeit (nur z. Ord A)

$$p' v' k T_f f \rho s_0 = RT_f \ln \frac{v'}{v}$$

Zweite Möglichkeit

Massegleichheit, Par. Diff. u. d. Waff.
mit m. und s.

Dreifach Analogiegraph

Yoffman A gleich v. W.

Yoffman und Ossig A. C

$$\begin{aligned} & h \gg r \gg 2 \times 8, h g = \frac{2}{7} s \\ & p - p' = h g s_0 = h g \frac{M}{R T} p \\ & \frac{p - p'}{p} = \frac{M}{R T} h g = \frac{M \cdot 2 \cdot 8}{R T + s} = \frac{2 M \cdot 8}{R T S} \frac{1}{r} \\ & \frac{2 \cdot 18 \cdot 75}{33 \cdot 10^7 \cdot 300} = 1,1 \cdot 10^{-7}, r = 1 \mu, \frac{p - p'}{p} = 1,1 \cdot 10^{-3} \\ & = 10 \text{ a} \end{aligned}$$

$$sd\Omega = dx \cdot RT \ln \frac{p'}{p}$$

$$d\Omega = \frac{2\pi r^2}{\pi r^2} dr, \quad d\theta = 4\pi r^2 dr = \frac{r}{2} d\Omega$$

$$dx = \frac{sd\Omega}{M} = \frac{sr}{M^2} d\Omega$$

$$\gamma = \frac{sr}{2M} RT \ln \frac{p'}{p}, \ln \frac{p'}{p} = \frac{p' - p}{p} = \frac{2M \cdot 8}{R T S} \frac{1}{r}$$

$$p' - p = s_0 h g, \quad v_F = \frac{M}{s_F}$$

$$s_F h g = P, s_0 = \frac{M}{v} = \frac{M}{R T}$$

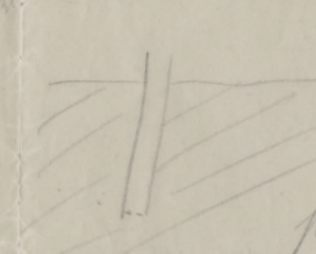
$$p' - p = \frac{P}{s_F} \frac{M}{R T}, \frac{p' - p}{p} = \frac{P v_F}{R T}$$

$$\frac{2 \cdot 18 \cdot 75}{8,3 \cdot 10^7 \cdot 300} \frac{1}{r} \approx \frac{10^{-7}}{r}, r = 10^{-4}, \frac{p' - p}{p} = 10^{-3}$$

Möglichkeit 2:

Absolut. Druck

Autogen, Autovolumenprojekt
Benzinfilz Dandy



$$\frac{dp(v_g - v_{fe})}{\lambda} = \frac{dT}{T}, \frac{dp}{dT} = \frac{\lambda}{T(v_g - v_{fe})} = \frac{\lambda n}{RT^2}$$

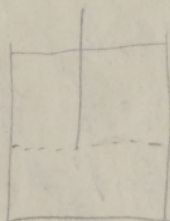
$$\frac{d \ln p}{dT} = \frac{\lambda}{RT^2}, \ln p = -\frac{\lambda}{RT} + \text{konst}$$

$$\frac{\lambda}{T_s} \approx 22, \frac{\lambda}{T} = 9,5 \log T_s - 0,007 T_s$$

$$\ln \frac{p}{p'} = \frac{2Mx}{s+RT}$$

$$m \left(2 \pi J r^2 \frac{d^2}{2} \right) = k T_s$$

$$r^2 n \sqrt{\frac{T_s}{M v^2}}$$



$$p v = RT$$

$$p' v = RT$$

$$-P v_{fe} + RT \ln \frac{p'}{p} = l$$

$$\frac{p' - p}{p} = \frac{P v_{fe}}{RT}$$

1) Ob. fl. p_f in Vakuumzylinder

2) $T_f \cdot \frac{dp}{dT} = c_H - c_f$ ist

3) Lösungsmöglichkeit bei Annahme reziproker Werte

Meng. Arbeit. II. Gleich: Volum.

$$RT - Pv_{\text{re}} + RT \ln \frac{p'}{p} = RT, \ln \frac{p'}{p} = \frac{Pv_{\text{re}}}{RT}$$

intervallfrei, ideal, $v_{\text{re}} \ll v_g$, $\frac{Pv_{\text{re}}}{RT} = 0,018, \frac{p' - p}{24} = \frac{0,018}{24} P = \frac{3}{4} \cdot 10^{-3} P$

$$\frac{Pv_{\text{re}}}{RT} \approx 24 \text{ J. pro Ahn mit gering } \frac{1000}{10} = \frac{1}{10}$$
$$d + \frac{P}{\rho} dT = R + \frac{P}{\rho} dv, \frac{dP}{\rho} = dT, \frac{dP}{\rho} = \frac{dV}{V}, \frac{dP}{\rho} = \frac{dV}{V}$$
$$hgs = P, p - p' = h dg = hg \frac{M_p}{RT} = \frac{P M_p}{SRT}, \frac{p - p'}{p} = \frac{Pv_{\text{re}}}{RT}$$

$$t_2 - t_1 = \frac{1P}{\rho P}, \delta p = 0 + 1P \Rightarrow t_2 = 1P + 0 \quad (7)$$
$$\delta + 0 = 0 \quad (8) \quad : 770 \text{ J}$$

$$(1-2) \Rightarrow \frac{1P}{\rho P} = \frac{1P}{(1-0)P/4} = \frac{1P}{0,25P} = 4$$
$$4 = 1,6 \quad (9)$$
$$1,6 \times 2 = 3,2 \quad (10)$$
$$3,2 + 2 = 5,2 \quad (11)$$
$$5,2 \times 1000 = 5200 \quad (12)$$

$$2770 - 5200 + 5200 = 0 \quad (13)$$

$$2770 - 5200 = -2420 \quad (14)$$

$$-2420 = 2420 \quad (15)$$

$$2420 = 2420 \quad (16)$$

$$2420 = 2420 \quad (17)$$

$$2420 = 2420 \quad (18)$$

$$2420 = 2420 \quad (19)$$

$$2420 = 2420 \quad (20)$$

$$2420 = 2420 \quad (21)$$

$$(\frac{\partial}{\partial T} \ln \frac{p}{p - \alpha} + \alpha \left(\frac{\partial}{\partial T} \right)) =$$

$$- \frac{\alpha}{T} + \frac{\alpha - \alpha}{T^2} = \frac{\alpha}{T}$$

$$\frac{4\pi}{3} r^3 = V, \quad V^{\frac{2}{3}} = \left(\frac{4\pi}{3}\right)^{\frac{2}{3}} r^2, \quad \theta = 4\pi r^2$$

Kugel

$$g = 75,5 \text{ dyn/cm} = 0,044 \text{ gr/cm} \quad \text{Hg} \quad 490 \frac{\text{dyn}}{\text{cm}}$$

$$S = 13,6, \quad V = \frac{200}{13,6} = 14,4 \text{ cm}^3 \quad \text{zu } 14,7^{\frac{2}{3}} \text{ cm}^3 \quad \text{Oberfläche find } N^{\frac{2}{3}} = (6 \cdot 10^{23})^{\frac{2}{3}} - 711 \cdot 10^{23}$$

$$N \text{ Oktaven abw im } 14,7^{\frac{2}{3}} N^{\frac{1}{3}} = (216 \cdot 6 \cdot 10^{23})^{\frac{2}{3}} = 216 \cdot 6^{\frac{2}{3}} \cdot 10^8 = 2,48 \cdot 10^8 = 5,05 \cdot 10^8 \text{ cm}^2$$

$$A = g \cdot \theta = 248 \cdot 490 \cdot 5,05 \cdot 10^8 = 2,48 \cdot 10^{11} \text{ erg}, \quad 1 \text{ cal} = 4,19 \cdot 10^7 \text{ erg}, \quad A = 5910 \text{ cal}$$

$$\text{auf } l = 68 \cdot 200 = 13600 \text{ cal} \quad \text{stellt } 19820 \text{ cal} \quad N^{\frac{2}{3}} N^{\frac{1}{3}} = 8,5 \cdot 10^3$$

$$(g \cdot V^{\frac{2}{3}} N^{\frac{1}{3}} = A, \quad = \rho_m N^{\frac{1}{3}}, \quad \frac{dP_m}{dT} = 2,12, \quad d = \rho_m + T \frac{d\rho_m}{dT} = \rho_m + 2,12 T N^{\frac{1}{3}})$$

$$600 \cdot 600^{\frac{2}{3}} \cdot 10^{24} \text{ erg} = \frac{600 \cdot 600^{\frac{4}{3}}}{4,2} \text{ cal} = \frac{37006 \cdot 2,4482^3}{0,9261} = 8,5 \cdot 10^3 = 1200 \text{ cal}$$

$$g \cdot V^{\frac{2}{3}} = 2,12(T_k - T), \quad T_k \text{ um } 6^\circ \text{ kleiner als Kugelflüssig.}$$

umso in der Flüssigkeit kleiner

$$\text{Volumenänderung } \delta: \quad \cancel{\rho(V_p - V_f)} \quad \rho(V_p - V_f) \text{ kleine Kugel } V_p - V_f = -0,09 \text{ cm}^3$$

$$\rho(V_p - V_f) = 9 \cdot 10^{-5} \text{ Lit.-Stm} = 9 \cdot 10^{-5} \cdot 24,1 \text{ cal} = 0,0022 \text{ cal} \quad \text{Volumenänderung pro 1 cal}$$

$$\delta + c_\mu dT = \delta + d\delta + c_f dT \quad \text{Fakturkoeffizient } c_\mu dT + \delta = c_f dT + \delta + d\delta$$

$$d\delta = (c_\mu - c_f) dT, \quad \frac{d\delta}{dT} = c_\mu - c_f \quad \text{und nur für Kugel } \rho, \text{ nicht für Flüssigkeit}$$

$$\lambda = \rho(V_p - V_f) + c_\mu^0 dT = c_\mu dT + \lambda - d\lambda - (RT d\rho)(V_p - dV_p - V_f + dV_f)$$

$$d\lambda = c_\nu^0 dT + R dT - c_\mu^0 dT, \quad \frac{d\lambda}{dT} = c_\nu^0 - c_\mu^0 \quad \text{Nur f. } \underline{\text{id. wahl }} \text{ Obj.}$$

$$\text{Volumenänderungskoeffizient } \alpha = \delta + \lambda, \quad \text{Volumenänderung}$$

$$\text{Wärmekapazität } C_p = \rho T \ln \frac{V_2}{V_1} \quad \text{Wärmekapazität } C_p = \text{volumenf. Kapazität}$$

Auswirkung von Wärme

2. Klasse

2)

Von Pfeil $\frac{1}{2} \text{ der Flughöhe}$ bis unterhalb der Flughöhe gilt
 Atmosphärendruck gilt: $p \cdot v = p_0 v_0 (1 + \alpha t)$, $\alpha = \frac{1}{273}$ $\text{auf } 1 \text{ m}^2$
 $p \cdot v \cdot \text{Konst} (T \text{ konst})$, $p = p_0 (1 + \alpha t) (v \text{ konst})$, $v = v_0 (1 + \alpha t) (p \text{ konst})$
 Konst für ziffernreiche, falls Welle $T = t + 273$

$$p \cdot v = p_0 v_0 \left(1 + \frac{t}{273}\right) = \frac{p_0 v_0}{273} T \quad T = \text{konst} \quad T = \text{konst} \quad T = \text{konst}$$

Keine absoluten Werte v_0 , p_0 , t , v , p , T . v_0 , p_0 , t , v , p , T sind voneinander abhängig.

~~$$I \quad p = \frac{1}{2} \rho g^2, \quad C_p = \frac{1}{2} \rho g^2$$~~

~~$$\frac{1}{3} n \frac{C}{2} \frac{1}{6} \text{ cm} = \frac{1}{6} \rho g^2$$~~

1000 Molatm O_2 von 0° :

über 100 m	13-14	1,3%
100-200	81-82	8,2%
200-300	166-167	16,4%
300-400	214-215	21,5%
400-500	202-203	20,2%
600-700	91-92	4,9%
über 700	76-77	7,6%

$$\begin{array}{c} \uparrow \\ 1 \quad 2 \\ \downarrow \\ 1 \quad 1 \quad 1 \end{array} \quad C = \frac{1}{2} \cdot \mu = \frac{3 \cdot 1 \cdot 10^6}{10^{-3}} = 30 \cdot 10^8$$

$$\sqrt{C} = 5,6 \cdot 10^4 \frac{\text{cm}}{\text{sec}} = 500-600 \frac{\text{m}}{\text{sec}}$$

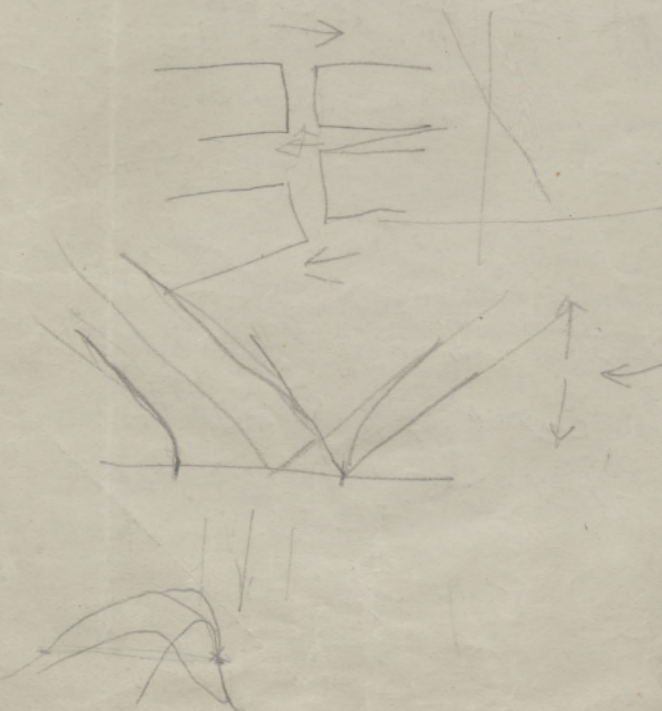
$$q = 0,03 = 0,12 \frac{\text{m}}{\text{sec}}, \quad p = \frac{1}{2} \rho C^2$$

$$q = 0,12 \frac{\text{m}}{\text{sec}} = 0,12 \cdot 30 = 0,12 \cdot 30$$

$$\partial A = 0$$

$$C_w \quad T \rightarrow T+1, \quad v_T - v_{T+1}$$

$$C_p \quad A = p(v_{T+1} - v_T) = R$$



3. Natur

$$pV = RT, \rho = \frac{1}{3}nm c^2, pV = \frac{1}{3}Nm c^2 = \frac{1}{3}dmc^2 \quad \begin{matrix} \text{Normal} \\ 22,412 \end{matrix}$$

$$\frac{1}{2}m.c^2 = \frac{1}{3}m.c^2 \text{ kinet. Energie}, \rho_1 = \rho_2, T_1 = T_2, n_1 = n_2$$

$$\text{Draufg. Grav. } \rho_{\text{gas}} = \frac{3pV}{M} = \frac{3RT}{M} : \frac{3p}{M} c^2 \frac{1}{3}, c = 158 \sqrt{\frac{T}{M}} \frac{\text{m}}{\text{sec}} \quad \begin{matrix} 0.461 \\ N_2 492 \end{matrix} \quad \left. \begin{matrix} \text{bei } 0^\circ \\ H_2 1844 \end{matrix} \right\}$$

$$\text{Maxwell'sche Grav. } dn = n \frac{4}{\alpha^3 \sqrt{\pi}} C^{-\frac{C^2}{\alpha^2}} dC \quad (\text{vgl. Phys. von W.})$$

Nat. Kinetik: Zwei f. Ordnungsf.

$$1\text{-cal} = 4,19 \cdot 10^7 \text{ erg}, 1 \text{Kcal} = 460 \cdot 13,6 \frac{10^{33} \text{ erg}}{\text{cm}^2} = 1,0132 \cdot 10^6 \text{ dyn}$$

$$R = 8,316 \cdot 10^7 \text{ cal/g} = 0,08207 \text{ Lst. } \text{Lst.} = 1,985 \text{ cal} \quad 1 \text{ erg} = 0,239 \cdot 10^{-7} \text{ cal}$$

$$A_{\text{CO}} \quad \begin{matrix} A_{\text{CO}} + A_{\text{O}} = A_1 + A_2 \\ 2700 = 0 \\ 3C_p - C_o = R \end{matrix} \quad \begin{matrix} A_1 + A_2 = 4,186 \cdot 10^7 \text{ erg} \\ 4) \frac{3}{2} R \text{ ist s.} \end{matrix}$$

Natur Kinetik

4. Natur

$$\text{Wärmef. Zyg., Natur Kinetik: } C_p, \frac{\partial U}{\partial V} = 0 \text{ Differenz}$$

$$\text{Gesetz } p(V_2 - V_1) + C_p(T_2 - T_1) = C_v(T_2 - T_1) + p(V_2 - V_1)$$

$$C_p = C_v + R$$

5. Natur

$$\text{Adiab. Gesetz: } pV^k = \text{const. } \frac{R}{k-1} = \frac{C_p}{T} dT, R \ln \frac{V_2}{V_1} = C_p \ln \frac{T_1}{T_2}$$

$$\left(\frac{V_2}{V_1} \right)^k = \left(\frac{T_1}{T_2} \right)^{C_p}, \left(\frac{V_2}{V_1} \right)^{k-1} = \frac{T_1}{T_2}, k = \frac{C_p}{C_v}, V_2 > V_1, T_2 < T_1$$

$$V_2 = \frac{RT}{p} \left(\frac{p_1}{p_2} \right)^{k-1} \frac{T_2}{T_1} = \frac{T_2}{T_1} \frac{p_1}{p_2}$$

$$\left(\frac{p_2}{p_1} \right)^{k-1} = \left(\frac{T_2}{T_1} \right)^{\frac{k-1}{k}} = \frac{T_2}{T_1}^{\frac{k-1}{k}}, T_2 < T_1, \frac{k-1}{k} < 1 \quad \left(\frac{V_2}{V_1} \right)^{k-1} = \frac{T_1}{T_2} = \left(\frac{p_1}{p_2} \right)^{\frac{k-1}{k}}, \left(\frac{V_2}{V_1} \right)^k = \frac{p_1}{p_2}$$

$$p_1 V_1^k = p_2 V_2^k, p_1 V_1^k = \text{const.}, p_1 = \frac{\text{const.}}{V_1^k}, p_2 = \frac{\text{const.}}{V_2^k}, k > 1 \text{ f. adiab. Zustand, und}$$

ΔH f. Zustand

Adiab. Zustand: $\Delta H = \frac{R}{k-1} \ln \frac{V_2}{V_1}$, $V_2 = V_1 \cdot \left(\frac{p_2}{p_1} \right)^{\frac{1}{k-1}}$, $T_2 = T_1 \cdot \left(\frac{p_2}{p_1} \right)^{\frac{k}{k-1}}$, $\frac{T_2}{T_1} = \left(\frac{p_2}{p_1} \right)^{\frac{k}{k-1}}$, $\frac{V_2}{V_1} = \left(\frac{p_1}{p_2} \right)^{\frac{1}{k-1}}$

$$\text{Adiab. Zustand: } \frac{1}{k-1} \ln \frac{V_2}{V_1} = \frac{1}{k-1} \ln \frac{p_1}{p_2} = \frac{1}{k-1} \ln \frac{p_1}{p_2} = \frac{1}{k-1} \ln \frac{p_1}{p_2} = \frac{1}{k-1} \ln \frac{p_1}{p_2}$$

Wärme Koeffiz.

$$A = RT - \pi v - p d\theta - RT + (\pi + d\pi)(v - dv) + \pi dv = 0$$

$$-\theta dp + v d\pi = 0, \frac{d\pi}{dp} = \frac{v}{\theta} = k, \pi = kp = \frac{v}{\theta} p = \frac{RT}{\theta}$$

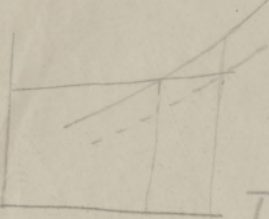
Maffeng: Drucks in Spur u. d. Höffn., Moos u. Vorgo, Flabundopp (in Vorr.)
Grauolpp, Spur u. d. Spur

Maffeng: Drucks in Mol. u. Maffeng: Druck u. Temperatur
und Druck in Mol. u. Maffeng: Druck u. Temperatur
Löschung, Autograft

$$A = RT \ln \frac{v_0}{v} \quad \text{Maffeng: Drucks in Spur u. d. Höffn., Löffel mit RT}$$

$$\frac{d \ln c}{dT} = \frac{Q}{RT^2}, \quad \text{Maffeng: Drucks in Spur u. d. Höffn., Löffel mit RT} \quad \frac{d \ln RTc}{dT} = \frac{1}{T} + \frac{d \ln c}{dT} = \frac{Q}{RT^2}, \quad \frac{d \ln c}{dT} = \frac{Q - RT}{RT^2}$$

$$\pi = RT \frac{dx}{dv} \ln \frac{p}{p'}, \quad dv = \frac{M dx}{s_0}, \quad \frac{dx}{dv} = \frac{s_0}{M}, \quad \pi = RT \frac{s_0}{M} \ln \frac{p}{p'} = RTC$$



$$\ln \frac{p}{p_0} = \frac{c}{s_0} = \frac{n}{N}, \quad \ln \frac{p}{p_0} = \frac{\lambda}{R} \left(\frac{1}{T_0} - \frac{1}{T} \right) = \frac{\lambda(T-T_0)}{RTT_0} = \frac{\lambda t}{RT_0^2}$$

$$\ln \frac{p}{p_0} = \frac{\lambda t}{RT_0^2}, \quad \frac{dt}{s_0} = \frac{dt}{RT_0^2}, \quad t = \frac{c}{s_0} \frac{RT_0^2}{\lambda}, \quad t = E \frac{m}{M}, \quad \frac{m}{M} = \frac{c100}{s_0}$$

$$t = E \frac{m}{M} = E \frac{c100}{s_0} = \frac{c100}{s_0} \frac{RT_0^2}{100\lambda}, \quad E = \frac{0.02T_0^2}{\lambda}$$

$$\pi = RT \frac{s_0}{M} \ln \frac{p}{p_0}, \quad \ln \frac{p}{p_0} = \frac{\lambda t}{RTT_0}, \quad \pi = RT \frac{s_0}{M} \frac{\lambda t}{RTT_0} = \frac{s_0 \lambda t}{T_0} = RTC$$

$$t = \frac{RTT_0}{\lambda} \frac{c}{s_0}$$

$$\ln \frac{p}{p_0} = \frac{\lambda}{R} \left(\frac{1}{T_0} - \frac{1}{T} \right) = \frac{\lambda t}{RTT_0}$$

$$\pi = RT \frac{s_0}{M} \ln \frac{p}{p_0} = RT \frac{s_0}{M} \frac{\lambda t}{RTT_0} = \frac{s_0 \lambda t}{T_0}$$

$$\frac{d \ln K}{dT} = \frac{d}{RT^2}, \frac{dU}{dT} = c, U = U_1 + \int_{T_1}^{T_2} c dT$$

$$\frac{d \ln K}{dT} = \frac{U_1}{RT^2} + \int_{T_1}^{T_2} \frac{c dT}{RT^2}$$

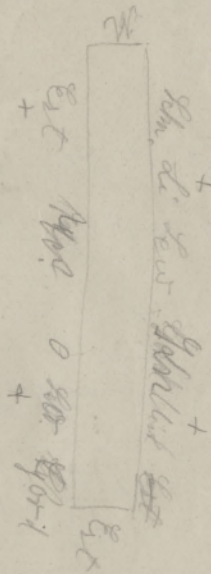
$$\ln \frac{K_2}{K_1} = \frac{U_1}{R} \left(\frac{1}{T_1} - \frac{1}{T_2} \right) + \int_{T_1}^{T_2} \frac{c dT}{RT^2}$$

$$\text{Clearing } U = U_1 + CT_1 - cT_2$$

$$\ln \frac{K_2}{K_1} = \frac{U_1}{R} \left(\frac{1}{T_1} - \frac{1}{T_2} \right) + \frac{C}{R} \ln \frac{T_2}{T_1} - \frac{C}{R} \left(\frac{1}{T_1} - \frac{1}{T_2} \right)$$

$$\ln \frac{K_2}{K_1} = \frac{U_1 - CT_1}{R} \left(\frac{1}{T_1} - \frac{1}{T_2} \right) + \frac{C}{R} \ln \frac{T_2}{T_1}$$

Jan 2 1914 [4] 43, 1258 (1914)
L. S. 1919 I 1918



Prinzipien und Tafeln für die Gasaffären

$$\frac{dA}{dx} = \sigma dv = RT dx \ln \frac{p}{p_0} \quad \text{vgl. oben! Lohy}$$

$\frac{dv}{dx}$

W. Dampf Zoff: $dv = \frac{M dx}{s}$, $\frac{dA}{dx} = \frac{M}{s}$, $\ln \frac{p}{p_0} = c \frac{M}{s} = \frac{p - p'}{p}$

$$p - p' = h \text{ o. d.h. } p v = RT, v = \frac{RT}{p}, \frac{v}{M} = \frac{RT}{Mp}, \sigma = \frac{M}{v} = \frac{p M}{RT}$$

$$\sigma = h s', p - p' = \frac{h M}{RT} \quad \text{d.h. } p - p' = \sigma \frac{s'}{s} = \frac{\sigma}{s} \frac{p M}{RT}$$



$$\frac{p - p'}{p} = \frac{\sigma}{RT} \frac{M}{s'} = c \frac{M}{s'}$$

~~$$s' dh = \cancel{h} (p - p') \cancel{p} = \cancel{h} \cancel{p}, \sigma = \frac{M}{RT} p, d\mu = \sigma dh = \frac{M}{RT} p dh$$~~

~~$$p - p' = \cancel{s' dh} = M dh = - \frac{RT}{p} \frac{dp}{p}, h = \frac{RT}{M} \ln \frac{p}{p_0} = \frac{\sigma}{s'}$$~~

~~$$\ln \frac{p}{p_0} = \frac{\sigma}{RT} \frac{M}{s'}$$~~



$$\ln \frac{p}{p_0} = c \frac{M}{s}, \ln p = \frac{\lambda}{RT} + \text{konst}, \ln \frac{p}{p_0} = - \frac{\lambda}{R} \left(\frac{1}{T} - \frac{1}{T_0} \right)$$

$$\ln \frac{p}{p_0} = - \frac{\lambda}{R} \frac{T_0 - T}{TT_0} = \frac{\lambda}{R} \frac{T - T_0}{TT_0} = \frac{\lambda}{R} \frac{t}{T_0^2} = c \frac{M}{s} - \frac{\lambda}{R}$$

$$t = \frac{RT_0^2}{\lambda} \frac{M}{s} c = \frac{RT_0^2}{\lambda} \frac{c}{M} s = \frac{RT_0^2}{\lambda} n = \frac{2T_0^2}{\lambda} n \text{ mit } \frac{0,02T_0^2}{\lambda} n, \text{ falls } n'$$

Zahl Molengeschäfte pro g Stoff pro 100 g ist:

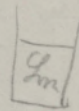
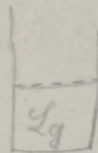
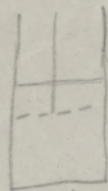
$$n = \frac{m}{M}, t = \frac{m}{M}, \mathcal{E} = \frac{0,02T_0^2}{\lambda}$$

$$\ln p_r - \ln p_0 = c \frac{M}{s}, \ln p_r = \ln p_0, \ln p_r = \ln p_0 + c \frac{M}{s} = \ln p_0 + \frac{\lambda}{R} \frac{t}{T_0^2}$$

$$\ln p_r = - \frac{\lambda}{RT} + \text{konst}, \ln p_r = - \frac{\lambda}{RT_0} + \mathcal{E}, \ln p_r = \ln p_0 + \frac{\lambda}{R} \left(\frac{1}{T_0} - \frac{1}{T} \right)$$

$$dV = \frac{RT}{P}, dV = -\frac{RT}{P^2} dP$$

$$PV = \text{konst} \quad dV = -\frac{V}{P} dP$$



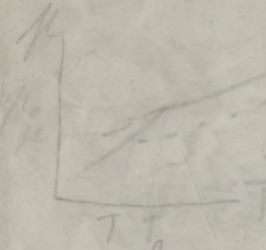
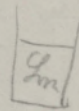
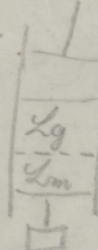
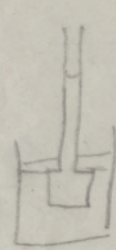
$$RT - (P - dP)(V + dV)$$

$$\pi dV = -\pi V + \cancel{\pi PV} + \cancel{\pi dV} - RT + (V - dV)(V + dV)$$

$$\pi dV = V dP + V dV + \pi dV, V dP = V dV$$

$$dV = \frac{V}{P} dP, \pi = kP = \frac{V}{P} \frac{RT}{V} = \frac{RT}{V}$$

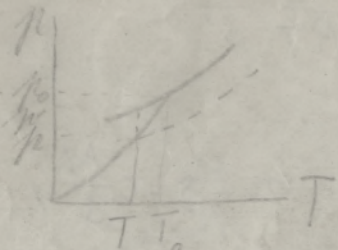
$$\ln p' = \ln p_t, \ln p_{t_0} - \ln p' = C \frac{M}{S} = \ln p_{t_0} - \ln p_t$$



$$\ln \frac{p'}{p_t} = C \frac{M}{S}, \ln$$

$$\ln p_t = -\frac{C}{RT} + C$$

$$\ln p_{t_0} = -\frac{C}{RT_0} + C$$



$$\ln \frac{p_{t_0}}{p_t} = -\frac{C}{RT} + \text{konst} = \frac{C}{RT_0} \quad \text{ist, da } \frac{p_{t_0}}{p_t} = 0$$

$$\ln \frac{p_{t_0}}{p_t} = 0$$

$$C = +\frac{G}{RT_0} + \text{konst}, \text{ konst} = \frac{G}{RT_0}, \ln \frac{p_{t_0}}{p_t} = \frac{G}{RT_0} - \frac{G}{RT_0} = \frac{G}{R} \frac{T_0 - T}{T T_0} = \frac{G}{RT_0}$$

$$\ln \frac{p'}{p_t} = \ln \frac{p_{t_0}}{p_t} = \frac{G}{RT_0} = C \frac{M}{S}, t = \frac{RT_0^2}{M} \frac{C}{S} = F_n$$

Maximales Gasvolumen
in einem Gefäß

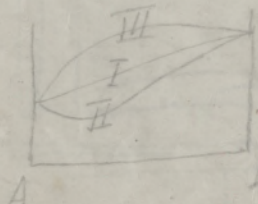
100g
M. 600
2 4 1

$$A - U = T \frac{dA}{dT} \quad A = RT \ln \frac{V_2}{V_1} \quad \frac{dA}{dT} = R \ln \frac{V_2}{V_1}$$

$$U = A - T \frac{dA}{dT} \quad U = 0 \quad (\text{wegen } \frac{dA}{dT} = \frac{A}{T}, d \ln T = d \ln A) \quad A = \text{konst.}, T =$$

Stoß. Lösgase. Molarbrpt.

Mischung von 2 Stoffen. Verzug der Reaktion 3. Ordnung
(oder eindeutig von Reaktionsschicht)



Allgemeine Vorf.

Ergebnis für Stoß. Reaktionen auf dem Ziffern

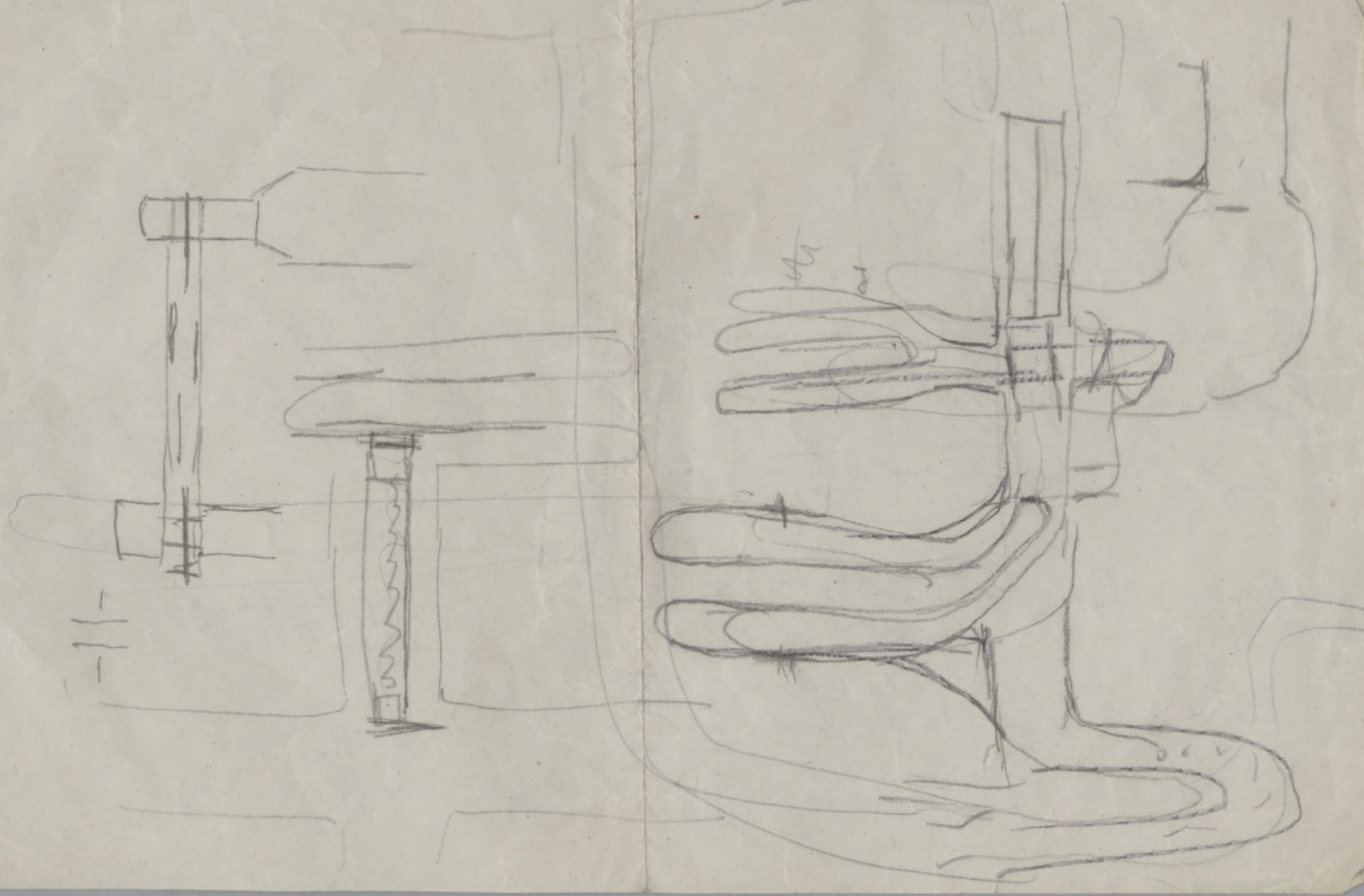
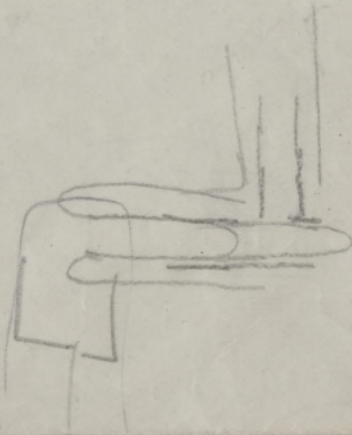
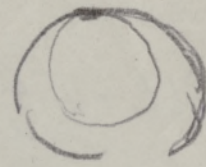
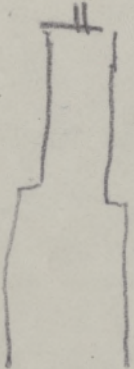
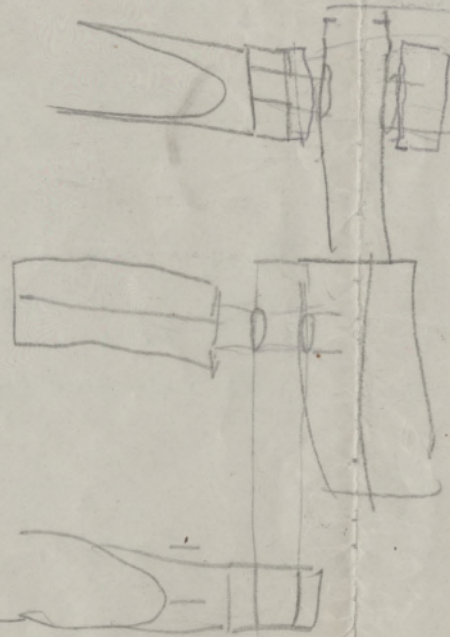
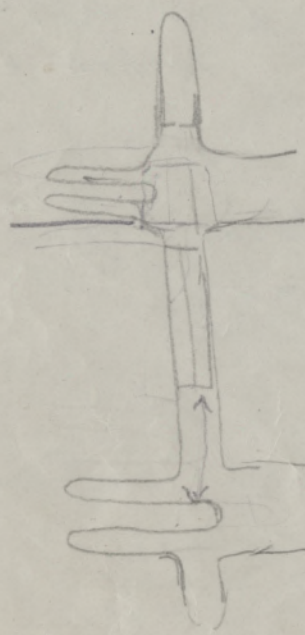
2) Komplexe.

Moy. dampf. Min. Druck. Dampf 90% Dampf 4% Wasser $\xrightarrow{\text{Mischung}} \text{Mischung. C}_2\text{H}_2$
Min. " Moy. " Rückstand $\text{H}_2\text{O}, \text{HNO}_3 + \text{H}_2\text{O}$ $\xrightarrow{\text{H}_2\text{O}} \text{Nikotin}$

Moy. Wasser Propan, Wasser Lanthan, Ölweiß. Glorosan, Öl. Lantol, Wasser Benzylalkohol
Min. Wasser $\xrightarrow{\text{Wasser}} \text{Wasser, Wasser-Lanthan, Wasser-Benzylalkohol. Öl. Lantol.}$
Kreiseln sind: Wasser. Wasser, Öl. Lantol, Öl. C₂H₅, Wasser. C₂H₆.
Grundlinie: Lantol Wasser, Lantol. Wasser, Lantol-Wasser, Wasser-Benzylalkohol. Wasser-Benzylalkohol.
oder Molakulär. Wasser-Benzylalkohol.

Aufbau. Mischung: $x_1 \frac{d \ln p_1}{dx_1} = x_2 \frac{d \ln p_2}{dx_2}$ oder $x_1 \frac{d \ln p_1}{dx_1} + x_2 \frac{d \ln p_2}{dx_2} = 0$

$$\text{indirekt} \quad \frac{x_1}{p_1} \frac{dp_1}{dx_1} - \frac{x_2}{p_2} \frac{dp_2}{dx_2} \quad \frac{\frac{dp_1}{dx_1}}{\frac{dp_2}{dx_2}} = \frac{x_2}{x_1} \frac{p_1}{p_2}$$



$$A = RT \ln \frac{P_A^\circ P_B^\circ}{P_{AB}^\circ} - RT \ln \frac{P_A P_B}{P_{AB}} - RT$$

$$\frac{P_A \cdot P_B}{P_{AB}} = K_p, P_A^\circ = P_B^\circ = P_{AB}^\circ = 1, A = -RT \ln K_p - RT$$

$$A = -4,57 \cdot T \log K_p - 1,985 T \text{ cal}$$

Wasserstoff $T = 1000^\circ$ $K_p = 10^{-20} = \frac{P_{O_2} P_{H_2}^2}{P_{H_2O}^2}, P_{O_2} \approx 10^{-4}, P_{H_2} \approx 2 \cdot 10^{-7}$

$$A = -4,57 \cdot 1000 \cdot -20 - 1,985 \cdot 1000 = -91,4 - 1,985 \cdot 1000 \approx 90000 \text{ cal}$$

$T = 100^\circ \text{J}, T = 373, P_{O_2} \approx 10^{-20} K_p \approx 10^{-60} A \approx 3 \text{ mal } 10^{-60}$

$$P = \frac{RT}{V}, A = RT \ln \frac{V_{AB}^\circ}{V_A^\circ V_B^\circ} - RT \ln \frac{V_{AB}}{V_A V_B} - RT$$

$$K_c = \frac{V_A V_B}{V_{AB}}, A = RT \ln K_c - RT, K_c = \frac{C_A C_B}{C_{AB}}, A = -RT \ln K_c - RT$$

Allgemein $\nu_1 A + \nu_2 B + \dots = \nu'_1 A' + \nu'_2 B' + \dots K_c = \frac{[A]^{\nu_1} [B]^{\nu_2} \dots}{[A']^{\nu'_1} [B']^{\nu'_2} \dots}$

$$A = -RT \ln K_c - \nu RT, \nu = \nu_1 + \nu_2 + \dots - \nu'_1 - \nu'_2 - \dots$$

Diffusionskoeffizient α , $\frac{P_{\gamma_2}}{P_{\gamma_1}} = K$, $P = P_{\gamma_1} + P_{\gamma_2}$, Gesamtmenge $1+\alpha$
mit $\frac{1}{M_{\gamma_1}} \frac{1}{M_{\gamma_2}}$
und $\frac{1}{M_{\gamma_1}} \frac{1}{M_{\gamma_2}}$

$$P_{\gamma_1} = \frac{2\alpha}{1+\alpha} P, P_{\gamma_2} = \frac{1-\alpha}{1+\alpha} P, \frac{4\alpha^2(1+\alpha)P^2}{(1+\alpha^2)(1-\alpha)P} = \frac{4\alpha^2}{1-\alpha^2} P = K$$

Zur Gleichung und direkt auf Diff. zurück

$$A + dA - A + \delta A = dA$$

$$\frac{dA}{\delta} = \frac{dT}{T}, Q = A - U, \text{U} \text{ fügt sich zu } (A - U + Q)$$

$$\frac{dA}{dT} = \frac{Q}{T} = \frac{A-U}{T}, A = -RT \ln K_c \rightarrow RT$$

$$\frac{dA}{dT} = -R \ln K_c - RT \frac{d \ln K_c}{dT} \rightarrow R = -R \ln K_c \rightarrow R = -\frac{U}{T}$$

$$\frac{d \ln K_c}{dT} = \frac{U}{RT^2}, \bar{P} = RTc, K_p = \frac{P_A P_B}{P_{AB}} = \frac{C_A C_B}{C_{AB}} RT = K_c (RT)^2$$

$$K_c = \frac{K_p}{(RT)^2}, \frac{d \ln K_c}{dT} = \frac{d \ln K_p}{dT} - \frac{\nu d \ln RT}{dT} = \frac{d \ln K_p}{dT} - \frac{\nu}{T}$$

$$\frac{d \ln K_p}{dT} = \frac{U}{RT^2} + \frac{\nu}{T} = \frac{U + \nu RT}{RT^2} = \frac{Q_p}{RT^2}, U = Q_a$$

Hydrogenation, Katalyse (Dr. Löffel)

Diffusion $\frac{dA}{dT} = 0$

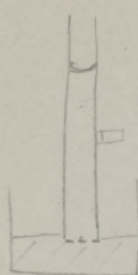
Reaktionsgesch. Zersetzung, Zersetzung

Hydro. Wissenswertes zu Dr. Löffel, Katalyse

Nic. Thiele, May, Oppz.

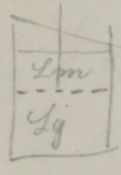
C_2H_5OH Paul Wiss.

$$-dp = gS' dh, S' = \frac{M}{V}, V = \frac{RT}{p}, S' = \frac{M}{RT} p,$$



$$\pi = h s_{eq} \quad -dp = \frac{dM}{RT} pdh, \frac{dnp}{dh} = \frac{-M}{RT}, \ln \frac{p_1}{p_2} = \frac{M}{RT} (h_2 - h_1)$$

$$\ln \frac{p}{p'} = \frac{M}{RT} h, h = \frac{M}{RT} \frac{p}{s_{eq}}, \pi = RT \frac{s_{eq}}{M} \ln \frac{p}{p'}$$

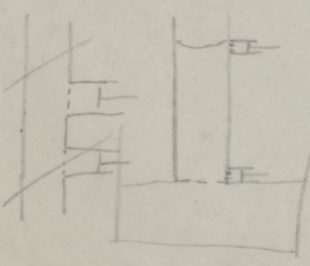


$$\pi dV = RT dx \ln \frac{p}{p'}, \pi = RT \frac{dx}{dV} \ln \frac{p}{p'}$$

$$dV = dx \frac{M}{s_{eq}} \quad \frac{dx}{dV} = \frac{s_{eq}}{M}$$

fuller Kriech Annäherung

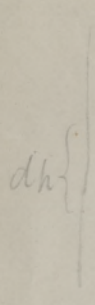




$$\pi_o dV = \pi_u dV + s_{eq} h dv$$

$$\pi_o dx = s_{eq} h dv$$

$$\pi_u = s_{eq} gh$$



$$s_{eq} g dh = dV$$

$$\pi_o dh = s_{eq} gh$$

$$\pi_o =$$

Gleichförmig.

Ziff. Taug., $\rho v = RT$, $p = \frac{1}{3} n m \bar{c}^2$, Maxwell, von Noyl, Mol. = μr ,

$$\frac{1}{2} M \bar{c}^2 = \frac{3}{2} RT, c_0 = \frac{3}{2} R, 1. \text{ Ziff. } c_p - c_0 = R, c_v = n \frac{1}{2} R$$

Adiabat. $p dv = -c_v dT = \frac{R}{v} dT, v^{g-1} \cdot T = \text{konst}$

$$(p + \frac{g}{\gamma_2})(v - b) = RT, \text{ Volumenfunkf. } \Delta T = \frac{2a}{c_v + R} \Delta p, \text{ Adiab. Gleichf. } \boxed{h}$$

$$Volumenfunkf. \text{ Ziff. } (\gamma + \frac{3}{\gamma_2})(3g - 1) = 87$$

$$n = 2 d \cos \delta, C = 3 R, \text{ konstant}, \delta = v(T_1) - v(K)$$

$$v_k = 3b$$

$$p_k = \frac{g}{27 R^2}$$

$$T_k = \frac{8}{27} \frac{a}{R k}$$

$$\frac{\rho_k v_k}{RT_k} = \frac{3}{8}$$

Ziff. $n = 2 d \cos \delta, C = 3 R, \text{ konstant}, \delta = v(T_1) - v(K)$

$$\text{Stiff. } \frac{d(8v_k^2)}{dT} = -2, 12$$

Mischf.

$$\text{Ziff. } \frac{d\sigma}{dT} = C_F - C_A, \sigma = 3 + 3, \frac{d\sigma}{dT} = C_F - C_A$$

2. Z. T.

$$\text{Misch. Arbeit. } \text{Volumen } 1) \ln \frac{P'}{P} = \frac{P v_{A2}}{R T} \ln \frac{P'}{P} = \frac{2 M}{R T s_{p1}} \xrightarrow{2) 3) \boxed{h}}$$

Lamadrid'sche Z. phys.

$$\frac{A}{Q_1} = \frac{T_1 - T_2}{T_1}, \frac{Q_1}{T_1} = \frac{Q_2}{T_2}, A = Q_1 - Q_2 \text{ Mischf. Arbeit. } \text{Volumenf. } \text{Mol. f. Z. phys.}$$

$$\text{Adiabat. } \boxed{h} \quad \frac{dp(v_g - v_{p1})}{dT} = \frac{d\sigma}{dT}, \frac{dp}{dT} = \frac{\lambda}{T(v_g - v_1)}, \frac{d\ln p}{dT} = \frac{\lambda}{RT^2}, \text{ Mol. f.}$$

Monteiro $\frac{1}{T} \approx 22$, Ziff. Volumenf. Mischf.

Mischf. f. feste Mater.

$$\text{Adiab. Ziff. } P = P_1 + P_2 + \dots \text{ Volumenf. Mischf. } \boxed{h} + A = RT \ln \frac{v_1 + v_2}{v_1} + RT \ln \frac{v_1 + v_2}{v_2}$$

$$\text{Mischf. Ziff. } \frac{dP_{lls_5}}{dt} = k, P_{lls_3}, Q_2 = -\frac{dP_{lls_5}}{dt} = k_2 P_{lls_5}, \frac{P_{lls_5}}{P_{lls_3} Q_2} \frac{k_2}{k_1} = k$$

$$A = -RT + RT + RT = RT, RT \ln \frac{P_{AB}}{P_{AB}} + RT + RT \ln \frac{P'_A}{P_A} + RT \ln \frac{P'_B}{P_B} = RT,$$

$$\frac{v_{100} - v_0}{100} \quad t = \frac{v - v_0}{\frac{v_{100} - v_0}{100}} \cdot 100$$

$t = 1 \text{ min}$

$$V = \pi r^2 h = 3,14 \cdot 0,01 \cdot 0,0314 \frac{\text{cm}}{\text{cm}} = 0,1256 \frac{\text{cm}}{\text{cm}}$$

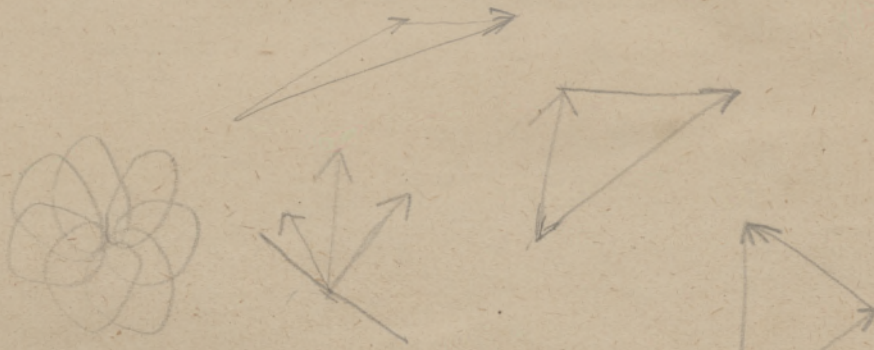
$r = 2 \text{ mm}$

Molar 50 cm long $v_{100} - v_0 = 6,28 \text{ cm}$ $\frac{v_{100}}{v_0} = \frac{373}{273}$, $\frac{v_{100} - v_0}{v_0} = \frac{100}{273}$

$$v_0 = \frac{273}{100} 6,28 \text{ cm} = 17,14 \text{ cm}$$

$$v - v_0 = t \frac{v_{100} - v_0}{100}$$

$$uV = mc^2 \quad s = \frac{4}{3} \frac{u}{T}, \quad sV = \frac{4}{3} \frac{mc^2}{T}$$



- 1) Gasstrommetrie
- 2) Langlebigkeit
- 3) Molekulaerstrahlung
- 4) ~~Wärme Kapazität~~ Temperatur
- 5) Radiobasischer Wärmeaustausch
- 6) Ionische Konzentration

$$\rho = \frac{m}{r^3}$$

$$G = \frac{e}{r} - \frac{e}{(r+dr)^2} = \frac{e}{r^2} \left(1 - \frac{1}{1+\frac{dr}{r}}\right) = \frac{2e dr}{r^3} = \frac{2m}{r^3}$$

$$F = \frac{2me}{r} \left(\frac{1}{r^3} - \frac{1}{(r+dr)^3}\right) = \frac{2me}{r^3} \left(1 + \frac{1}{1+3\frac{dr}{r}}\right) = \frac{6m, m_2}{r^4}$$

$$d = \frac{dy}{dt} \quad \frac{d \frac{1}{r^3}}{dt} = -\frac{3}{r^4} \quad y = \frac{2m, m_2}{r^3} = \frac{2 \cdot 10^{-36}}{R^3 10^{-24}} = \frac{2 \cdot 10^{-12}}{R^3} \quad R = 10 \quad y = 2 \cdot 10^{-15}$$

$$k = \frac{R}{N} = \frac{83 \cdot 10^{17}}{6 \cdot 10^{23}} = 14 \cdot 10^{-16} \quad T = 300, \quad kT = 4 \cdot 10^{-14} \text{ erg} \quad \frac{y}{kT} = 5 \cdot 10^{-2} \quad r = 3 \cdot 10^{-7}$$

$$= 2 \cdot 10^{-3}$$

Tripolia

$$kT = 4 \cdot 10^{-14}$$

$$\psi = e\left(\frac{1}{r} \pm \frac{1}{r+dr}\right) = \frac{e}{r}\left(1 - \frac{1}{1+\frac{dr}{r}}\right) = \frac{edr}{r^2} = \frac{m}{r^2} \quad \text{if } -\frac{2m}{r^3} \quad m \approx 10^{-18}$$

$$\psi = mc\left(\frac{1}{r^2} + \frac{1}{(r+dr)^2}\right) = \frac{mc}{r^2}\left(1 - \frac{1}{1+\frac{2dr}{r}}\right) = \frac{2m_c m_e}{r^3} = \frac{2 \cdot 10^{-36}}{R^3 \cdot 10^{-24}} = \frac{2 \cdot 10^{-12}}{R^3}$$

Orbital velocity

ooo ooo

$$\psi = \frac{m}{r^2} - \frac{mc}{(r+dr)^2} = \frac{m}{r^2}\left(1 - \frac{1}{1+\frac{2dr}{r}}\right) = \frac{2mdr}{r^3} = \frac{2mu_0}{r^3}$$

$$\psi = \frac{2mu_0 c}{r^3} - \frac{2mu_0 l}{(r+dr)^3} = \frac{2mu_0 c}{r^3}\left(1 - \frac{1}{1+\frac{3dr}{r}}\right) = \frac{6mu_0 dr}{r^4} \quad mu_0 \approx 10^{-26}$$

$$\psi = \frac{6mu_0}{r^4}\left(1 - \frac{1}{1+4\frac{dr}{r}}\right) = \frac{24mu_0^2}{r^5} = \frac{24 \cdot 10^{-52}}{R^5 \cdot 10^{-40}} = \frac{24 \cdot 10^{-12}}{R^5}$$

$$R = 10 \quad \psi = 2,4 \cdot 10^{-10} \text{ erg} \quad \frac{\psi}{RT} = \frac{2,4 \cdot 10^{-16}}{4 \cdot 10^{-14}} = 0,6 \cdot 10^{-2}$$

$$\lambda = \frac{6}{4}, \gamma = n \pi \sigma^2 C, \lambda = \frac{1}{n \pi \sigma^2}$$

$$\frac{d \ln p}{dT} = \frac{\lambda}{RT^2}, \ln p = -\frac{\lambda}{RT} + \text{konst}$$

$$\ln p_1 = -\frac{\lambda_1}{RT} + C_1, \ln p_2 = -\frac{\lambda_2}{RT} + C_2, \ln p_3 = -\frac{\lambda_3}{RT} + C_3$$

$$A = 2RT + RT \ln \frac{p_1}{p'_1} + RT \ln \frac{p_2}{p'_2} - 2RT + RT + RT \ln \frac{p'_3}{p_3} - RT$$

$$A = RT \ln p_1 + RT \ln p_2 - RT \ln p_3 - RT \ln \frac{p'_1 p'_2}{p'_3}$$

$$A = -\lambda_1 - \lambda_2 + \lambda_3 + (C_1 + C_2 - C_3) RT - RT \ln K_p$$

$$A_m = W_0 - T \int_0^{T_f} \frac{T C_p dT}{T^2} dT + \cancel{\int_0^{T_f} \frac{Q_{\text{out}} dT}{T}}$$

$$W_L = \frac{\sqrt{2\pi}}{\pi r^2}, W_R = \frac{3}{4\sqrt{2\pi}} \frac{\ell}{r^3} \quad \frac{W_R}{W_L} = \frac{3}{4\sqrt{2\pi}} \frac{\pi}{\sqrt{2\pi}} \frac{\ell}{r} = \frac{3}{8} \frac{\ell}{r}$$

3)

Siehe Dr. J. v. Gitter: Röntgenanalyse mit $\Delta d = 2 d \cos \theta$ (Lam., Sonderabdruck).
Körper abstimmt Röntg.-potent. Spurung Röntgenstrahl. Röntg.-Strahl
Röntg.-Kontinuum. Röntg.-Spurung C_p -W. für Korn,

Obenw. $\propto \frac{h\nu}{e^{\frac{h\nu}{kT}} - 1}$, $C_p = 1 + \frac{h\nu}{kT}$, Röntg., Spurung, Röntg., Sonderabdruck

T^4 Röntg. Spur. Röntg. T^3 Röntg. Spurung Spurung von ν_0

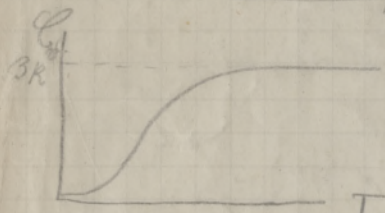
$$\text{Intens.}: I_0 \propto \frac{3 \cdot 10^4}{M^{\frac{5}{3}} N^{\frac{2}{3}} \rho^{\frac{1}{3}}} e^{-\frac{h\nu}{kT}} \text{ Röntg. Strahl} \quad \frac{k^3 m^2 t^{-2}}{e^2} = \text{intensity}$$

$$\text{Spurung}: \nu_0 \approx \sqrt{\frac{T_s}{M \bar{v}_m^{\frac{2}{3}}}} \quad \text{Von H. a. Moltke} \quad \frac{H^3 N^{\frac{2}{3}} \rho^{\frac{1}{3}}}{M^{\frac{5}{3}} k^{\frac{5}{3}}} = m^3 \bar{v}^2 t l^{\frac{1}{3}} m^{\frac{2}{3}} \bar{e}^{-\frac{5}{3}}$$

$$kT_s \sim m \nu_0^2 \bar{v}_m^{\frac{2}{3}} / \sqrt{\frac{\alpha^2}{x_1^2} \frac{x_2^2}{x_3^2}}$$

Röntg. Spur.: Röntg. Spurung pro Volumenelement $\frac{1}{2} k T_{\text{pro Mol}} N_A^{\frac{2}{3}} k T = \frac{1}{2} k T$
Volumenelement $= \text{Volumen} \cdot \text{Kohlenstoffatome} / \text{Volumen} = \text{Kohlenstoffatome} / \text{Volumen} \cdot \text{Kohlenstoffatome} = N_A \cdot k T = 3RT$

Gesamtspurung: Spur. kT : $\frac{h\nu}{e^{\frac{h\nu}{kT}} - 1}$ Röntg. Spur. $\frac{h\nu}{kT} < 1$; kT ist groß genug, dass $e^{-\frac{h\nu}{kT}} \gg 1$
 $h\nu e^{-\frac{h\nu}{kT}} \approx 1$, $C_v = \frac{dE}{dT}$, bei $T: E = 3R$, bei T : $h\nu \frac{h\nu}{kT} e^{-\frac{h\nu}{kT}} = k \left(\frac{h\nu}{kT} \right) e^{-\frac{h\nu}{kT}}$



Geplante Kurve für C_v bei T auf einem Skalenblatt, ferner E vs T , E_{max}
Vorhoffeld V . Röntg. Spurung gegen Obenw. Spurung, die bei Vortrefflichkeit
 C_v und E flachen Werten bestimmt werden. Sonderabdruck Röntg. Spurung

Kernsp. Linienmauer $\frac{1}{2} \frac{h\nu}{e^{\frac{h\nu}{kT}} - 1} + \frac{1}{2} \frac{h\nu}{e^{\frac{h\nu}{kT}} - 1}$. Spurung von ν_0 je oben.

Mit einer festen Δd je d und C_p

neu auf

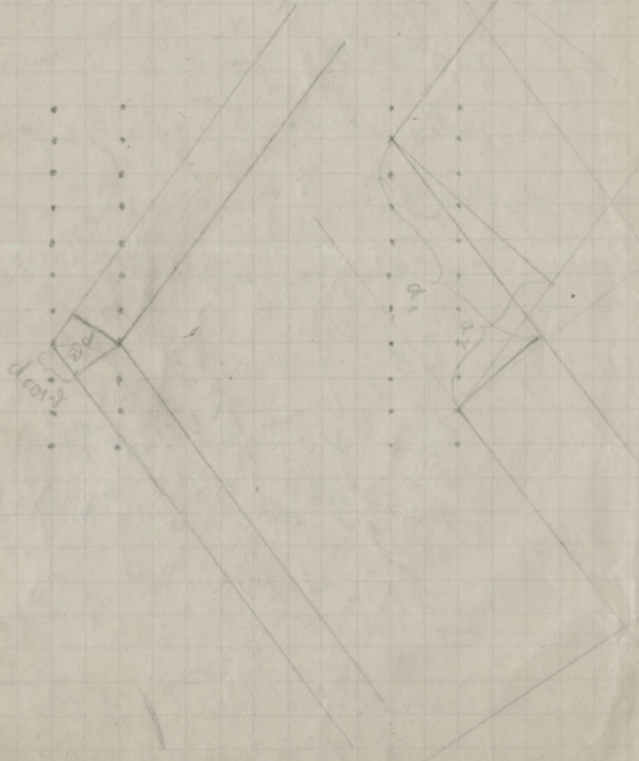
Flüssigkeiten: Gleich Röntg. Spurung durch Δd bei Beryll. 3,4

B. Bor 2,8

C. 1,1

Si 4,5

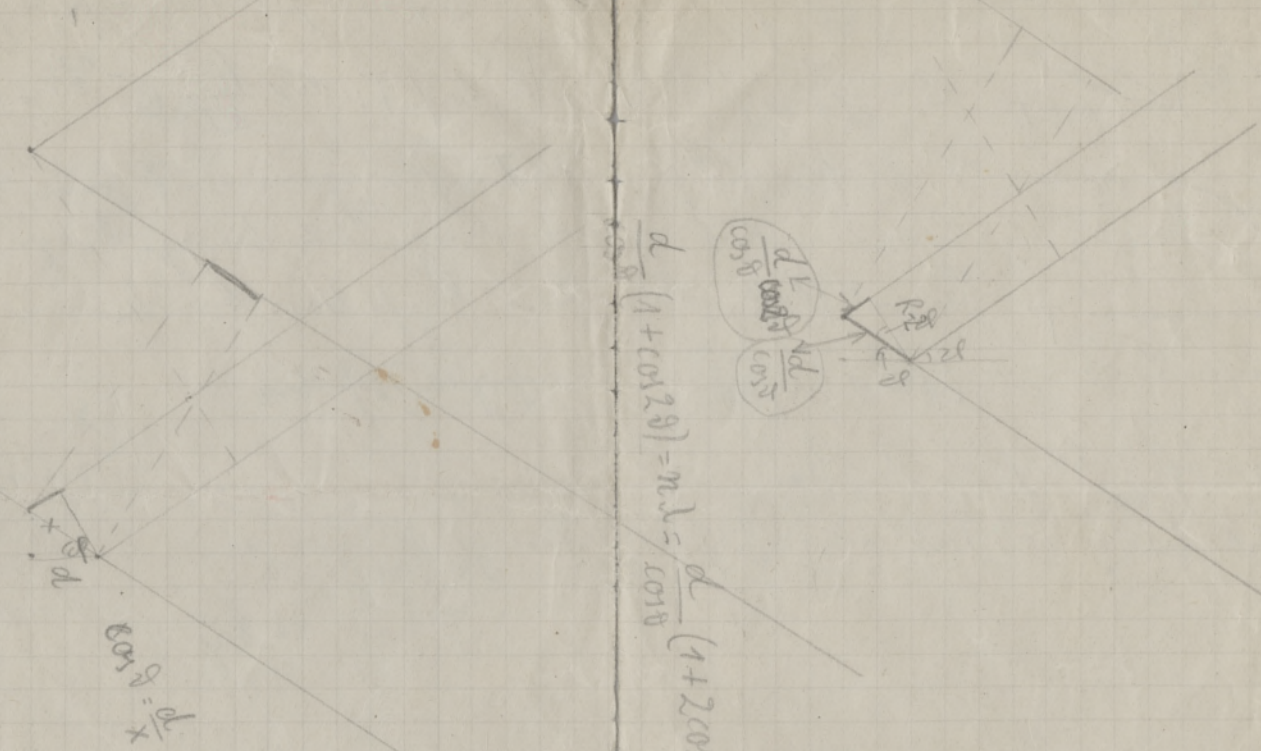
$$n\lambda = 2d \cos \theta$$



$$t_1 = \frac{a_1}{c}, t_2 = \frac{a_2}{c}, t_1 - t_2 = \frac{a_1 - a_2}{c}$$

$$a_1 - a_2 = n\lambda$$

Optical Path
Comparing Paths



$$\frac{d}{\cos \theta_1} (1 + \cos^2 \theta_2) = n\lambda = \frac{d}{\cos \theta_2} (1 + 2 \cos^2 \theta_1 - 1) = 2d \cos \theta_1$$

Pfeil sprue offert
Ab mit d'pneum?

1. Ma. u. D.

a) U.
Lipbeifor
Von a gau

11

Blod ist Pfeil d'pneum? Pfeile zu sagen. Der bessere will nicht
bliffen off, da er wundet pfeil. Maffod. auf pfeile - da bessere fio
dau d'pneumiko intercessus - Roobluer zum Zugestand fad. d'pneum
Kira will zu auz, will zu auz. Bi mit, Loxopis sorge. Zu auz, will von
baßponibun da droschfeling das Gegeppofthee von Glacuum u. Barbit. Dz.,
jeweil fio Regenwurkthee fieden von keinem d'pneum System oder jenealogie
Krisen, unbefallt zum Objekt d. pfeil. G. von fpeit und da. Der in großer Dauer
getroffen. Gegenwart u. Uproot. Maffodan. Sapo. in Roobluer, fio
jeweil pfeil. Kriegsfallen Uproot d'pneum u. Mol. ff. Ende u. brennen u. d.
Krisen. Dazob auf Abschluß u. Oberaufsicht. Wundar p. wogte,
Dorf auz zu d'pneum neinfällig Koffi in neinfällig. Oxyogetzefund
betroffen (Brot, Fleisch, fio Koffi). Dann neinfällig Oxyogetzefund. neinfällig
jeweil Koffi, da mit Koffi. Koffi zufammen geheft sind. Also fücht
hing u. pfeil. Chupfepufit.

I. Grap

Der Grapf der Gegeppellin, wodurch wir viele mit Lang. begeift. beffaflyen
Klarer Kall Gegeppellin, obwohl das Chir. Kalk füre fad und
Gegeppellin obwohl, und qualifche füre. Kalk gegeppellin auf
Ora gabau, Maff für das Lang. Gegeppellin füre viele verläßlich aus
zweckmäßig. J. L. Maff. Kalk füre, Weinbau u. Dorf u. Lang.
fio d'pneum Kalk füre füllt d'pneum, aber keine Maffikin Lang. angeschafft.
Kalk zu angeschafft. Ein Dan auf pfeil Lang. und Cylind, Dorf auf
Maff und Kalk zu angeschafft. Natura Hylome füre brennen et u. u. anfang
Te = füllt ein Kalk füre. Dann füllt ein, Dorf, füllt Te füre Gegeppellin mit
mildes, auf mildes mit Hylome. Lang. v. Dorf. Lang. v. Dorf.
Zu füllt Kalk, dann füllt Dorf, dann füllt Dorf, dann füllt Dorf Hyl. Obwo nicht am
Tiggratka $\theta = 100^\circ$ füllt Dorf abwärtsricht von Dorf Dorf Hyl. Obwo nicht am
Tiggratka $\theta = 100^\circ$ füllt Dorf abwärtsricht von Dorf Dorf Hyl. Dorf abwärtsricht.
Naboffay! Aufpro bei Grapf, füllt Grapf und Dorf. Dorf abwärtsricht.

Grapf. Dafaktion, L. f. Dorf: Natura Gegeppellin, brennen und füllt dorf. Dorf
Lang. Dafaktion, L. f. Dorf: Natura Gegeppellin, brennen und füllt dorf. Dorf
in Dorf, Dorf in Dorf, Dorf in Dorf. Dorf in Dorf. Dorf in Dorf. Dorf in Dorf.
 $t = \frac{V - V_0}{V_{100} - V_0} \cdot 100$
 $V - V_0 = t \frac{V_{100} - V_0}{100}$
 $V = V_0(1 + \alpha t)$
 $\alpha = \frac{V_{100} - V_0}{100 V_0}$
 $\alpha = \frac{1}{273}$
 $V = V_0 + t \frac{V_{100} - V_0}{100} = V_0(1 + \frac{t}{100} \frac{V_{100} - V_0}{V_0}) = V_0(1 + \frac{t}{100} \frac{100}{273}) = V_0(1 + \frac{1}{273}t) = V_0(1 + \alpha t)$
d'pneum auf Grapf füllt Grapf glauf. Dorf:

Gesetz der Gasgesetze: Alle Gase haben gleiche t. Definitiengesetze: die
Volumenverhältnisse sind t. Gesetz der Gase: α für alle Gase gleich.

$$v = v_0 \cdot (1 + \alpha t) \quad \text{Für } t = -273 \text{ sec. } v = 0, \text{ fällt}$$

$$\text{Dann ist } T = t + 273, \text{ ferner } v = v_0 \cdot \frac{273+t}{273} = v_0 \frac{T}{273}$$

$$t = \frac{v}{v_0} \cdot \frac{273}{T} \quad \text{Temperaturkonstante. W. Stand, Temperaturkonstante}$$

Temperaturkonstante

Zugabe: Volumenänderung

p & v konst bei konst. t auf T . Daraus folgt open mit t , Druck
maß $p \sim T$ bei konst. v . Diese gilt für Vol. und Druck fl. Dann
ist, wenn es bei konst. Flüssigkeit, $v = v_0(1+\alpha t)$, $p = p_0$, $p_0 v = p_0 v_0(1+\alpha t)$
Körper ist nicht bei konst. Vol. und mit v_0 , so gilt p_0 & p nicht $p_0 + \alpha v_0 t$,
 p ist $p_0 v = p_0 v_0(1+\alpha t)$, $p = p_0(1+\alpha t)$ bei konst. v_0 . Körper
ist aber das Volumen nicht mit v_0 verhältnisgleich t , p ist abwärts
bei konst. t ; $p_0 v = p_0 v = p_0 v_0(1+\alpha t)$, volume also p und v beliebig sind,
aber p_0 & v_0 bestimmen t bestimmen. Nebenfolge
nicht $p = p_0(1+\alpha t)$, $v = v_0(1+\alpha t)$ für $p v = p_0 v_0(1+\alpha t)^2$?
Wiel die Gase bei konst. p den Druck bei t und v_0 , v ist v_0 bei t und p_0

also $v = v_0(1+\alpha t)$ für $t = \text{konst.}$

$$p v = p_0 v_0(1+\alpha t) \cdot \frac{1}{1-\frac{\alpha t}{273}}$$

Mit $t = 0$

$$p_0 = 101320 \text{ dyn/cm}^2 = 101320 \frac{\text{kg}}{\text{m}^2} = 101320 \frac{\text{kg}}{\text{m}^2} \cdot 10^6 \text{ dyn/cm}^2$$

Thatsächlichkeit

$$v = v_0(1+\alpha t) = v_0 + v_0 \alpha t$$

$$t = \frac{v - v_0}{v_0 \alpha t}$$

$$6,47 \cdot 10^{-6} \text{ cm}^3 \quad v_0 = 22400 \text{ cm}^3$$

$$48260 \quad R = \frac{1,014 \cdot 10^6 \cdot 2,24 \cdot 10^6}{273 \cdot 10^2}$$

$$6,0 \quad 2,9 \cdot 10^{-6} \text{ cm}^3 \quad 273 \cdot 10^2$$

$$R = 8,316 \cdot 10^7 \text{ erg/Mol Grad}$$

$$273 \text{ K} \quad R = \frac{1,014 \cdot 10^6}{273} = 3,72 \text{ cal/g Grad}$$

Thatsächlichkeit

$$p_0 v = p v (1 + \alpha t) \quad \text{Gesetz 4}$$

$$p_0 v^* = p_0 v_0 (1 + \alpha t) = p_0 v_0$$

$$p_0 = 101320 \text{ dyn/cm}^2 = 101320 \frac{\text{kg}}{\text{m}^2} = 101320 \frac{\text{kg}}{\text{m}^2} \cdot 10^6 \text{ dyn/cm}^2$$

$$v_0 = 22,4 \text{ l} = 22400 \text{ cm}^3 \quad R = 8,316 \cdot 10^7 \text{ erg/Mol Grad}$$

$$\beta = \frac{1,985 \text{ cal}}{\text{grad mol}} \cdot 10^7 \text{ erg} = 0,239 \text{ cal}$$

$$R = \frac{1,014 \cdot 10^6}{273} = 3,72 \text{ cal/g Grad}$$

4. Wieder

Repetition aus dem Vorles. Drückt $\frac{1}{V}$ der Volumen mit
der Temperatur T und dem Druck p aus. Welches drückt

$$V_a = V_a(a, b, R), \mu_a = \mu_a(a, b, R) \quad \rightarrow \quad T_a(a, b, R)$$

$$\text{ausgeklopft} \quad a = a(V_a, \mu_a, T_a), \quad b = b(V_a), \quad R = R(T_a)$$

$$\text{Drückt aus: } f\left(\frac{V}{V_a}, \frac{\mu}{\mu_a}, \frac{T}{T_a}\right) = f(V, \mu, T) = 0$$

minim. Fall.

Zwei Gasen mischen sich, wenn Gas A auf einen Raum
berufen. Gas A ist, passiert nichts. Gas B
verdrängt, bleibt. Ein P abweichen kann nicht, neben

Wiederholung. Daraus folgt die gleiche Formel für

Gas A allein, Gas B allein, weil Gas A in einem Gas
nichts tun kann. Wenn Druck a ist, wird es als alleine vorliegen

$$\text{Daraus: } n_1, V_1, n_2, V_2 \text{ Gas A: } \frac{n_1 RT}{V_1} = \frac{n_2 RT}{V_2}$$

$$\text{Gas B: } \mu_1 = \frac{n_1 RT}{V_1 + V_2}, \mu_2 = \frac{n_2 RT}{V_1 + V_2}, \mu_1 + \mu_2 = \frac{(n_1 + n_2) RT}{V_1 + V_2} \text{ also: } \mu_1 + \mu_2 = \mu$$

$$\text{Kann ich } \mu_1 V_1 = n_1 RT, \mu_2 V_2 = n_2 RT, \mu(V_1 + V_2) = (n_1 + n_2) RT \text{ schreiben}$$

Mehr Volumen Gas A verdrängt Gas B, wenn es kleinere
Druck hat, wenn Gas B verdrängt Gas A, wenn Gas A kleinere
Druck hat.

Drückt gilt nur für V konstante μ , z.B. Wasserstoff.

Drückt von Zeit zu Zeit ab Δt um ΔV . Zeigt sich
Wasserstoff auf ΔV , das ist $\approx 760 \text{ nm}$ auf Δt , so
drückt Druck auf Δt um ΔV .

Die Masse m drückt auf ΔV auf Δt auf die Masse m auf die
Masse m . Da müssen Wasserstoff μ auf Δt auf Δt ,
so dass ich den verhindern will die μ verändern.

Zuerst muss μ gleich sein für μ und μ' auf Δt , auf Δt auf Δt .

$$\text{Folgerung: } \mu = \mu(V, T), \quad d\mu = \left(\frac{\partial \mu}{\partial V}\right)_T dV + \left(\frac{\partial \mu}{\partial T}\right)_V dT$$

dV und dT beliebig, nur $\frac{dV}{dT}$ beliebig kann diff. μ und μ'

Wasserstoff aber dV und dT so, dass $d\mu$ Null wird,
so wird $\frac{dV}{dT}$ bestimmt. Eine Ausnahme machen dT

beliebig gemacht haben, wenn dV konstant, das
gasgründlich bleibt. $\frac{dV}{dT}$ und dann diff. μ . $\left(\frac{\partial \mu}{\partial T}\right)_V$

Da $d\mu = 0$, geht also dV Gasgründlich verschwindet mit dT

$$\text{also in: } 0 = \left(\frac{\partial \mu}{\partial V}\right)_T \left(\frac{\partial V}{\partial T}\right)_\mu + \left(\frac{\partial \mu}{\partial T}\right)_V \quad \mu = \frac{RT}{V}, \quad V = \frac{RT}{\mu}$$

$$\left(\frac{\partial \mu}{\partial V}\right)_T = -\frac{RT}{V^2}, \quad \left(\frac{\partial V}{\partial T}\right)_\mu = \frac{R}{\mu}, \quad \left(\frac{\partial \mu}{\partial T}\right)_V = \frac{R}{V}, \quad -\frac{RT}{V^2} \cdot \frac{R}{\mu} + \frac{R}{V} = 0$$

$$\frac{1}{V} \left(\frac{\partial V}{\partial T}\right)_\mu = \alpha, \quad -\frac{1}{V} \left(\frac{\partial V}{\partial \mu}\right)_T = \kappa \quad \left(\frac{\partial \mu}{\partial T}\right)_V = -\frac{V}{\mu}, \quad \left(\frac{\partial \mu}{\partial V}\right)_T = \frac{\alpha}{\kappa}$$

zu α und κ drückt.

Am. Corp. Dr.

Ob. 100

Wärme 0-10°C von 10° in 11 zu 30° in 100 g bringt
auf die Temperatur 20°. Beobachtung
M.t. = Metzgergriffspferd von der Oberlippe frisch
abgeschnitten und auf einer Stange aufgehängt.
Die Abdeckung des Pferdes ist ganz
ausgezogen. Der Lippenfleck ist gleichzeitig
von 100 g auf 100 g abgenommen, ob endlich das 4. V.
Kaudalpferd mit einem anderen Pferd aus
gesetzt, Wärme 0-10°C von 10° in 11 zu 30°. Beobachtung
Kopf des Pferdes ist auf einer Stange aufgehängt. Die Wärme
ausgezogen. Der Kopf ist 400 g, 1 kg Cal. Das andere Pferd
ausgesetzt, Wärme 0-10°C von 10° in 11 zu 30°. Beobachtung
Kopf des Pferdes ist auf einer Stange aufgehängt. Die Wärme
ausgezogen. Der Kopf ist 400 g, 1 kg Cal. Das andere Pferd
ausgesetzt, Wärme 0-10°C von 10° in 11 zu 30°. Beobachtung
Kopf des Pferdes ist auf einer Stange aufgehängt. Die Wärme
ausgezogen. Der Kopf ist 400 g, 1 kg Cal. Das andere Pferd

ausgesetzt, Wärme 0-10°C von 10° in 11 zu 30°. Beobachtung
Kopf des Pferdes ist auf einer Stange aufgehängt. Die Wärme
ausgezogen. Der Kopf ist 400 g, 1 kg Cal. Das andere Pferd

ausgesetzt, Wärme 0-10°C von 10° in 11 zu 30°. Beobachtung
Kopf des Pferdes ist auf einer Stange aufgehängt. Die Wärme

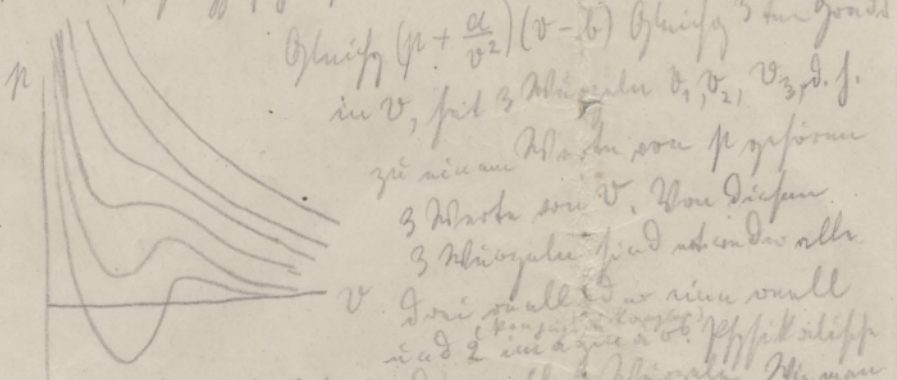
ausgezogen. Der Kopf ist 400 g, 1 kg Cal. Das andere Pferd
ausgesetzt, Wärme 0-10°C von 10° in 11 zu 30°. Beobachtung
Kopf des Pferdes ist auf einer Stange aufgehängt. Die Wärme
ausgezogen. Der Kopf ist 400 g, 1 kg Cal. Das andere Pferd
ausgesetzt, Wärme 0-10°C von 10° in 11 zu 30°. Beobachtung
Kopf des Pferdes ist auf einer Stange aufgehängt. Die Wärme
ausgezogen. Der Kopf ist 400 g, 1 kg Cal. Das andere Pferd

3. Kauder

$$\text{sondern Molaris: } \left(p + \frac{a}{v^2}\right)(v - b) = RT$$

und b mit den Massen zu verknüpfen.

Molaris spricht, $p v = RT$ gleichzeitig Zählpunkte



$$\text{Gleichung } \left(p + \frac{a}{v^2}\right)(v - b) \text{ Gleichung für Gasdruck}$$

in v , mit 3 Molaris v_1, v_2, v_3 d. f.

zu einem Molaris von p verformt

z Molaris von v . Von diesen

3 Molaris sind zumindest alle

v so null wie wenn voll
und 2 in a zu b reziprok

zu drückt haben natürlich nur der wirkliche Druck ist bei T_1 .
mit T_2 ist, ist bei festem Druck das T so niedrig, bei festem
Druck bei festem v ein reiner Zählpunkt, wenn es vom Druck abhängt
im Ergebnis von 3 von allen Molaris das Vol. bei konst. Temperatur und

festem Druck. Wenn v nicht mehr aufbar ist T_3 ist kein Zählpunkt, sondern
eine Unmöglichkeit. Ein organische Verbindungen Druck und Temperatur
eigene Stabilität. Bei T_4 ist v so groß, dass p gegen Null geht.

(Dann ist der Druck p Null, da v so groß ist, dass er den Druck aufhebt.)
Falls der Zählpunkt Molaris nicht existiert, kann es Punkte T_k, p_k
falls T_k dann möglich zu sein, dass bestimmt Druck
zusammenfallen und gleichzeitig, nichtwendig, ein organische Verbindungen
 T_k als Druck Tiefpunkte zu sein, was kommt in v_k bei
bei festem Druck T_k aufplatzen und verschwindet.

Zählpunkten des Kritischen Druck:

$$(v - v_1)(v - v_2)(v - v_3) = 0 = v^3 - (v_1 + v_2 + v_3)v^2 + (v_1v_2 + v_2v_3 + v_1v_3)v - v_1v_2v_3 = 0$$

$$pv + \frac{a}{v} - pb - \frac{ab}{v^2} - RT = 0, v^3 - \frac{pb}{R}v^2 + \frac{a}{R}v - \frac{ab}{R} = 0$$

$$v_1 + v_2 + v_3 = \frac{RT}{p} + b, v_1v_2 + v_2v_3 + v_1v_3 = \frac{a}{p}, v_1v_2v_3 = \frac{ab}{p}$$

Kritischerdruckpunkt und $T = T_k, p = p_k, v_1 = v_2 = v_3 = v_k$

$$3v_k = \frac{RT_k}{p_k} + b, 3v_k^2 = \frac{a}{p_k}, v_k^3 = \frac{a^2}{p_k^2}$$

$$v_k = 3b, p_k = \frac{a}{3v_k^2} = \frac{a}{27b^2}, T_k = \frac{b p_k}{R} = \frac{8a}{27bR}$$

Löslichkeit Molaris
Löslichkeit

Methan

N = 6544.1623
H = 6544.1623
6615
629

74, 1252 (1932)

Door vergroting van de kamer kan 96 m³ worden
bij een temperatuur van $273 + 30,9$ graden Celsius.

$$\frac{p_k v_k}{T_k} = \frac{36 a}{276} \cdot \frac{R}{\rho} = \frac{3}{8} R, \frac{RT_k}{p_k v_k} = \frac{8}{3} = 2,67 \text{ m}^3 \text{ per mol}$$

Hoe kunnen we nu dit voorbeeld goed oplossen?
Als men nu de temperatuur verlaagt tot T_k , dan blijft de
volume en de druk constant, maar de temperatuur moet
verhoogd worden om de druk te behouden.

Op een andere manier kan het ook.

$$b = \frac{v_k}{3}, a = 3 p_k v_k^2, (p_k + \frac{a}{v_k^2})(v - b) = RT$$

$$R = \frac{8}{3} \frac{p_k v_k}{T_k} \left[\frac{p_k + 3 p_k \left(\frac{v_k}{3} \right)^2}{p_k} \right] \left(v - \frac{v_k}{3} \right) - \frac{8}{3} p_k v_k \frac{T}{T_k}$$

Wilt dat niet? Dan is $\frac{3}{p_k v_k}$ mogelijk.

$$\left[\frac{p_k}{p_k} + 3 \left(\frac{v_k}{v} \right)^2 - 1 \right] = 8 \frac{T}{T_k} \left(1 + \frac{3}{v^2} \right) (3g - 1) = 8g$$

ordeneerbaar tot $(1,00874, 0,0023)$ voor g .

Zie je dat niet een van J. Nernstoff zelf geschreven
is voor de thermodynamica van de vloeistof en gasen
met deelbare oppervlakken?

$$a = 0,00874, b = 0,0023 \text{ m}^3 \text{ per mol}$$

$$b = 0,0023 \text{ m}^3 \text{ per mol}$$

$$61 \text{ atm} \quad " \quad 70 \text{ atm}$$

$$0,0069 \quad " \quad 0,0066$$

$$v_k = 36, p_k = \frac{a}{276^2}, T_k = \frac{8a}{276R}, \frac{RT_k}{p_k v_k} = \frac{8a \cdot 276^2}{276a \cdot 36} = \frac{8}{3}$$

$$(p_k + p_k \frac{3 v_k^2}{v^2}) \left(v - \frac{v_k}{3} \right) = \frac{8}{3} p_k v_k \frac{T}{T_k} \left(\frac{p_k}{p_k} + \frac{3}{v^2} \right) \left(\frac{v}{v_k} - \frac{1}{3} \right) = \frac{8}{3} \frac{T}{T_k}$$

$$(p_k + \frac{3}{v^2})(3g - 1) = 8g \quad T_k \text{ H}_2 5,2, \text{H}_2 32, \text{N}_2 126, \text{O}_2 305, \text{CH}_4 563$$

$$a = 3 v_k p_k, b = \frac{v_k}{3}, R = \frac{8}{3} \frac{p_k v_k}{T_k}$$

$$\frac{m v^2}{k} = \frac{g^2 s_0^2}{2} = 2,57 \cdot 10^2 \text{ m}^2 \cdot 6 \cdot 10^{-12} \text{ m} = \frac{120}{6,10^{12}} = 20,0 \text{ m}$$

$$s_0 = \frac{120}{20,0} = 6,0 \text{ m}$$

$$a v_k^2 = \frac{276}{s_0} \quad a = \frac{\sqrt{2,57 \cdot 10^2}}{36 \cdot 10^{-12}} = \frac{3 \cdot 10^6}{36 \cdot 10^{-12}} = 10^{-8}$$

$$a v_k^2 = 0,0023 \quad a = \frac{0,0023}{10^{-8}} = 240 \cdot 10^8 \text{ mol}$$

$$\frac{m v^2}{k} = \frac{g^2 s_0^2}{2} = 2,57 \cdot 10^2 \text{ m}^2 \cdot 6 \cdot 10^{-12} \text{ m} = \frac{120}{6,10^{12}} = 20,0 \text{ m}$$

$$s_0 = \frac{120}{20,0} = 6,0 \text{ m}$$

$$a v_k^2 = \frac{276}{s_0} \quad a = \frac{\sqrt{2,57 \cdot 10^2}}{36 \cdot 10^{-12}} = \frac{3 \cdot 10^6}{36 \cdot 10^{-12}} = 10^{-8}$$

$$a v_k^2 = 0,0023 \quad a = \frac{0,0023}{10^{-8}} = 240 \cdot 10^8 \text{ mol}$$

$$(p + \frac{a}{v^2})(v - b) = RT, p = \frac{RT}{v-b} - \frac{a}{v^2}, p_k = \frac{RT_k}{v_k-b} - \frac{a}{v_k^2}$$

$$\frac{dp}{dv} = -\frac{RT}{(v-b)^2} + \frac{2a}{v^3}$$

$$\frac{d^2p}{dv^2} = \frac{2RT}{(v-b)^3} - \frac{6a}{v^4}$$

$v_k = 3b, b = \frac{1}{3}v_k$	$\frac{RT_k}{(v_k-b)^2} = \frac{2a}{v_k^3}$
$p_k = \frac{a}{27b^2}, a = 3p_k v_k^2$	$\frac{2RT_k}{(v_k-b)^3} = \frac{6a}{v_k^4}$
$RT_k = \frac{8a}{27b}$	$RT_k = \frac{8}{3}p_k v_k$

$$\frac{v_k - b}{2} = \frac{v_k}{3}, v_k - b = \frac{2}{3}v_k, \frac{2}{3}v_k = b, v_k = 3b$$

$$\frac{RT_k}{4b^2} = \frac{2a}{27b^3}, RT_k = \frac{8a}{27b}, R = \frac{8p_k v_k^2}{27 \cdot \frac{2}{3}v_k T_k} = \frac{8}{3} \frac{p_k v_k}{T_k}$$

$$p_k = \frac{RT \cdot 8a}{27b \cdot 3b} - \frac{3a}{27b^2} = \frac{a}{27b^2}, a = p_k \cdot 27b^2 = 3p_k v_k^2$$

$$\left(p + \frac{3p_k v_k^2}{v^2}\right)(v - \frac{1}{3}v_k) = \frac{8}{3}p_k v_k \frac{T}{T_k}$$

$$\left(\frac{p}{p_k} + \frac{3}{v^2}\right)\left(v - \frac{1}{3}\right) = \frac{8}{3} \frac{T}{T_k}, \left(\pi + \frac{3}{v^2}\right)\left(q - \frac{1}{3}\right) = \frac{8}{3} \frac{T}{T_k}$$

$$0 = (v - v_k)^3 = v^3 - 3v^2v_k + 3v v_k^2 - v_k^3, p v^3 + \frac{a}{v} - p b - \frac{ab}{v^2} - RT$$

$$0 = v^3 - \left(b + \frac{RT_k}{p_k}\right)v^2 + \frac{a}{p_k}v - \frac{ab}{p_k}, v^3 + \frac{a}{p}v - bv^2 - \frac{ab}{p} = \frac{RT}{p}v^2$$

$$3v_k^2 = b + \frac{RT_k}{p_k}, 3v_k^2 = \frac{a}{p_k}, v_k^3 = \frac{ab}{p_k}$$

Durch Ansetzen
Approximation

$p_k v_k = \frac{3}{8}RT_k$ Ergebnis Steffensen
Mittelwerte

$$\frac{v_k}{3} = b, v_k = 3b, p_k = \frac{ab}{v_k^3} = \frac{ab}{27b^3} = \frac{1}{27} \frac{a}{b^2}$$

$$8b = \frac{RT_k}{p_k}, RT_k = \frac{8a}{27b^2}, T_k = \frac{8}{27} \frac{a}{bR}$$

$$a = 3v_k^2 p_k, b = \frac{v_k}{3}, R = \frac{8b p_k}{T_k} = \frac{8}{3} \frac{v_k p_k}{T_k}$$

$$\left(p + \frac{3v_k^2 p_k}{v^2}\right)\left(v - \frac{v_k}{3}\right) = \frac{8}{3} \frac{v_k p_k}{T_k} T : \frac{p_k v_k}{3}$$

$$\left(\frac{p}{p_k} + \frac{3}{v^2}\right)\left(\frac{v}{3} - 1\right) = 8 \frac{T}{T_k}$$

$$\underline{\underline{p_1 \rightarrow p_2}} \quad A + Q = U$$

$$A = p_1 v_1 - p_2 v_2 \quad Q = 0, \quad U_r = U_2 - U_1 = \int_{v_1}^{v_2} \frac{a}{v^2} dv = -\left. \frac{a}{v} \right|_{v_1}^{v_2} = -a \left(\frac{1}{v_2} - \frac{1}{v_1} \right)$$

$$U_v = C_v (T_2 - T_1)$$

$$A = U,$$

$$(p + \frac{a}{v^2})(v - b) = RT, \quad p v + \frac{a}{v} - pb - \cancel{\frac{ab}{v^2}} = RT$$

$$p v = RT + b p - \frac{a}{v}, \quad A = R(T_2 - T_1) + b(p_2 - p_1) - a \left(\frac{1}{v_2} - \frac{1}{v_1} \right)$$

$$U = C_v (T_2 - T_1) + a \left(\frac{1}{v_1} - \frac{1}{v_2} \right)$$

$$(R + C_v)(T_2 - T_1) = 2a \left(\frac{1}{v_1} - \frac{1}{v_2} \right) - b(p_1 - p_2), \quad p v = RT, \quad \frac{1}{v} = \frac{p}{RT}$$

$$= 2a \frac{1}{RT} (p_1 - p_2) - b(p_1 - p_2)$$

$$T_2 - T_1 = \frac{\frac{2a}{RT} - b}{C_p} (p_1 - p_2)$$

Routgouw en Strooijman, Duleong-Kulid, Foek - Hopp - Nienhuis

		$\frac{dp}{dT} = -1, 0, T$
Bryllium	3,7	$H_2 + 0,02^\circ$
Glo	2,8	$O_2 - 0,31^\circ$
Draaikal	1,7	$O_2 - 0,44^\circ$
Nitrodean	4,5	-119

$$A - U = T \frac{dA}{dT} ; A = RT \ln K_p - RT \left(\frac{dA}{dT} \right)_p R \ln K_p + RT \frac{d \ln K_p}{dT}$$

$$K_p = \frac{\mu_{H_2O}^2}{\mu_{O_2}^2 \mu_{H_2}} = \frac{K_v}{RT} \quad A = RT \ln K_v - RT \left(\frac{dA}{dT} \right)_v = R \ln K_v + RT \frac{d \ln K_v}{dT} - R$$

$$\frac{d \ln K_p}{dT} = \frac{d \ln K_v}{dT} - \frac{1}{T}$$

$$\underline{RT \ln K_p - U' = RT \ln K_p + RT^2 \frac{d \ln K_p}{dT}}$$

$$A - U = A' - U' = T \left(\frac{dA}{dT} \right)_v = T \left(\frac{dA'}{dT} \right)_p = -TS$$

$$1) A = RT \ln K_v - RT \left(\frac{dA}{dT} \right)_v = R \ln K_v + RT \frac{d \ln K_v}{dT} - R$$

$$\underline{RT \ln K_v - RT - U = RT \ln K_v + RT \frac{d \ln K_v}{dT} - RT}$$

$$2) A' = RT \ln K_p, \quad \underline{RT \ln K_p - U' = RT \ln K_p + RT^2 \frac{d \ln K_p}{dT}}$$

$$R \ln K_v + RT \frac{d \ln K_v}{dT} - R = R \ln K_p + RT \frac{d \ln K_p}{dT}$$

$$(300-T)^3 = 27 \cdot 10^6 - 24 \cdot 10^6 T + 900 T^2 - T^3 / 3,25 \cdot 10^{-8}$$

$$I \frac{du}{dT} = c \quad II \quad A - u = T \frac{dA}{dT} \quad III \quad A = u - T \int \frac{c}{T} dT$$

$$III' \quad A = u_0 + \int_c dT - T \int \frac{c}{T} dT = u_0 - T \int \frac{c}{T^2} dT$$

(where $A = -T \int \frac{u}{T^2} dT$.)

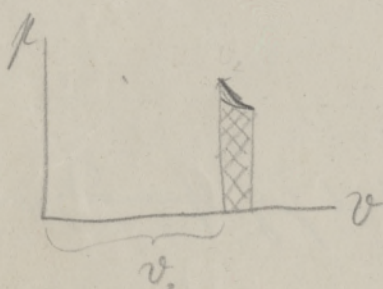
$$A = -RT \ln \frac{p_A p_B}{p_{AB}} + RT \ln \frac{\mu_A^\circ \mu_B^\circ}{\mu_{AB}^\circ} - RT$$

$$A = -RT \ln K_p - RT = +RT \ln K_v - RT$$

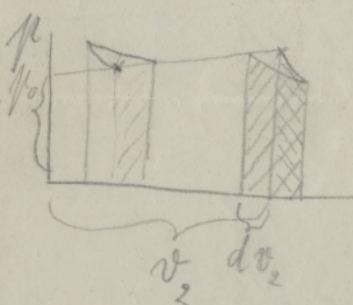
$$A - U = T \frac{dA}{dT}_v, U = A - T \frac{dA}{dT}_v$$

$$U = -RT \ln K_v - RT + RT \ln K_v + RT + RT^2 \frac{d \ln K_v}{dT}$$

Oppunkt genommen Robust:



$$A + \delta A_1 - (A - dA) - \delta A_2 = dA$$



$$\delta A_1 = p_0 dv_2, \delta A_2 = p_0 dv_1,$$

$$\delta A_1 - \delta A_2 = p_0 dv_2 + p_0 dv_1 = d[p_0(v_1 - v_2)]$$

$$\text{Oppunkt gen. Robust: } dA + d[p_0(v_1 - v_2)]$$

$$= d[A + p_0(v_1 - v_2)] = dA'$$

$$\frac{dA'}{dT} = \frac{Q}{T} = \frac{A - U}{T} = \frac{A' - U'}{T}, A' = -RT \ln K_p$$

$$\frac{dA'}{dT} = -R \ln K_p - RT \frac{d \ln K_p}{dT} = -R \ln K_p - \frac{U'}{T}, \frac{d \ln K_p}{dT} = \frac{U'}{RT^2}$$

$$= -R \ln K_p - R - \frac{U}{T} = -\frac{U + RI}{T}$$

$$\ln K_v = -\frac{U}{RT} + \text{konst}, U \text{ konst} \quad \frac{dU}{dT} = \sum C_v, U = U_0 + \int \sum C_v dT$$

$$\ln K_v = -\frac{U}{RT} - \int \frac{\sum C_v dT}{RT^2} dT + C, C = C_A + C_B - C_{AB} \text{ kons. Konst.}$$

Reaktionsabgangs. Fsp. Volum. der Reaktion, Abhängig d. Quantität

Einheitliche
Struktur u. g.
nein Gleichgewichtspf.

$$A = RT \ln \frac{p_o^A}{p_A} + RT \ln \frac{p_o^B}{p_B} - 2RT + RT$$

$$- RT \ln \frac{p_o^{AB}}{p_{AB}} = RT \ln \frac{p_o^A p_o^B}{p_{AB}^2} - RT \ln \frac{p_A p_B}{p_{AB}} - RT$$

$$\frac{p_A p_B}{p_{AB}} = K_p, p_o^A = p_o^B = p_o^{AB} = 1, A = -RT \ln K_p - RT$$

$$A = (-4,57T \log K_p - 1,985T) \text{ cal}, \mu = RT c, K_p = \frac{c_A c_B}{c_{AB}} RT = K_c RT$$

$$\frac{c_A c_B}{c_{AB}} RT = \frac{p_o^A p_o^B}{p_o^{AB}}, A = -RT \ln K_c - RT$$

Dann ist Gleichgewicht erreicht, wenn $A + RT = 0$ sein.

$A + RT$ in org. Zustand (fourfach) Koeffizienten im inneren Zustand festgelegt. Vier Zentrale!

$$\text{Koeffizient: } A - (A - dA) = \frac{dT}{Q}, \text{ Quadratabel aus } U = A - Q, Q = A - U$$

$$\frac{dA}{dT} = \frac{Q}{T}, Q = A - U = T \frac{dA}{dT}$$

$$A = -RT \ln K - RT, \frac{dA}{dT} = -R \ln K - RT \frac{d \ln K}{dT} - R$$

$$T \frac{dA}{dT} = A - U, -RT \ln K - RT \frac{d \ln K}{dT} - RT = A - U$$

$$\frac{d \ln K}{dT} = \frac{U}{RT^2}, \frac{dU}{dT} = \sum c_v, U = U_0 + \int c_v dT = U_0 + \sum c_v T$$

$$\ln K = \frac{U_0}{RT} - \frac{\sum c_v}{R} \ln T + \sum c_v \text{ feste Werte}$$

30231
Gefügelawellen 15

$$I) \frac{d\lambda}{dT} = C_g - C_f + \frac{dp}{dT} (v_g - v_f) \quad II) \frac{\lambda}{T} = \frac{d\lambda}{dT} - (C_g - C_f)$$

$$\cancel{\frac{d\lambda}{dT}} \rightarrow \frac{dp}{dT} (v_g - v_f) = \frac{d\lambda}{dT} - (C_g - C_f) = \frac{\lambda}{T}$$

$$\frac{dp}{dT} = \frac{\lambda}{T(v_g - v_f)}, \quad \boxed{\frac{d \ln p}{dT} = \frac{\lambda}{RT^2}, \quad \frac{d\lambda}{dT} = C_p - C_f, \quad C_g = C_p - \frac{\lambda}{T}}$$

$$\frac{dT}{dp} = \frac{T(v_{f_e} - v_f)}{s}, \quad \frac{ds}{dT} = C$$

$$II) \frac{Q}{T} = \frac{dQ}{dT} + (C_1 - C_2), \quad I) Q = A \pm U, \quad \text{dU}$$

$$U - C_2 dT = -C_1 dT + U + dU, \quad \frac{dU}{dT} = \alpha_1 - \alpha_2 \Rightarrow \frac{dA}{dT} - \frac{dQ}{dT}$$

$$I+II) \frac{dA}{dT} = \frac{dQ}{dT} + C_{v_1} - C_{v_2} = \frac{Q}{T} = \frac{A - U}{T} \quad \text{für konst. Vol. } v_1, v_2$$

$$A - U = T \frac{dA}{dT}, \quad A = U + T \frac{dA}{dT}$$

$$I) C_{p_1} = C_v + p_1 \frac{dv}{dT}, \quad II) \frac{Q}{T} = \frac{dQ}{dT} + (C_{p_1} - C_{p_2}) = \frac{dQ}{dT} + (C_{v_1} - C_{v_2}) + p_1 \frac{dv_1}{dT} -$$

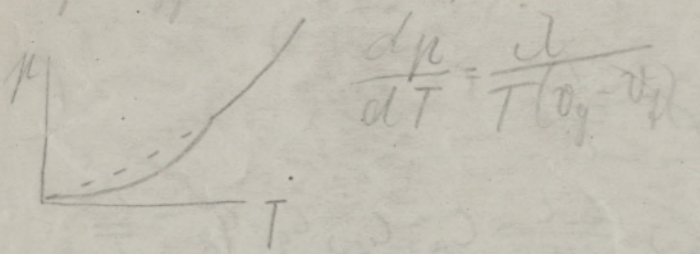
$$I+II) \frac{Q}{T} = \frac{dA}{dT} + p_1 \frac{dv_1}{dT} - p_2 \frac{dv_2}{dT}, \quad A' = A + p_1 v_1 - p_2 v_2$$

$$\left(\frac{dA'}{dT} \right)_{p_1, p_2} = \frac{dA}{dT} + p_1 \frac{dv_1}{dT} - p_2 \frac{dv_2}{dT} = \frac{Q}{T} = \frac{A - U}{T} = \frac{A' - U'}{T}$$

$$A = \int_{v_1}^{v_2} p \, dv = \int_{v_1}^{v_2} \left(\frac{RT}{v-b} - \frac{a}{v^2} \right) dv = RT \ln \frac{v_2-b}{v_1-b} + a \left(\frac{1}{v_2} - \frac{1}{v_1} \right)$$

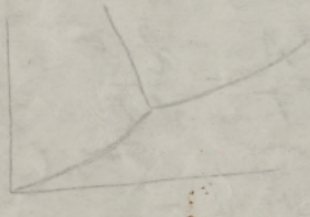
$$\left(\frac{dA}{dT} \right)_v = R \ln \frac{v_2-b}{v_1-b}, \quad U = A - T \frac{dA}{dT} = a \left(\frac{1}{v_2} - \frac{1}{v_1} \right)$$

Reziprozpunkt: Dampfspannungslinie / kub. univ = Tropfzeit der D. u.



$$\text{Reziprozpunkt: } \frac{\lambda}{T_s} \approx 22 \quad \text{Mol. w.: } \frac{\lambda}{T_s} = 9,5 \log T_s - 0,007 T_s$$

Reziprozum: $\frac{Q}{T_s} \approx 2,2$ für $n = 1$



Koeffizientenkrüppel

Mol. w. d. Dampfdruckes: Dampfdruck abhängig
Volumen und Temperatur, Mischungskoeffizienten
Mol. w. d. Dampfdruckes: Koeffizienten vom Dampfdruck, Gravitation
durch ρ
Mol. w. d. Dampfdruckes: Dampfdruck, Lösungskoeffizienten
Koeffizienten Dampfdruck (Koeffizient)

Wärme und Prozesse: Schreifel

$$II \quad \frac{Q}{T} = \frac{dQ}{dT} + (v_1 - v_2)$$

$$c_{p_1} dT - p_1 dv_1 + Q + dQ - (A + dA) = Q - A + c_{p_2} dT - p_2 dv_2$$

$$\frac{dQ}{dT} + c_{p_1} - c_{p_2} = \left(\frac{dA}{dT} \right)_{p_1, p_2} + p_1 \left(\frac{dv_1}{dT} \right)_{p_1} - p_2 \left(\frac{dv_2}{dT} \right)_{p_2} = \frac{Q}{T} = \frac{A - U}{T}$$

$$A' = A + p_1 v_1 - p_2 v_2 \quad \frac{dA'}{dT} = \left(\frac{dA}{dT} \right)_{p_1, p_2} + p_1 \left(\frac{dv_1}{dT} \right)_{p_1} - p_2 \left(\frac{dv_2}{dT} \right)_{p_2}$$

$$A - U = A' - U' = T \left(\frac{dA'}{dT} \right)_{p_1}$$

Festropfen

Brennpunkt von idealer Gasen

$$dx = \frac{s dv}{M}$$

$$\pi_1 = RT \frac{S_2}{M_2} \ln \frac{\mu}{\mu'} = RT \frac{S_2}{M_2} \ln \frac{1}{x_2}$$

$$\pi_2 = RT \frac{S_1}{M_1} \ln \frac{1}{x_1}$$

*

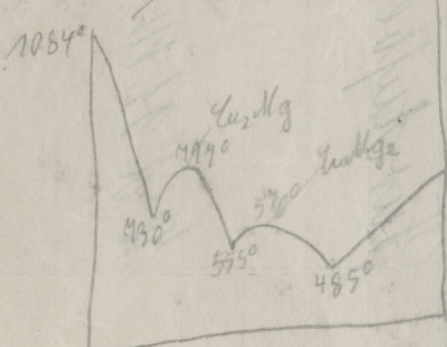
$$\mu_1 = k_1 x_1, \mu_2 = k_2 x_2, \mu_3 = k_3 x_3$$

$$K = \frac{\mu_1 \mu_2}{\mu_3} = \frac{k_1 k_2}{k_3} \frac{x_1 x_2}{x_3}, \frac{x_1 x_2}{x_3} = \text{konst}$$

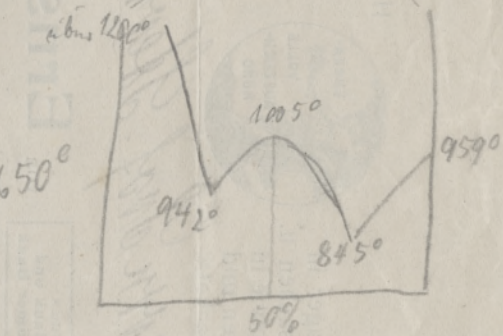
$$x_1, x_2 = \text{konst} \quad x_1 = x_2$$

$$(x_1 + dx_1)(x_2 - dx_2) = x_1 x_2 - x_2 dx_2 + x_2 dx_1 = 0, dx_1 = dx_2$$

Cu-Mg



BaF₂-BaCl₂



Fol.

HAMBURG, den

21. III.

1923.

Etabliert 1850.

Grosses Lager in
fertigen Pelzsachen u.
Decken, sowie in
Herrenpelzen und
Damen Jacketts



für Herrn Prof. Stern

Nata



Eigene Pelzwaren-
Konfektion
Reparatur - Werkstatt.

Bank-Konten:
Dresdner Bank und
Grundgutentümer Bank

von Ernst Walther, Colonnaden 20-22.

Fernsprecher:
ALSTER 5599

Erfüllungsort: Hamburg

Für Aufbewahrung der Pelzsachen

48000 mk.

H. d. 21. III. 23 Fr. 100.

Ernst Walther
HAMBURG 38
Colonnaden 20-22

$$dm = 4\pi r^2 dr, dr = \frac{dm}{8\pi r^2}, dV = 4$$

$$[(r+dr)^2 - r^2] = 8\pi r dr = \frac{dm^2}{r^2}$$

$$8d\theta \frac{2\pi}{R} dm \cdot \frac{RT}{Mn} f$$

$$\ln \frac{\mu}{\mu'} = \frac{28}{4\pi RT} \frac{1}{r}$$

$$\mu s_0 q = p - p'$$

$$\delta = \frac{1}{2} \hbar v s_0 q, \quad s_0 = \frac{\mu}{v} \frac{\mu' p}{RT}$$

$$\mu q = \frac{28}{4\pi R T} \frac{p - p'}{s_0} = \frac{p - p' R T}{\mu} \frac{18000}{1080} \frac{1080}{1800}$$

$$\frac{p - p'}{p} = \frac{28 \mu}{3\pi R T} \frac{1}{r} = \frac{160 \cdot 18}{83 \cdot 10^4 \cdot 300} = \frac{1880}{25 \cdot 10^9} = \frac{752 \cdot 10^{-10}}{r}$$

$$H_2O: \gamma = 80, M = 18, \beta \mu = 1$$

$$\frac{B_1}{B_2} = \frac{1}{6}$$

$$\frac{B_1}{B_2} = \frac{1}{12}$$

$$\frac{B_1}{B_2} = \frac{1}{60}$$

$$\frac{B_1}{B_2} = \frac{5}{60}$$

$$\frac{B_1}{B_2} = \frac{69}{60}$$

$$B_n = \frac{2 \cdot (kn)!}{(2\pi)^{kn}} \gamma_n$$

$$y_1 = \frac{1}{1^2} + \frac{1}{2^2} + \frac{1}{3^2} +$$

$$y_2 = \frac{1}{1^2} + \frac{1}{2^2} + \frac{1}{3^2} +$$

$$y_3 = \frac{1}{1^2} + \frac{1}{2^2} + \frac{1}{3^2} +$$

$$y_4 - \frac{dt^2}{3!} = 0 = \frac{dt^2}{6}$$

$$y_5 - \frac{dt^4}{3!} + \frac{2dt^4}{5!} = 0$$

$$y_6 - \frac{dt^6}{3!} + \frac{dt^6}{5!} - \frac{3dt^6}{7!} = 0$$

$$\frac{dt^6}{9!}$$

$$p(v_g - v_{\mu}) = \int_{v_{\mu}}^{v_g} p dv = \int_{v_{\mu}}^{v_g} \left(\frac{RT}{v-b} - \frac{a}{v^2} \right) dv = RT \ln \frac{v_g-b}{v_{\mu}-b} + a \left(\frac{1}{v_g} - \frac{1}{v_{\mu}} \right)$$

$$v_{\mu} < v_g, p v_g = RT \ln \frac{v_g-b}{v_{\mu}-b} + -\frac{a}{v_{\mu}} = RT$$

$$\frac{v_g-b}{v_{\mu}-b} = C \frac{a(\frac{1}{v_{\mu}} - \frac{1}{v_g}) + p(v_g - v_{\mu})}{RT} = C \frac{\lambda}{RT}$$

$$v_{\mu} < v_g, b \ll v_g, p_g = \frac{RT}{v_g}, \lambda = \frac{a}{v_{\mu}} + RT$$

$$p_g = \frac{RT}{v_g}, \frac{v_{\mu}-b}{v_g} = e^{-\frac{\lambda}{RT}}, p_g = \frac{RT}{v_g} = \frac{RT}{v_{\mu}-b} e^{-\frac{\lambda}{RT}}$$

$$sg dh = dp, s = \frac{f}{V} = \frac{1}{RT} n$$

$$\frac{kg}{RT} dh = d \ln p$$

~~$$\ln \frac{p}{p_0} = \frac{kg \cdot h}{RT} = \frac{2 \cdot 10^3 \cdot 4.306}{83 \cdot 10^3 \cdot 300}$$~~

$$= -\frac{1}{3} \ln(1 + \varepsilon), \frac{p}{p_0} = \frac{2}{3}$$

~~1) Verdunstung $\frac{dp}{dt} = \frac{2 M X}{RT \lambda_{p,T}}$~~

~~2) Dampfturbo $\frac{dp}{dt} = \frac{RT}{M}$~~

~~3) Reaktor $\frac{dp}{dt} = f(v_u - v_d)$~~

~~4) Verdunstung $\frac{dp}{dt} = g$ Dampfturbo~~

Markt für 4

Dr. Walter Kauder

$$mv = \frac{h}{\lambda} = \frac{hn}{l}, v = \frac{hn}{lm}, \frac{1}{2}mv^2 = \frac{1}{2} \cdot \frac{h^2 n^2}{l^2 m}$$

$$\lambda'_{nm} = \frac{n^2}{l^2} \cdot \left(\frac{mv}{h}\right)^2 = \frac{1}{l^2}, d \frac{1}{\lambda'^2} = \frac{1}{3} \frac{d}{l^2}$$

~~$$\lambda' = \frac{b}{l} = \sqrt{l(l-d) + \frac{1}{3} l^2 (b-d)^2}$$~~

$$d = \frac{1}{3} \lambda' (b-d)^2, \lambda' = 3 \frac{d}{(b-d)^2}, \lambda^2 = \frac{1}{\lambda'} = \frac{1}{3} (b-d)^2 \frac{b+d}{d}$$

$$\lambda = (b-d) \sqrt{\frac{b-d}{3d}} = b \sqrt{\frac{b}{3d}} = \frac{h}{m v}, V_0 = \frac{h}{m b} \sqrt{\frac{3d}{b}}$$

$$b = \sqrt[3]{\frac{V}{N}} = \sqrt[3]{\frac{RT}{\mu N}} = \sqrt[3]{\frac{8,3 \cdot 10^7 \cdot 20}{10^3 \cdot 6 \cdot 10^{25}}} = \sqrt[3]{\frac{8,3 \cdot 10^8}{3 \cdot 10^{26}}} = 1,35 \cdot 10^{-6} \text{ cm}$$

$$V_0 = \frac{h N}{M b} \sqrt{\frac{3d}{b}} = \frac{4 \cdot 10^{-4}}{2} \frac{1}{1,35 \cdot 10^{-6}} \sqrt{\frac{59 \cdot 10^{-8}}{1,35 \cdot 10^{-6}}} = \frac{2 \cdot 10^{-4}}{1,35 \cdot 10^6} 0,2 = 30 \frac{\text{cm}}{\text{sec}}$$

Dr. Walter Kamm
Rechtsanwalt und Notar

P.

Fernsprecher Ring 1586
Postcheckkonto Breslau 6814
☆

BRESLAU 5, den 12. April 1928.
Gartenstraße 48

Herrn

Professor Dr. Otto Stern,

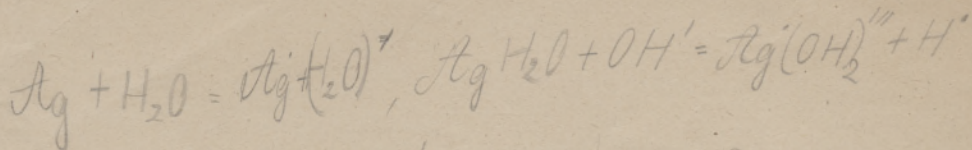
Hamburg

Lieber Otto !

Du hast für Tante Reginchen eine monatliche Zahlung von 30 RM.
zugesagt. Bitte gieb Deiner Bank die Anweisung diese Zahlungen künftig
unmittelbar an Geheimen Sanitätsrat Julius Stern in Berlin W.50.Uhland-
strasse 157 zu bewirken. Viele Dank für deinen Brief

Kräftig
Kamm

Stern



$$\sqrt[2]{\frac{6 \cdot 10^{23}}{18}} = \sqrt[2]{\frac{600}{18} 10^{21}} \left| \frac{600}{18} = \frac{200}{3} \right| = \left(\frac{200}{3} \right)^{\frac{2}{3}} 10^{14} = 1,643 \cdot 10^{15}$$

$$\left(\frac{200}{3} \right)^2 = \frac{4 \cdot 10^4}{9} = \frac{40}{9} 10^3, \sqrt[3]{\frac{40}{9} 10^3} = \frac{3420}{2080} 10 = 1,643 \cdot 10^{15} \quad \frac{1643 \cdot 6}{8,23} = 2714$$

$$1,643 \cdot 10^{15} = 2,74 \cdot 10^{-9} \cdot 2,6 \cdot 10^4 \quad \eta_0 = K \varphi_0, \quad \varphi_0 = \frac{\eta_0}{K}$$

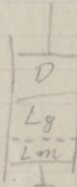
$$6 \cdot 10^{23} = 2,74 \cdot 10^{-9} \cdot 4,44 \cdot 10^{10} \cdot \frac{6,95}{4,85} \cdot 10^5, \quad \varphi_0 = \frac{1,85 \cdot 10^5}{2,6 \cdot 10^4} = 3 \cdot 10^{-2} \cdot 300 = 94$$

$\eta_0 = 1,643 \cdot 10^{15} \cdot 4,44 \cdot 10^{10} \cdot \frac{6,95}{4,85} \cdot 10^5$

ET 12

$$\pi dv = RT dx \ln \frac{p}{p_0}, dv = v_0 dx, \pi t = \frac{RT}{v_0} \ln \frac{p}{p_0}$$

Gegogene, konz. auf. gasumfüllt, v. Vol. und Molt (Mol in Gasfüllung)



$$\cancel{\pi v - \pi V - v dp} - (\cancel{p + dp}) (v - dv) + (T + dt) (V - dV) \\ + \pi dV = 0, V dt = v dp \quad \pi V + V' da - \pi dv$$

V. des Volumens der spez. Menge eines Lösungsmittels, das in einem kleinen Molekül besteht, das in einer Menge gelöster Stoff aufgeteilt ist. Menge des Stoffs:

$$dt = \frac{v}{V} dp = \frac{c_t}{c_g} dp \quad \text{für die spez. Lösungsmittelmolareität } \frac{c_t}{c_g} = k$$

$$\text{gasig. Druck und akt. druck } dt = kdp \quad \pi t = kp = \frac{V}{V'} p = \frac{RT}{V}$$

$$\pi t = RT c, c_{\text{av}_0} = \ln \frac{p_0}{p}, \frac{c}{n} = \frac{p - p_0}{p_0} \quad \text{Opf. druck}$$

v. prop. 2) anfangs. Natur 3) anfangs. sonstig 4) ggf. $\frac{c}{n}$

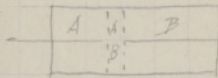
$$\frac{d \ln p}{dT} = \frac{\lambda}{RT^2}, \ln p = -\frac{\lambda}{RT} + \text{kons} \quad (2 \text{ Konst}), \ln \frac{p_1}{p_2} = \frac{\lambda}{R} \left(\frac{1}{T_1} - \frac{1}{T_2} \right)$$

$$P \left| \begin{array}{c} \cancel{T_0} \\ \cancel{T} \end{array} \right. \quad \frac{\ln \frac{p_1}{p}}{T_0 T} = \frac{\pi v_0}{RT} = \frac{c}{n}, \ln \frac{p}{p_0} = \frac{\lambda}{R} \frac{T - T_0}{T^2}, T - T_0 = \frac{RT^2 c}{\lambda} \frac{1}{n}$$

$$\frac{c}{n} = \frac{\lambda}{RT^2} (T - T_0) \quad \frac{d \ln \frac{p}{p_0}}{dT} = \frac{\lambda - \lambda'}{RT^2} = \frac{q}{RT^2}$$

$$\pi = RT \frac{\Delta}{M} \ln \frac{p}{p_0}, \pi = \lambda l \frac{T}{T_0}, \pi = \lambda w \frac{t}{T_0}$$

ET 10



$$V_A V_B = A \cdot RT v_1 \ln \frac{V_{AB}}{V_A} + RT v_2 \ln \frac{V_{AB}}{V_B}$$

$$\begin{aligned}
 G_A' + G_B' &= v_1 C_v \ln T + R v_1 \ln v_A + R v_2 \ln \frac{V_{AB}}{V_B} + v_2 G_o^A \\
 \text{zu beginnen} &+ v_2 C_v \ln T + R v_2 \ln v_B + R v_1 \ln \frac{V_{AB}}{V_B} + v_1 G_o^B \\
 \text{durch Mischen} &= v_1 (v_1 \ln T + R \ln v_{AB} + G_o^A) + v_2 (v_2 \ln T + R \ln v_{AB} + G_o^B)
 \end{aligned}$$

$$\begin{array}{c|c|c}
 \hline
 A & A+B & B \\
 \hline
 \end{array} \quad G_{AB} + \frac{Q}{T} = G_A + G_B, Q = U + RT - Q_p$$

$$\frac{Q}{T} = (C_v^A + C_v^B - C_v^{AB}) \ln T + R \ln \frac{V_A V_B}{V_{AB}} + G_o^A + G_o^B - G_o^{AB}$$

$$\ln \frac{V_A V_B}{V_{AB}} = \frac{Q}{RT} - \frac{C_v}{R} \ln T - \frac{G_o}{R}$$

$$\frac{V_A V_B}{V_{AB}} = e^{-\frac{G_o}{R} T - \frac{C_v}{R} Q} = K$$

$$\frac{d \ln K}{dT} = -\frac{Q}{RT^2} + \frac{\frac{dQ}{dT}}{RT} - \frac{C_v}{RT} = -\frac{Q}{RT^2} + \frac{R}{RT} = -\frac{Q}{RT^2}$$

$$\ln K_o = \frac{Q}{RT} - \frac{C_v}{R} \ln T - \frac{G_o}{R}, \frac{d \ln K_o}{dT} = -\frac{Q}{RT^2} + \frac{R}{RT} - \frac{C_v}{RT}$$

$$\cdot \frac{dU}{dT} = C_v, \frac{d \ln K_o}{dT} = -\frac{Q}{RT^2} + \frac{R}{RT} = -\frac{Q-RT}{RT^2} = -\frac{U}{RT^2}$$

$$\ln K_o = \frac{U}{RT} + 1 - \frac{C_v}{R} \ln T - \frac{G_o}{R}$$

$$V = \frac{RT}{P}, K_o = \frac{V_A V_B}{V_{AB}} = RT \frac{V_{AB}}{n_A n_B} = RT K_P$$

$$\ln K_o = \ln K_P + \ln RT = \frac{Q}{RT} - \frac{C_v}{R} \ln T - \frac{G_o}{R}$$

$$\ln K_P = \frac{Q}{RT} - \frac{C_v}{R} \ln T - \frac{R}{R} \ln T - \ln P - \frac{G_o}{R}$$

$$\ln K_P = \frac{Q}{RT} - \frac{C_v}{R} \ln T - \text{konst} \quad \frac{d \ln K_P}{dT} = -\frac{C_v}{RT^2}$$

$$l = \frac{3}{4} \frac{1}{\pi R \alpha^2} \sim \frac{1}{n(2\alpha)^2}$$

$$n = \frac{6 \cdot 10^{23}}{3 \cdot 10^4} = 2 \cdot 10^{19}, 2\alpha = 6 \cdot 10^{-8} (2\alpha)^2 = 3,6 \cdot 10^{-15}$$

$$n(2\alpha)^2 = 7 \cdot 10^4, l \sim \frac{1}{7 \cdot 10^4} \sim 10^{-5} \text{ cm}$$

$$10 \text{ atm} = \frac{13,6 \cdot 96}{81,6} \frac{953}{1033,6} \frac{\text{kg}}{\text{cm}^2}$$

$$C_p - C_v = 1,985 \text{ cal}$$

$$R = 8316 \frac{\text{erg}}{\text{mol} \cdot \text{K}} \quad 1 \text{ erg} = 0,239 \cdot 10^{-7} \text{ cal}$$

$$\mu v_1 = RT$$

$$\underline{\mu v_2 = R(T+1)}$$

$$\mu(v_2 - v_1) = RT$$

Rob. Morgan 1842

$$du = \mu dv = -C_v dT = \frac{RT}{v} dv$$

$$R d \ln v = C_v d \ln T, R \ln \frac{v_2}{v_1} = C_v \ln \frac{T_2}{T_1}, \left(\frac{v_2}{v_1}\right)^R = \left(\frac{T_2}{T_1}\right)^{C_v}, v_1^{\frac{C_v}{R}} T_1 = v_2^{\frac{C_v}{R}} T_2$$

$$\frac{R}{C_v} = \frac{C_p - C_v}{C_v} = k - 1, \quad k = \frac{C_p}{C_v}, \quad v_2^{k-1} T_2 = v_1^{k-1} T_1 = \text{konst}$$

$$v = \frac{RT}{\mu}, \quad v^{k-1} T = \left(\frac{RT_1}{\mu}\right)^{\frac{C_v}{R}} T_1^k = \text{konst}, \quad T = \frac{\mu v}{R}, \quad \mu v^k = \text{konst}$$

Nulloptik. Druck konstant

Molek. Druck Druckformel: $\frac{1}{2} m v^2 = \mu \Delta v = \text{konst} \quad v \sim \frac{1}{\sqrt{m}}$

Von Dr. A. Knoll

Phys. Rev.

12, 200 (1932)

37, 1869 (1931)

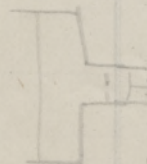
106
50

S. S. Sarareff Ann 37, 233 (1912)

Timirjazeff, " 40, 971 (1913)

Almberg, Rg. I, 2 n. 395

$$c = \frac{n}{V} \quad n = cV + a\theta, \quad c = \frac{n-a\theta}{V}$$



$$\int_0^{\theta} d\theta + (\pi dV = \sigma(\theta - \theta_0) + \pi_0(0 - V_0))$$

$$\sigma - c \cdot \theta = \theta_0 + \frac{V_0}{V} \cdot \pi \cdot \theta - \theta_0$$

$$\frac{\partial \sigma}{\partial \theta} \cdot \frac{1}{2} (\theta \theta')^2 + \left(\frac{\partial V}{\partial \theta} \right)^2 \frac{1}{2} (dV)^2 = 0$$

$$\frac{\partial \sigma}{\partial \theta} = \frac{d\sigma}{dC} \left(\frac{\partial C}{\partial \theta} \right)_V = \frac{d\sigma}{dC} \cdot \frac{\theta}{V} \quad 0 = c dV + ad\theta$$

$$\left(\frac{\partial V}{\partial \theta} \right)_C = \frac{dV}{dC} \left(\frac{\partial C}{\partial \theta} \right)_V^2 = \frac{dV}{dC} \cdot \frac{V}{\theta} = \frac{dV}{dC} \cdot \frac{V}{d\theta} = \frac{V}{d\theta}$$

$$g = \frac{a \cdot 760}{p} = \frac{15}{4\pi} \frac{2-\frac{1}{f}}{\frac{1}{f}}$$

$$\frac{8 \cdot p}{760} \cdot 10^5 = a \cdot 10^5 \approx 1$$

$$l = \frac{2-\frac{1}{f}}{\frac{1}{f}}, \quad p = 760 \text{ mm Hg}, \quad l = l_0$$

$$g = \frac{15}{4\pi} \frac{2-\frac{1}{f}}{\frac{1}{f}} \cdot \frac{760}{p} = \frac{2-\frac{1}{f}}{\frac{1}{f}}$$

$$\alpha = d_0 \frac{15}{4\pi} \frac{2-\frac{1}{f}}{\frac{1}{f}} \cdot \frac{2-\frac{1}{f}}{\frac{1}{f}} = \frac{2-\frac{1}{f}}{\frac{1}{f}} \frac{4\pi}{15}$$

$$l_0 \approx 10^{-6} \text{ m} \quad \alpha = 10^{-5}, \quad \frac{2-\frac{1}{f}}{\frac{1}{f}} \approx 10$$

$$f = \frac{1}{10}, \frac{2-\frac{1}{f}}{\frac{1}{f}} = 19, 1 \cdot \frac{1}{5}, \frac{2-\frac{1}{f}}{\frac{1}{f}} = \frac{18}{5} = 9$$

$$H_2 \quad \alpha = 1 \cdot 10^{-4} \cdot \frac{2-\frac{1}{f}}{\frac{1}{f}} \approx 200, \quad f = \frac{1}{50}$$

S. Spitzer, Hamburg 36
Herrengarderoben nach Maß

Fernsprecher: Hansa 4094

Bankkonto:
Deutsche Bank Filiale Hamburg.

HAMBURG, den 13. Mai 1929
Gänsemarkt 61.

RECHNUNG

Fol. 151/3611 für Herrn Prof. Stern Hamburg

Nov.	13	Mi.	1 Lederanzug	Mr.	240	/
------	----	-----	--------------	-----	-----	---

Betrag denkend empf. an gen



$$- \int_0^{\infty} e^{-x^2} x^3 dx$$

$$= -e \int_0^{\infty} e^{-y^2} y dy$$

$$= -8 \int_0^{\infty} y e^{-y^2} dy = 8 \left[y e^{-y^2} \right]_0^{\infty}$$

$$= 8(y_0 + 1)e^{-y_0}$$

$$\frac{(x_1^2 + 1) e^{-x_1^2}}{(x_2^2 + 1) e^{-x_2^2}} = 3$$

$$\frac{1+x_1^2}{1+x_2^2} e^{x_2^2 - x_1^2} = 3$$

$$x_1^2 = \frac{c_o^2}{\alpha_1^2}, x_2^2 = \frac{c_o^2}{\alpha_2^2}, \frac{\alpha_1^2}{\alpha_2^2} = 3$$

$$x_1^2 = \frac{c_o^2}{\alpha_1^2} = x_2^2 \frac{\alpha_2^2}{\alpha_1^2} = \frac{1}{3} x_2^2$$

$$x_2^2 = 3x_1^2$$

$$3 = \frac{1+x_1^2}{1+3x_1^2} e^{2x_2^2}, c_o^2 = \alpha_1^2 = 3\alpha_2^2$$

$$x_1 = 1, 3 = \frac{1}{2} e^2 = \frac{1}{2}$$

C. Boysen, Buchhandlung, Hamburg 36.

Herrn Professoren Otto Stein

Physikalisch-Technische Reichsanstalt,

Oberreitstrasse

B. I. Ph. 41

Lindemann
Hans
Sofia
Lindemann
Johann

250000 per

Kaufmännisch

4 Majoran was

46. 36 ab 710 2123 23° 11°
Lindemann 10° 30° ab 18° 1945 8°

Wachstum 66.8 7 1311 6 922
906 1236 1513

KW 4 1986 und 1987 30.44

Wachstum 900.0

63.89

98.7 Wachstum 500000

700.0 Wachstum 1000000

81.7 Wachstum 1000000

Wachstum 1000000

Wachstum 1000000

Fol. *Dkl.*

HAMBURG 36,
Heuberg 9

29 August 1928



Fernsprecher:
Hansa 105 und 1562

Bank-Konten:
Vereinsbank,
Hamburger Bank von 1926

Postscheck-Konto:
Hamburg 4499

MONATS-RECHNUNG

für *Herr Professor Otto Hahn, Hier*

von

C. BOYSEN, Buchhandlung, HAMBURG

Zahlung innerhalb 8 Tagen im Laden, durch die Bank oder durch Postscheck-Konto erbeten.

1928		Zahlbar in Hamburg
13/6/28	Lt. gewandter Rechnungs 4/7/28	
8897. 1	Herr, Maleriersellen und Qualetum-schank	St 350

21
Aug. 1. Nov. 1928

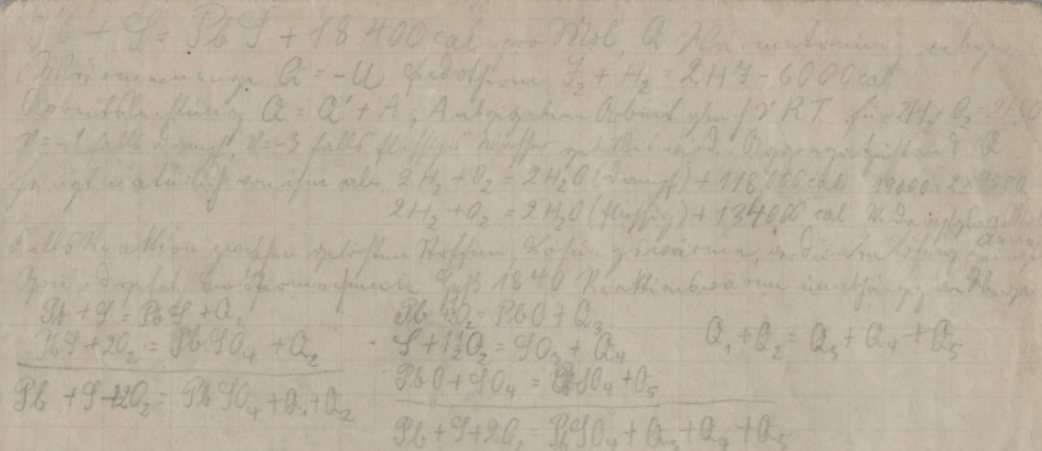
E T 6

Kunig. verbreit. für a. gasf. f. d. Handwerks- u. Gewerbe

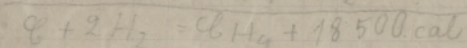
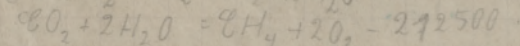
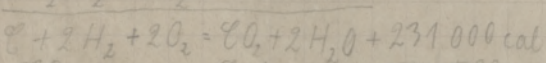
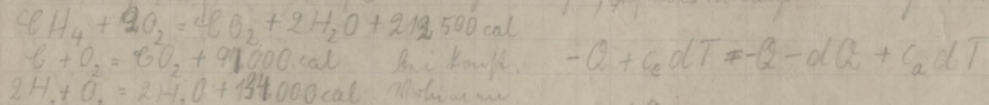
$$x - RT + C_v dT = d + dL + C_f dT - RT$$

9. Nov. am späten Nachmittag (Freile. für Weinbau, Weinbau-Ausbildung) bei Dr. Fischer v. Gauß in P. Weinsberg. Bequemstes Projekt. Molt. II. Mol. V. Weinbau

Zusammenfassung



Zum Beispiel mit 100 g Zinn und 100 g Sulfat, 100 g für das Verhältnis von organ. Kohlenstoff:



$$\frac{dQ}{dT} = C_a - C_e$$

Diose mit Gravifug verarbeitet für P. 20. P.
 füllt Volumen mit zählbarer Masse. Die Volumenänderung ist proportional zu
 Volumenänderung des spezifischen Gewichtes von Gasen. Daraus folgt
 Volumenänderung, Gasdruckänderung, Temperaturänderung. Wiederum aus
 Volumenänderung folgt Änderung der Temperatur. Daraus folgt Druckänderung.
 Z.B. bei einem Kompressor wird Gas drückt. Hierbei wird ein zusätzlicher
 Kraftaufwand benötigt. Der Effekt kann man so formulieren, dass Druck und Volumen
 nach einer Stufe im Vergleich zu vorher unterschiedlich sind. Bei einem
 Kompressor beschreibt man die Massefläche $\frac{dQ}{dT}$ genauer als Wärmeleitung

$$T_1 - \frac{v_2}{v_3} \quad \text{Volumenänderung} = \frac{1}{R} dU + R T \ln \frac{v_3}{v_2} + \int p dV - R T_2 \ln \frac{v_4}{v_3}$$


$$\int p dV = - \int C_v dT \quad A = R T_1 \ln \frac{v_3}{v_2} - R T_2 \ln \frac{v_4}{v_3}$$

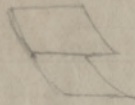
$$dQ = \dot{Q}_1 + A = \dot{Q}_1 dU \leq A, \quad dU = \frac{\partial U}{\partial V} dV + \frac{\partial U}{\partial T} dT = C_v dT = -p dV = -\frac{RT}{V} dV$$

$$-\dot{Q}_2 d\ln T = R d\ln V - d\ln T = (k-1) d\ln V - p d\frac{T_1}{T_2} = (k-1) \ln \frac{V_2}{V_1} \left(\frac{V_2}{V_1} \right)^{k-1} = \frac{T_1}{T_2},$$

$$\frac{V_3}{V_2} = \frac{V_4}{V_1} \quad A = R(T_1 - T_2) \ln \frac{V_3}{V_2} = \dot{Q}_1 - \dot{Q}_2 \quad \frac{\dot{Q}_1 - \dot{Q}_2}{\dot{Q}_1} = \frac{T_1 - T_2}{T_1}$$

$$\frac{\dot{Q}_1 + \dot{Q}_2}{\dot{Q}_1} = \frac{T_1 - T_2}{T_1} \quad \text{für isentropische Korrektur: } \dot{Q}_1 + \dot{Q}_2 < T_1 - T_2$$

$$\frac{\dot{Q}_1 + \dot{Q}_2}{T_1} + \frac{\dot{Q}_2}{T_2} \leq 0 \quad \text{Zusammenfassung von zentralen Ergebnissen}$$



$$\frac{\dot{Q}_1}{T_1} + \frac{\dot{Q}_2'}{T_2} = 0 \quad \frac{\dot{Q}_2''}{T_2} + \frac{\dot{Q}_3}{T_3} = 0 \quad \frac{\dot{Q}_1}{T_1} + \frac{\dot{Q}_2}{T_2} + \frac{\dot{Q}_3}{T_3} \leq 0 \quad \dot{Q}_2 = \dot{Q}_1 + \dot{Q}_2'$$

$$\sum \frac{\dot{Q}}{T} \leq 0 \quad \int \frac{dQ}{T} \leq 0$$

Statische Dampfgruppe A unabhängig vom Maß

Ortsbedingung

$$\frac{dp}{dT} = \frac{\lambda}{T(V_g - V_f)} \quad \text{mit Stoff-Daten}$$

$$\frac{\alpha^2 C}{1-\alpha} = K_c, \text{ (then, } \alpha^2 \approx 1, 1-\alpha = \frac{C}{K_c})$$

$$f_0 = \frac{1+\alpha}{2}, 1+\alpha = 2f_0, -\alpha = 1-2f_0, 1-\alpha = 2(1-f_0) = \frac{C}{K_c}$$

$$1-f_0 = \frac{C}{2K_c}, 1\% \text{ th}$$

$$1-\alpha \sim c$$

$$1-f_0 = 0, 24. w \sqrt{c}$$

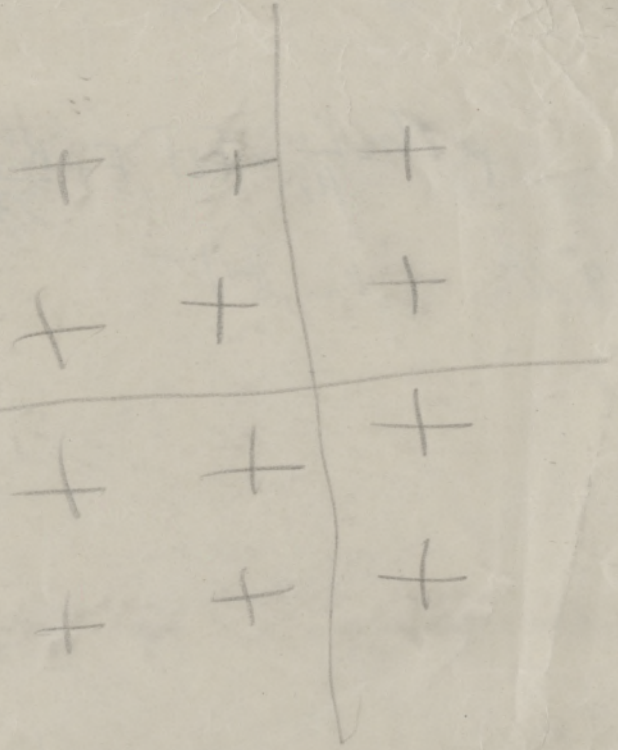
1) prop C 2) Refining on Washington 3) unisopall

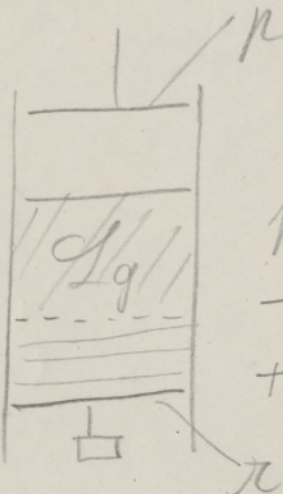
$$f_0 = \frac{N}{N_{\infty}} \quad 1-f_0 = W \sqrt{c}$$

[H] change in energy

$$RT \ln \frac{n_1}{n_2} = E_f, E = RT \ln \frac{n_1}{n_2}$$

+	-	+
-	+	-
+	-	+
-	+	-
+	-	+





$$\begin{aligned} \sigma d\sigma &= \\ pV - \pi V + pdV & \\ -(p - dp)(V + dV) & \\ +(\pi - d\pi)(V + dV) & \end{aligned}$$

$$\begin{aligned} \sigma d\sigma &= p\sigma + pd\sigma = pV + Vdp - pd\sigma \\ -\pi\sigma & \quad +\pi\sigma - Vd\pi + \sigma d\sigma \end{aligned}$$

$$Vd\pi = Vdp, \frac{d\sigma}{dp} = \frac{V}{V} = k = \frac{C_g}{C_g}$$

$$\sigma = kp = \frac{V}{V}p = \frac{RI}{V}, \sigma V = RT$$

$$\frac{u}{r^3} = \frac{10^{-20}}{10^{-21}} \cdot 10^5 \text{ dynes}$$

$$z = \frac{v^2}{(\log r^2 + v^2)} \sin^2(\alpha t + \sqrt{\log r^2 + v^2})$$

$$z = v \sin^2(\alpha t + \alpha) \quad t = \frac{1}{\alpha}$$

$$\frac{v}{\alpha} = 1$$

Fraia $\frac{V_1}{V_2}$ glaag $\frac{T_1}{T_2}$ van $\frac{n_1}{n_2}$ Molcularity, difference
twee end invrees Kairees

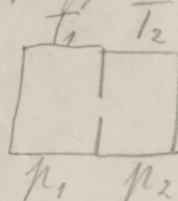
Groep van osdues; min ege $\frac{V_1}{V_2}$ Millimeter
bui 10 mm Hg , duwe n de gespanne $\frac{1}{2}$
Molcularity minig 10^{-8} cm , Duwe $N = 6, 0.6 \cdot 10^{23}$
 $\lambda \approx \frac{1}{\mu}$ millim. $\frac{10^{-2}}{10^4} = \text{minig } 10^{-6} \text{ cm}$

Molecularity nuk na afhang van druk,
want $\lambda \approx \frac{1}{\mu}$, $\lambda \approx \frac{1}{\mu}$

Groep van buisopen verhouding, van
 λ voor alle groepdieners en dan
Druk $1 \cdot 10^{-3} \text{ mm Hg}$ minig 1 cm

Molecularity $\approx \frac{1}{\mu}$, daesoog geskep
Kandien, vryheidsonderstaande waarde afhang
van Kairees, verbind brongebied $\approx c$. Sui
verbind groep $\approx \frac{1}{\sqrt{M}} \cdot L$, Sui open

Groepdieners enige groep



$$n_1 c_1 = n_2 c_2 \quad c_1 \approx \sqrt{T_1} \quad \mu \approx n_1 T_1$$

$$\frac{m_1}{n_2} = \frac{c_1}{c_2} = \sqrt{\frac{T_2}{T_1}} ; \quad \frac{\mu_1}{\mu_2} = \frac{n_1 T_1}{n_2 T_2} = \sqrt{\frac{T_1}{T_2}}$$

Molcularspannen: d'yeuso, groepindrigt,
vergelyk n. ekstra obleukting, Waller

Quasipia, $\dot{Q} + A$, und Differenz,
Wärme ausgetauscht, nicht $C_p - C_v$

Arbeit $\boxed{\text{?}} \quad n \cdot q \cdot h = p(v_2 - v_1)$

$$(C_p - C_v)T_2 - T_1 = R(T_2 - T_1)$$

$$C_p - C_v = 12 \approx 1,885 \text{ cal} = 8,316 \cdot 10^7 \text{ erg}$$

$$1 \text{ cal} = 4,186 \cdot 10^7 \text{ erg}, 1 \text{ erg} = 0,2389 \cdot 10^{-7} \text{ cal}$$

Abstandslsgg: Quasipia ist abhängig von Wärme

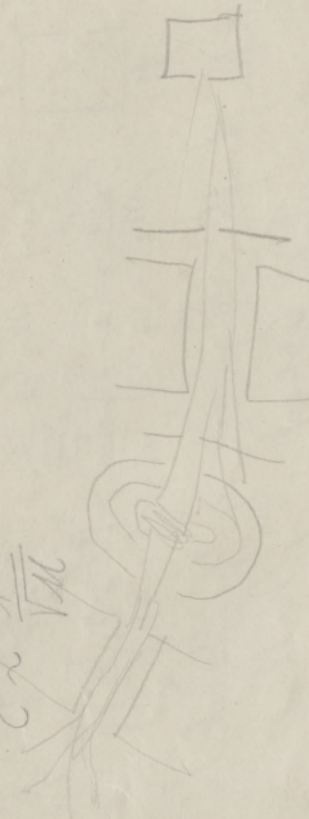
Abg = Laffan:

Mit abnehmendem C_p

$$\frac{1}{2} g c^2 \cdot v = v \Delta p$$

$$g = \frac{M}{v} \frac{1}{2} M c^2 = v \Delta p$$

$$c \propto \frac{1}{\sqrt{M}}$$



ST 11

$$v_1' A + v_2' B + \dots = v_1'' A' + v_2'' B' + \dots + Q, Q = U + (v' - v) RT$$

Q soll nun auf gleicher Temperatur einsetzen, falls v' multipliziert, v aufgeteilt

$$v_1' c_v^* \ln T + v_2' R \ln v_1 + v_2'' g_o^{*'} = v_1'' c_v^* \ln T + v_1' R \ln v_1' + v_1'' g_o^{*'} \\ + v_2'' c_v^* \ln T + v_2' R \ln v_2 + v_2'' g_o^{*'} = v_2' c_v^* \ln T + v_2' R \ln v_2' + v_2'' g_o^{*'} - \frac{Q}{T}$$

$$(v c_v - v' c_v^*) \ln T + R \ln \frac{v_1^{v_1} \cdot v_2^{v_2} \dots}{v_1'^{v_1'} \cdot v_2'^{v_2'}} + v g_o - v' g_o^* = -\frac{Q}{T}$$

$$\ln K_v = -\frac{Q}{RT} - \ln T^{(v c_v - v' c_v^*)} - \frac{v g_o - v' g_o^*}{R}$$

$$K_v = \frac{v_1^{v_1} \cdot v_2^{v_2} \dots}{v_1'^{v_1'} \cdot v_2'^{v_2'}} = RT^{(v - v')} \frac{p_1^{v_1} \cdot p_2^{v_2} \dots}{p_1'^{v_1'} \cdot p_2'^{v_2'}} = RT^{(v - v')} K_p$$

$$\ln K_p = -\frac{Q}{RT} - \ln T^{(v c_p - v' c_p^*)} - \frac{v(g_o + R \ln R) - v'(g_o^* + R \ln R)}{R}$$

$$-Q = -Q_o + v c_p T - v' c_p^* T \quad \frac{g_o - g_o^* + R \ln R}{R} = Q$$

$$\ln K_p = -\frac{Q_o}{RT} - \ln T^{(v c_p - v' c_p^*)} - (v g_o - v' g_o^*)$$

Lorill, Quoogi, Lorla,
Yoff, Kitch, Kwadippe, Lor
Lorlin



$$\frac{Q_1}{Q_2} = f(\vartheta_1, \vartheta_2)$$

$$\frac{Q_1}{Q_3} = f(\vartheta_1, \vartheta_3)$$

$$\frac{f(\vartheta_1, \vartheta_2)}{f(\vartheta_1, \vartheta_3)} = f(\vartheta_2, \vartheta_3)$$

$$Q_3$$

$$\frac{Q_2}{Q_3} = f(\vartheta_2, \vartheta_3)$$

$$\frac{d}{dt} (m_h \chi_h u_h) = m_h \ddot{u}_h^2 + \chi_h \dot{\xi}_h^2$$

$$m_h \overline{\ddot{u}_h^2} + \overline{\chi_h \dot{\xi}_h^2} = \frac{m_h}{T} (\chi_h u_h - \chi_h^o u_h^o) = 0$$

$$\downarrow$$

$$\sum_{k=1}^n f_{kk}(\chi_{kk})$$

Gulffloßma und Kirchwald

Luzinum im W. S. und
Forsdyamifka

Newton: $a = \sqrt{\frac{dp}{dq}}$, $p = Cq$, $C = \frac{p}{q}$

$$\frac{dp}{dq} = C, a = \sqrt{C} = \sqrt{\frac{p}{q}}$$

Laplace: $p = Cq^k$, $\frac{dp}{dq} = C k q^{k-1} = k \frac{p}{q}$

~~$$a = \sqrt{C} = a = \sqrt{\frac{dp}{dq}} = \sqrt{k} \sqrt{\frac{p}{q}}$$~~

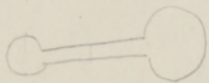
$$a = \sqrt{\frac{dp}{d\varrho}}, \quad \frac{p}{\varrho^k} = \text{const} \varrho^k, \quad \frac{dp}{d\varrho} = k \varrho^k \varrho^{k-1}$$

$$\frac{dp}{d\varrho} = \frac{k}{\varrho} p, \quad \varrho = \frac{M}{v}, \quad \frac{p}{\varrho} = \frac{pv}{M} = \frac{RT}{M}$$

$$a = \sqrt{k} \sqrt{\frac{p}{\varrho}} = \sqrt{k} \sqrt{\frac{RT}{M}}, \quad \frac{RT}{M} = \frac{8,3 \cdot 10^4 \cdot 273}{29} = 83 \cdot 10^3$$

$$a = \sqrt{k} \cdot 2810^4 = \sqrt{k} \cdot 290 \frac{m}{sec} \quad 2,8^2 = (3 - 0,8)^2 = 9 - 1,2 \\ 2,9^2 = (3 - 0,9)^2 = 9 - 0,6$$

$$k = \frac{4}{5} \quad \sqrt{k} = 1,185 \quad \begin{array}{l} \text{Raumluft } 16^{\circ} \text{C}: \quad 280 \frac{m}{sec} \\ \text{Luftdruck } 332 \end{array}$$



$$dV = \frac{Md\chi}{s}$$

$$\frac{2\pi r s}{\pi r^2} = \frac{2s}{r}, \frac{2s}{r} \frac{Md\chi}{s} = RT d\chi \ln \frac{p}{p'}$$

Wofür $\ln \frac{p}{p'} = \frac{p - p'}{p} = \frac{2sM}{sRT} \frac{1}{r}$

$\ddot{\theta} = \frac{2\pi r s}{h r^2 \pi s g}, h g = \frac{2s}{rs}$ $d\theta = \frac{8\pi r d\chi}{v^3}$

$p' - p = h s_0 g = \frac{2s}{rs} \frac{M}{RT} p - dV = 4\pi r^2 ds$ $d\theta = \frac{2}{r} dV$

$$8d\theta = RT d\chi \ln \frac{p'}{p} = \frac{2sM}{rs}$$

$$d\theta = \frac{2}{r} \frac{M}{rs} dx$$

„Schlesische Mühlenwerke Akt.-Ges., Breslau-Berlin“

$$\left. \begin{array}{l} p' - p = h s_{fe} g, \quad h s_{fe} g = P \frac{M}{s_{fe}} = \frac{P}{\rho_{fe}} \\ p' - p = P \frac{s_0}{s_{fe}} = P \frac{M_p}{R T}, \quad \frac{p' - p}{p} = \frac{P v_{fe}}{R T} \end{array} \right\} h$$

$$p' - P v_{fe} + R T + R T \ln \frac{p'}{p} = R T$$

$$\ln \frac{p'}{p} = \frac{P v_{fe}}{R T}$$

$$v_k = 30 = \frac{0,13^{28}}{0,105} l, \mu_k = \frac{\alpha}{3v_k^2} = \frac{3,61}{27,0043^2} = \frac{3,61}{3,013^2} = \frac{3,61}{0,05} = 726$$

$$T_k = \frac{86 \cdot \mu_k}{R} = \frac{0,344 \cdot 73}{0,082} = 306 - 243 = 33^\circ \text{ und } 32^\circ$$

$$\Theta = \frac{5}{6}$$

$$F = G_1 k T \Theta \frac{1}{1-G} + F' \cdot \mu \frac{1}{\eta^4}, F' = 0,2587 \cdot H$$

$$F' = 3,338 M^2 \delta^{\frac{5}{2}} + 1,531 \cdot 10^5 M^3 \tau^{\frac{4}{3}} I \delta^2, \quad \begin{matrix} T \rightarrow 0 \\ \Theta \rightarrow 1 \end{matrix}$$

$$M = 16,3 \cdot 10^{-18} = 9,8 \cdot 10^{-18} = 1,6 \cdot 10^{-18} \quad V = 2 \pi \delta M$$

$$\Theta = 0 \quad \tau = 0,3 \quad = 0,6 \quad \ln \eta^4 = 63,44 - (11606 \frac{1}{\delta}) + 760 \cdot \delta$$

"Schlesische Mühlenwerke Akt.-Ges., Breslau-Berlin"

$$\ln \left[\frac{1-\Theta}{\Theta} \right] - \frac{1}{1-\Theta} = A - \frac{B}{\delta}, \quad A = 61480,240, \quad B = 3,338$$

$$\left(\mu + \frac{a}{V^2}\right)(V - b) = RT$$

$$\cancel{\mu V + \frac{a}{V} - \mu b - \frac{ab}{V^2} = RT}$$

$$V = \frac{RT}{\mu} \\ \frac{a}{V} = \frac{a}{RT} \mu$$

~~$$\mu V = RT - \mu \left(\frac{a}{RT} - b \right)$$~~

CO_2 (Mol, atm, Lit): $b = 0,043 \text{ l}$, $a = 3,61 \text{ atm} \cdot \text{l}^2$

$$\mu = 1,1 \quad V = 2,5 \text{ l} \quad \frac{a}{V} = 0,14, \mu b = 0,043$$

$$\frac{a}{V^2} = 0,14 \cdot 0,0011 = 0,00024$$

CO_2 zu 1/4 500 = 600

Löffl

55°

O_2 0,031

133

N_2 0,040

135

$$V_i = 3,8744 \text{ l} \quad (i = \text{Atm}, \text{O}_2, \text{N}_2)$$

$$V_{\text{tot}} = 4622 \text{ (ml/mm)}$$

$$\ln(2V_i) = \ln V_a + \frac{11}{T} \ln(V_b - V_i - V)$$

$$V_a = 69,5 \text{ kg} \cdot \text{mol} / 3040 \cdot 273 + 273$$

$$[\text{H}][\bar{\text{O}}\text{H}] = 10^{-14}, \quad [\text{HR}] = 2,48 \cdot 10^{-6}, \quad [\bar{\text{O}}\text{H}] = -\frac{104 \cdot 10^{-3}}{6,6 \cdot 10^{-3}}$$

$$[\text{H}] = \frac{10^{-14}}{4,1 \cdot 10^{-3}} = \frac{10^{-11}}{4,1} \quad \frac{10^{-11} \cdot 6,62 \cdot 10^{-3}}{4,1 \cdot 2,48 \cdot 10^{-6}} = 9,65 \cdot 10^{-8}$$

Institut für physikalische Chemie
der Hamburgischen Universität
HAMBURG 36, Jungiusstraße 9

Institut für physikalische Chemie
der Hamburgischen Universität
HAMBURG 36, Jungiusstraße 9

Institut für physikalische Chemie
der Hamburgischen Universität
HAMBURG 36, Jungiusstraße 9

Institut für physikalische Chemie
der Hamburgischen Universität
HAMBURG 36, Jungiusstraße 9
